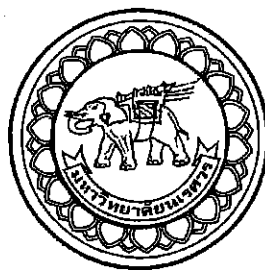


อกินัณฑ์การ



สำนักหอสมุด

การใช้ไมโครคอนโทรลเลอร์ควบคุมความเร็วของหุ่นยนต์รถ
เมื่อโหลดมีการเปลี่ยนแปลง

CAR ROBOT SPEED CONTROL USING MICROCONTROLLER UNDER

VARIABLE LOAD

นางสาวนุชนาฎ ชื่อสัคย์
นางสาวกิริญญาพัชญ์ เบรณุกุล

รหัส 55364077 มหาวิทยาลัยราชวิถี
วันออกที่... 11 ก.พ. 2560
รหัส 55364183 เลขทะเบียน... ๑๗๖๖๑๔๓
เลขเรียกหนังสือ.....

๒๕๕๘

ปริญญานิพนธ์นี้เป็นส่วนหนึ่งของการศึกษาหลักสูตรปริญญาวิศวกรรมศาสตรบัณฑิต

สาขาวิชาชีวกรรมไฟฟ้า ภาควิชาชีวกรรมไฟฟ้าและคอมพิวเตอร์

คณะวิศวกรรมศาสตร์ มหาวิทยาลัยราชวิถี

ปีการศึกษา 2558



ใบรับรองปริญญาบัตร

ชื่อหัวข้อโครงการ การใช้ไมโครคอนโทรลเลอร์ควบคุมความเร็วของหุ่นยนต์รถเมื่อโหลดมีการเปลี่ยนแปลง

ผู้ดำเนินโครงการ นางสาวนุชนาฎ ชื่อสัตย์ รหัส 55364077

นางสาวกัญญาพัชญ์ เปรญกุล รหัส 55364183

ที่ปรึกษาโครงการ ผู้ช่วยศาสตราจารย์ ดร. มุชิตา สงวนจันทร์

สาขาวิชา วิศวกรรมไฟฟ้า

ภาควิชา วิศวกรรมไฟฟ้าและคอมพิวเตอร์

ปีการศึกษา 2558

คณะวิศวกรรมศาสตร์ มหาวิทยาลัยเรศวร อนุมัติให้ปริญญาบัตรฉบับนี้เป็นส่วนหนึ่งของการศึกษาตามหลักสูตรวิศวกรรมศาสตรบัณฑิต สาขาวิศวกรรมไฟฟ้า

.....
ที่ปรึกษาโครงการ
(ผู้ช่วยศาสตราจารย์ ดร. มุชิตา สงวนจันทร์)

.....
กรรมการ
(ผู้ช่วยศาสตราจารย์ ดร. ศุภวรรณ พลพิทักษ์ชัย)

.....
กรรมการ
(ดร. สราชฎี วัฒนวงศ์พิทักษ์)

ชื่อหัวข้อโครงการ	การใช้ไมโครคอนโทรลเลอร์ควบคุมความเร็วของหุ่นยนต์รถเมืองโอลด์มีการเปลี่ยนแปลง
ผู้ดำเนินโครงการ	นางสาวนุชนานาญ ชื่อสั้นๆ รหัส 55364077 นางสาวกัญญาพัชญ์ เปริญกุล รหัส 55364183
ที่ปรึกษาโครงการ	ผู้ช่วยศาสตราจารย์ ดร. มุตติศา สงฟันทร์
สาขาวิชา	วิศวกรรมไฟฟ้า
ภาควิชา	วิศวกรรมไฟฟ้าและคอมพิวเตอร์
ปีการศึกษา	2558

บทคัดย่อ

ปริญญาในพนักบันนี้นำเสนอเกี่ยวกับการออกแบบและสร้างหุ่นยนต์รถที่สามารถควบคุมความเร็วให้มีขนาดคงที่เมื่อมีการเปลี่ยนแปลงของโอลด์ ซึ่งหุ่นยนต์รถที่สร้างขึ้นสามารถเคลื่อนที่ได้โดยใช้มอเตอร์กระแสตรงขนาด 12 โวลต์ในการขับเคลื่อน และโอลด์ที่ใช้ในการเพิ่มน้ำหนักของหุ่นยนต์รถต้องมีขนาดไม่เกิน 5 กิโลกรัม โดยใช้โอลด์เซลล์แบบสเตรนเกาขนาด 5 กิโลกรัมเป็นเครื่องมือในการวัดน้ำหนัก ซึ่งกระบวนการทำงานของหุ่นยนต์รถจะเริ่มต้นการทำงานโดยรับค่าน้ำหนักจากโอลด์เซลล์ส่งผ่านไปยังในไมโครคอนโทรลเลอร์ เพื่อควบคุมความเร็วของหุ่นยนต์รถให้กลับมาคงที่ที่ค่ากำหนด จากการทดลองจะเห็นว่า เมื่อมีการเปลี่ยนแปลงของน้ำหนัก ความเร็วของหุ่นยนต์รถสามารถกลับมาคงที่ได้

Project title	Car Robot Speed Control using Microcontroller under Variable Load
Name	Miss. Nutchanat Suesat ID. 55364077
	Miss. Phinyapatch Paringul ID. 55364183
Project advisor	Assistant Professor Mutita Songjun, Ph.D.
Major	Electrical Engineering
Department	Electrical and Computer Engineering
Academic year	2015

Abstract

This thesis is to design and construct a car robot controlled at the desired speed when the load is varied. The robot can be moved by using two 12 V-DC motors. The load obtained to the robot is between 0 – 5 kilograms and it is measured by load cell which the strain gauge type is selected. The process is to control the robot speed by obtaining the signal from load cell when the load is changed. Then the signal is sent to microprocessor to adjust the reduced speed back to the desired speed at the beginning. The results show that the robot can move at the desired speed as the load is varied.

กิตติกรรมประกาศ

ผู้ดำเนินโครงการขอขอบคุณ ผู้ช่วยศาสตราจารย์ ดร. มุกิตา สงวนจันทร์ อาจารย์ที่ปรึกษา โครงการ ซึ่งเอาใจใส่ในรายละเอียดทุกขั้นตอนของการดำเนินโครงการ โดยให้คำปรึกษาและ คำแนะนำในการแก้ไขปัญหาต่างๆ อย่างต่อเนื่องจนกระทั่ง โครงการสำเร็จลุล่วง รวมถึงแนะนำ หลักการเขียนปริญญาอิพน์ และตรวจทานแก้ไขอย่างละเอียดจนได้ปริญญาอิพน์เป็นรูปเล่นสมบูรณ์

ขอขอบคุณ ผู้ช่วยศาสตราจารย์ ดร. ศุภวรรณ พลพิทักษ์ชัย และ ดร. สราสุพิ วัฒนวงศ์พิทักษ์ ซึ่งเป็นคณะกรรมการโครงการ ที่ให้คำแนะนำตลอดระยะเวลาการทำโครงการ จนทำให้โครงการนี้ สำเร็จลุล่วงไปได้ด้วยดี

ในท้ายที่สุดนี้ เหนือสิ่งอื่นใด ผู้ดำเนินโครงการขอรับขอบพระคุณเป็นพิเศษและมารดา ซึ่งท่าน ได้ให้การสนับสนุนในทุกด้านเกี่ยวกับการศึกษาของผู้ดำเนินโครงการ รวมทั้งมอบความรัก ความ เมตตา และเคยเป็นกำลังใจให้จนประสบความสำเร็จในวันนี้

นางสาวนุชนาฎ ชื่อสัตย์
นางสาวกัญญาพัชญ์ เปริญกุล

สารบัญ

	หน้า
ใบรับรองปริญญานิพนธ์	ก
บทคัดย่อภาษาไทย	ข
บทคัดย่อภาษาอังกฤษ	ค
กิตติกรรมประกาศ.....	ง
สารบัญ	จ
สารบัญตราสาร	ช
สารบัญรูป	ซ
บทที่ 1 บทนำ	1
1.1 ที่มาและความสำคัญของโครงการ	1
1.2 วัตถุประสงค์ของโครงการ	1
1.3 ขอบเขตของโครงการ	2
1.4 ขั้นตอนและแผนการดำเนินงาน	2
1.5 ประโยชน์ที่คาดว่าจะได้รับ	3
1.6 งบประมาณที่ใช้	3
บทที่ 2 ทฤษฎีและหลักการที่เกี่ยวข้อง	4
2.1 ในโครง론โทรศัพท์	4
2.1.1 ส่วนประกอบของในโครง론โทรศัพท์	5
2.1.2 ในโครง론โทรศัพท์ครรภุล AVR	6
2.2 มอเตอร์ไฟฟ้ากระแสสลับ	7
2.2.1 โครงสร้างของมอเตอร์ไฟฟ้ากระแสสลับ.....	7
2.2.2 การทำงานเป็นมอเตอร์ไฟฟ้า.....	9
2.2.3 การขับเคลื่อนมอเตอร์ไฟฟ้ากระแสสลับ.....	13
2.2.4 การกลับทิศการหมุนของมอเตอร์กระแสสลับ	14
2.2.5 การควบคุมความเร็วของมอเตอร์ไฟฟ้ากระแสสลับ.....	15
2.3 โหลดเซลล์	16

สารบัญ (ต่อ)

	หน้า
บทที่ 3 วิธีการดำเนินโครงการ	20
3.1 การออกแบบโครงสร้างหุ่นยนต์รถ	20
3.2 การสร้างหุ่นยนต์รถ	22
3.3 วงจรที่ใช้ในหุ่นยนต์รถ	24
3.3.1 วงจรส่วนจ่ายไฟ	24
3.3.2 วงจรส่วนส่วนควบคุมการเคลื่อนที่	25
3.3.3 วงจรส่วนควบคุมสัญญาณป้อนกลับ	25
3.4 ขั้นตอนการทำงานของหุ่นยนต์รถ	26
บทที่ 4 ผลการทดลอง	27
4.1 ทดสอบความเร็วในการเคลื่อนที่เมื่อมีการบรรทุกน้ำหนักขนาด 1 - 5 กิโลกรัม	27
4.2 ทดสอบความเร็วในการเคลื่อนที่เมื่อความเร็วนี้การเปลี่ยนแปลง	29
4.3 ทดสอบประสิทธิภาพการรับน้ำหนักของหุ่นยนต์รถ	40
บทที่ 5 สรุปผลและข้อเสนอแนะ	43
5.1 สรุปผลการดำเนินโครงการ	43
5.2 ปัญหาและข้อเสนอแนะ	43
5.3 แนวทางในการพัฒนา	44
เอกสารอ้างอิง	45
ภาคผนวก ก รายละเอียดข้อมูลของ ATmega328P	46
ภาคผนวก ข รายละเอียดข้อมูลของ L298	54
ภาคผนวก ค รายละเอียดข้อมูลของ Hx711	68
ประวัติผู้ดำเนินโครงการ	78

สารบัญตาราง

ตารางที่	หน้า
1.1 ขั้นตอนและแผนการดำเนินงาน	2
4.1 ตารางการทดสอบช่วงเวลาที่ความเร็วกลับมาคงที่ 0.91 เมตรต่อวินาทีเมื่อใส่น้ำหนัก 1 กิโลกรัม	28
4.2 ตารางการทดสอบช่วงเวลาที่ความเร็วกลับมาคงที่ 0.91 เมตรต่อวินาทีเมื่อใส่น้ำหนัก 2 กิโลกรัม	28
4.3 ตารางการทดสอบช่วงเวลาที่ความเร็วกลับมาคงที่ 0.91 เมตรต่อวินาทีเมื่อใส่น้ำหนัก 3 กิโลกรัม	29
4.4 ตารางการทดสอบช่วงเวลาที่ความเร็วกลับมาคงที่ 0.91 เมตรต่อวินาทีเมื่อใส่น้ำหนัก 4 กิโลกรัม	29
4.5 ตารางการทดสอบช่วงเวลาที่ความเร็วกลับมาคงที่ 0.91 เมตรต่อวินาทีเมื่อใส่น้ำหนัก 5 กิโลกรัม	29
4.6 ตารางการทดสอบช่วงเวลาที่ความเร็วกลับมาคงที่ทั้ง 3 ระดับเมื่อใส่น้ำหนัก 1 กิโลกรัม	30
4.7 ตารางการทดสอบช่วงเวลาที่ความเร็วกลับมาคงที่ทั้ง 3 ระดับเมื่อใส่น้ำหนัก 2 กิโลกรัม	33
4.8 ตารางการทดสอบช่วงเวลาที่ความเร็วกลับมาคงที่ทั้ง 3 ระดับเมื่อใส่น้ำหนัก 3 กิโลกรัม	34
4.9 ตารางการทดสอบช่วงเวลาที่ความเร็วกลับมาคงที่ทั้ง 3 ระดับเมื่อใส่น้ำหนัก 4 กิโลกรัม	36
4.10 ตารางการทดสอบช่วงเวลาที่ความเร็วกลับมาคงที่ทั้ง 3 ระดับเมื่อใส่น้ำหนัก 5 กิโลกรัม	37
4.11 ตารางการทดสอบช่วงเวลาที่ความเร็วกลับมาคงที่ทั้ง 3 ระดับเมื่อบรรทุกน้ำหนัก.....	38
4.12 ตารางการทดสอบประสิทธิภาพของหุ่นยนต์รถ.....	40

สารบัญรูป

รูปที่	หน้า
2.1 ในโครงคอนโทรลเลอร์ตระกูล AVR เบอร์ ATmega328P-PU	6
2.2 ขาใช้งานของในโครงคอนโทรลเลอร์ ATmega328P-PU	7
2.3 ส่วนประกอบของมอเตอร์ไฟฟ้ากระแสตรง	7
2.4 เปดีอิคหรือโครงของมอเตอร์ไฟฟ้ากระแสตรง	8
2.5 ขั้วแม่เหล็กที่สร้างจากการพันขดลวด	8
2.6 โรเตอร์	9
2.7 วงจรภายในของมอเตอร์ไฟฟ้ากระแสตรง	10
2.8 สมการไฟฟ้าของมอเตอร์	13
2.9 วงจรควบคุมความเร็วของมอเตอร์กระแสตรงแบบใช้ตัวด้านทานอนุกรม	15
2.10 การแสดงความกว้างของพัลท์ขนาดต่างๆ และค่าความถี่ใช้เกิด ของช่วงพัลท์ที่มีความถี่คงที่	16
2.11 สเตรนเกจ (ก) แบบยีดดิติก (ห) แบบไม่ยีดดิติก	16
2.12 การคำนวณหาความเกิน	17
2.13 วงจรปรับเร็วเมื่อเชื่อมต่อ กับแหล่งจ่ายไฟ	18
3.1 รูปแบบและขนาดส่วนฐานของหุ่นยนต์รถ	20
3.2 รูปแบบชั้นที่ 2 ของหุ่นยนต์รถ	21
3.3 การติดตั้งบอร์ดวงจร	22
3.4 การติดตั้งแผ่นอะคริลิก เพื่อเป็นที่วางโอลด์เซลล์และแท่นใส่น้ำหนัก	23
3.5 โครงสร้างหุ่นยนต์รถที่ประกอบเสร็จสมบูรณ์	24
3.6 วงจรภาคจ่ายไฟ	24
3.7 วงจรขั้บมอเตอร์โดยวงจรรวมเบอร์ L298N	25
3.8 ภาพแสดงระบบควบคุมแบบป้อนกลับของตัวควบคุม	26
3.9 แผนภาพแสดงการทำงานของหุ่นยนต์รถ	27
4.2 กราฟแสดงช่วงเวลาที่ความเร็วกลับมากองที่ 3 ระดับเมื่อใส่น้ำหนัก 1 กิโลกรัม	31

สารบัญรูป (ต่อ)

รูปที่	หน้า
4.3 กราฟแสดงช่วงเวลาที่ความเร็วกลับมากที่ 3 ระดับเมื่อใส่น้ำหนัก 2 กิโลกรัม	33
4.4 กราฟแสดงช่วงเวลาที่ความเร็วกลับมากที่ 3 ระดับเมื่อใส่น้ำหนัก 3 กิโลกรัม	35
4.5 กราฟแสดงช่วงเวลาที่ความเร็วกลับมากที่ 3 ระดับเมื่อใส่น้ำหนัก 4 กิโลกรัม	36
4.6 กราฟแสดงช่วงเวลาที่ความเร็วกลับมากที่ 3 ระดับเมื่อใส่น้ำหนัก 5 กิโลกรัม	37
4.7 กราฟแสดงช่วงเวลาที่ความเร็วกลับมากที่ 3 ระดับเมื่อใส่น้ำหนัก	39



บทที่ 1

บทนำ

1.1 ที่มาและความสำคัญของโครงการ

การเคลื่อนย้ายสินค้าในโรงงานหรือคลังสินค้าในปัจจุบัน มีรูปแบบการเคลื่อนย้ายหลากหลายรูปแบบ ไม่ว่าจะเป็นการเคลื่อนย้ายสินค้าระหว่างพื้นที่ที่ทำงาน การเคลื่อนย้ายสินค้าภายใน สายการผลิตหรือระหว่างสายการผลิต การเคลื่อนย้ายสินค้าระหว่างฝ่ายในโรงงานหรือระหว่างโรงงาน และการเคลื่อนย้ายสินค้าในระบบการขนส่ง ซึ่งการเคลื่อนย้ายสินค้าในแต่ละรูปแบบนั้นมีความเหมาะสมในการเคลื่อนย้ายแตกต่างกันไป นักชีนอยู่กับปริมาณสิ่งของ ระยะเวลา เวลาและค่าใช้จ่ายในการเคลื่อนย้ายสินค้า การเคลื่อนย้ายสินค้าโดยใช้เครื่องจักรเป็นรูปแบบการเคลื่อนย้ายที่ได้รับความนิยมใช้เคลื่อนย้ายสินค้าภายในโรงงานหรือคลังสินค้ามากที่สุด ก cioè การใช้รถเคลื่อนย้ายสินค้าไม่ว่าจะเป็นรถยก รถลากถุง บันจี้ รวมถึงและการเคลื่อนย้ายสินค้าแบบอัตโนมัติ ปัจจุบันได้นำการเคลื่อนย้ายสินค้าแบบอัตโนมัติมาเป็นยานพาหนะในการเคลื่อนย้ายสินค้า ซึ่งข้อดีที่สำคัญที่สุดของการเคลื่อนย้ายในรูปแบบนี้ ก cioè ทำให้ประหยัดเวลา ค่าใช้จ่าย และแรงงานคนในการทำงาน ส่วนข้อเสียของการเคลื่อนย้ายในรูปแบบนี้ ก cioè การเคลื่อนย้ายสินค้าสามารถเคลื่อนย้ายได้ในปริมาณที่จำกัด โดยถ้าหากเคลื่อนย้ายสินค้าในปริมาณที่มากเกินไปจะส่งผลให้yanพาหนะเคลื่อนที่ได้ช้าลง ซึ่งเป็นเหตุทำให้สูญเสียพลังงาน เมื่อจากความเร็วของyanพาหนะแพร่ผ่านกับน้ำหนักสินค้าที่เคลื่อนย้าย ก cioè เมื่อน้ำหนักสินค้าที่เคลื่อนย้ายเพิ่มมากขึ้นความเร็วของyanพาหนะก็จะช้าลง

ผู้จัดทำ โครงการได้เลือกเห็นถึงปัญหาและความสำคัญนี้ จึงสร้างแบบจำลองหุ่นยนต์รถที่สามารถควบคุมความเร็วของหุ่นยนต์รถให้มีขนาดคงที่ ไม่ขึ้นกับน้ำหนักที่เปลี่ยนแปลงไป โดยใช้ในโครงการ ให้ลดเวลาการเคลื่อนย้ายสินค้า ซึ่งแบบจำลองที่สร้างขึ้นนี้สามารถนำไปประยุกต์ใช้กับการเคลื่อนย้ายสินค้าในโรงงานหรือคลังสินค้าในปัจจุบันได้

1.2 วัตถุประสงค์ของโครงการ

ออกแบบและสร้างหุ่นยนต์รถที่สามารถควบคุมความเร็วให้มีขนาดคงที่ เมื่อโหลดของหุ่นยนต์รถมีการเปลี่ยนแปลง

1.3 ขอบเขตของโครงการ

- สร้างหุ่นยนต์รถที่มีขนาด กว้าง 23 เซนติเมตร ยาว 28 เซนติเมตร และสูง 20 เซนติเมตร โดยใช้วัสดุที่ทำจากอลูมิเนียม และอะคริลิก
 - ใช้โปรแกรมควบคุมในโครคอน โทรลเลอร์ตระกูล AVR เบอร์ ATmega328P-PU ด้วยภาษาซี
 - ความเร็วของหุ่นยนต์รถมีขนาดคงที่ไม่เกิน 1 เมตรต่อวินาที
 - โหลดที่ใช้ในการเพิ่มน้ำหนักของหุ่นยนต์รถ คือ ก้อนน้ำหนักขนาด 1 กิโลกรัม จำนวน 5 ก้อน โดยใช้โหลดเซลล์แบบสตอเรนเกงเป็นเครื่องมือในการวัดน้ำหนัก

1.4 ขั้นตอนและแผนการดำเนินงาน

ตารางที่ 1.1 ขั้นตอนและแผนการดำเนินงาน

1.5 ประโยชน์ที่คาดว่าจะได้รับจากโครงการ

ได้ทุนยนต์รถที่สามารถควบคุมความเร็วด้วยหลักการทำงานของไมโครคอนโทรเลอร์ที่สามารถนำไปประยุกต์ใช้กับการเคลื่อนย้ายสินค้าในโรงงานหรือคลังสินค้า เพื่อประหยัดเวลา ค่าใช้จ่าย และแรงงานคนในการทำงาน

1.6 งบประมาณในการทำโครงการ

1) วัสดุและอุปกรณ์ในการสร้างหุ่นยนต์รถ	5,000 บาท
2) จัดทำรูปเล่มเบริลูญานิพนธ์	1,000 บาท
รวมเป็นเงินทั้งสิ้น (หากพันบาทถ้วน)	<u>6,000</u> บาท
หมายเหตุ : ถ้าเกิดมีภาระการ	



บทที่ 2

หลักการและทฤษฎีที่เกี่ยวข้อง

เนื่องจากโครงการนี้เป็นการสร้างหุ่นยนต์รถที่สามารถรับน้ำหนักได้สูงสุด 5 กิโลกรัมและมีความเร็วคงที่ โดยนำในโครงคอนโทรลเลอร์มาควบคุมความเร็วของหุ่นยนต์รถเมื่อโหลดมีการเปลี่ยนแปลง จึงจำเป็นต้องมีความรู้ความเข้าใจในหลักการทำงาน รูปแบบการทำงาน ภาษาของแม่วงจร ออคูโอโน่ เพื่อนำไปใช้ในการออกแบบวงจรควบคุมความเร็วของหุ่นยนต์รถและมองเห็นผลกระทบจากการขับเคลื่อนหุ่นยนต์รถ รวมทั้งแม่วงจร ออคูโอโน่ นอกจากนี้ยังเลือกใช้โอลด์เซลล์ เป็นอุปกรณ์ในการวัดค่าน้ำหนักของโหลด

2.1 ในโครงคอนโทรลเลอร์

เป็นอุปกรณ์ไอซี ที่สามารถทำโปรแกรมการทำงานได้ชั้นช้อน รับข้อมูลในรูปสัญญาณดิจิตอล เข้าไปทำการประมวลผลแล้วส่งผลลัพธ์ข้อมูลดิจิตอลออกมานำไปใช้งานตามที่ต้องการ ได้

ในโครงคอนโทรลเลอร์ภายในชิพจะมีหน่วยความจำ พอร์ต อ่ายุ่นชิพเพียงตัวเดียวซึ่งอาจจะเรียกได้ว่าเป็นคอมพิวเตอร์ชิพเดียว ในโครงคอนโทรลเลอร์เป็นในโครง โปรเซสเซอร์ชนิดหนึ่ง เช่นเดียวกับหน่วยประมวลผลกลาง ที่ใช้ในคอมพิวเตอร์ แต่ได้รับการพัฒนาแยกออกจากภาคหลังเพื่อนำไปใช้ในวงจรทางค้านงานควบคุม คือ แทนที่ในการใช้งานจะต้องต่อวงจรภายนอกต่างๆ เพิ่มเติม เช่นเดียวกับในโครง โปรเซสเซอร์ ก็จะทำการรวมวงจรที่จำเป็น เช่น หน่วยความจำ ส่วนอินพุต/เอาท์พุต บางส่วนเข้าไปในตัวไอซีเดียวกันและเพิ่มวงจรนาฬิกาอย่างเข้าไปด้วยเพื่อให้มีความสามารถเหมาะสมกับการใช้ในงานควบคุม เช่น วงจรตั้งเวลา วงจรการสื่อสารอนุกรม วงจรแปลงสัญญาณอะนาล็อกเป็นดิจิตอล เป็นต้น สรุปคือ

$$\text{ในโครงคอนโทรลเลอร์} = \text{ในโครง} \text{ โปรเซสเซอร์} + \text{หน่วยความจำ} + \text{อินพุต/เอาท์พุต}$$

ในโครงคอนโทรลเลอร์สามารถนำไปประยุกต์ใช้งานอย่างกว้างขวาง โดยมักจะเป็นการนำไปใช้ผังในระบบของอุปกรณ์อื่นๆ เพื่อใช้ควบคุมการทำงานบางอย่าง เช่น ใช้ในรถยนต์, เตาอบในครัวฟ, เครื่องปรับอากาศ, เครื่องซักผ้าอัตโนมัติ เป็นต้น เพราะว่าในโครงคอนโทรลเลอร์มีข้อดี เหมาะสมต่อการใช้ในงานควบคุมหลายประการ เช่น

- 1) วงจรที่ໄດ້ຈະນີຄວາມຮັບຮ້ອນນີ້ອີຍ ຂ່າຍລດຂໍ້ຜົດພາດທີ່ອາຈະເກີດຂຶ້ນໄດ້ໃນການຕ່ອງຈາກ
- 2) ມີຄູນສົນນົດເພີ່ມເຕີມສໍາຮຽນການຄວາມຄຸນໂຄບແລພາສ້າງໃຊ້ງາຍ
- 3) ຮະບນທີ່ໄດ້ມີຄາງຄູກກ່າວການໃຫ້ຊີ່ພໃນໂຄຣໂປຣເສເຊ່ອຮ່ວມ
- 4) ຂ່າຍດຄະບະເວລາໃນການພັນນາຮະບນໄດ້
- 5) ຊີ່ພໄອຊື່ແລະຮະບນທີ່ໄດ້ມີໝາດເລີກ

ໃນໂຄຣຄອນໂທຣລເລອຮ່ມື້ກາຍບໍ່ທີ່ອ້າດຕະຫຼາດແກ່ລາຍງານ ຈຶ່ງແຕ່ລະເບອຮ່ກໍຈະນີໂຄຣສ້າງກາຍໃນແລະຄວາມສາມາດໃນການທຳມະນຸດທີ່ແຕກຕ່າງກັນທຳໄຫ້ເລືອກໃຊ້ກັບຈາກໄດ້ອ່ານຸ່າຍ່າງເໜາະສົມ

2.1.1 ສ່ວນປະກອບຂອງໄນໂຄຣຄອນໂທຣລເລອຮ່

ໃນໂຄຣຄອນໂທຣລເລອຮ່ມີສ່ວນປະກອບຫລັກກາຍໃນອູ່ 6 ສ່ວນດ້ວຍກັນ ຄືອ

- 1) ສ່ວນປະນະລັດ
- 2) ສ່ວນຄວາມຈໍາແນນ
- 3) ສ່ວນຄວາມຈໍາຮອນ

3.1) ພຣອນ : ເປັນໜ່າຍຄວາມຈໍາທີ່ສາມາດນັບທຶນດ້ວຍເຄື່ອງບັນທຶກພິເສຍໄດ້ທີ່ນຶ່ງກັ້ງ ແລະໄນ້ສາມາດລົບທີ່ອັກເກີໄຫ້ໄດ້

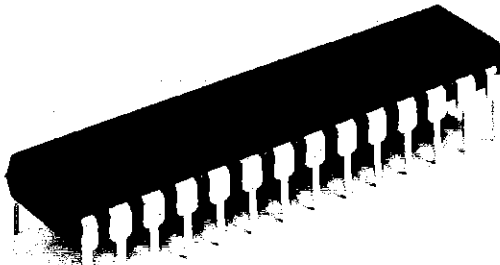
3.2) ອີພຣອນ : ເປັນໜ່າຍຄວາມຈໍາທີ່ສາມາດນັບທຶນໂດຍໃຫ້ເຄື່ອງມືອພິເສຍ ແລະສາມາດລົບຂໍ້ມູນໂດຍໃຫ້ແສງອັດຕະໄວໂອເດຕ

3.3) ອີອີພຣອນ : ເປັນໜ່າຍຄວາມຈໍາທີ່ຜູ້ໃຫ້ສາມາດລົບຂໍ້ມູນໄດ້ ໂດຍອາຫັນການກະສຸ່ນດ້ວຍແຮງດັນໄຟຟ້າທີ່ສູງກວ່າປົກຕິຈົນທຳໄຫ້ຂໍ້ມູນທີ່ອູ່ກາຍໃນສູງໝາຍໄປແລະສາມາດນັບທຶນທີ່ກໍາສັ່ງທີ່ອໂປຣແກຣມໃໝ່ໄດ້

- 4) ສ່ວນເຊື່ອນຕ່ອກຍິນອອກ
- 5) ສ່ວນຈັນເວລາແລະຕົວນັບ
- 6) ສ່ວນຄວາມຄຸນການຂັດຈັງຂະໜາດການທຳມະນຸດ

ຈາກສ່ວນປະກອບທີ່ນັ້ນຈະເຫັນວ່າ ໃນໂຄຣຄອນໂທຣລເລອຮ່ມີຄວາມເປັນຄອນພິວເຕອຮ່ທີ່ສມຽງແບບໃນຕົວອອງ ເນື່ອງຈາກມັນສາມາດຮັບຄ່າເຂົາໄປຄໍານາວົມແລະແສດງຜລັກພົບອອກນາໄດ້ ສິ່ງທີ່ໃນໂຄຣຄອນໂທຣລເລອຮ່ແຕກຕ່າງຈາກຄອນພິວເຕອຮ່ທີ່ເຮົາເຫັນອູ່ໃນທ້ອງຕາດ ຄືອ ການທີ່ອິນພຸດແລະເອາຫຼຸດຂອງໄນໂຄຣຄອນໂທຣລເລອຮ່ເປັນສັງຄູາພໍໄຟຟ້າດີຈິຕອລ ໄນໃຫ້ຄືບອົບຮ່ວມທີ່ອັກຄອນພິວເຕອຮ່ຢ່າງທີ່ເຮົາຄຸ້ນເກີດກັນ ງີ່ເປັນທີ່ນີ້ມີນຳໃນໂຄຣຄອນໂທຣລເລອຮ່ມາໃຊ້ງາຍພ່າຍໃນການພັນນາດທີ່ເລີກ ອຸປະກົດທີ່ຈະນຳມາຕ່ອງຮ່ວມມືນນີ້ຍັງແລະເໜາະສໍາຮຽນໃຊ້ງາຍໃນການຄໍານາວົມທີ່ໄໝຂັບຂ້ອນນາກນັກ

2.1.2 ไมโครคอนโทรลเลอร์ตระกูล AVR

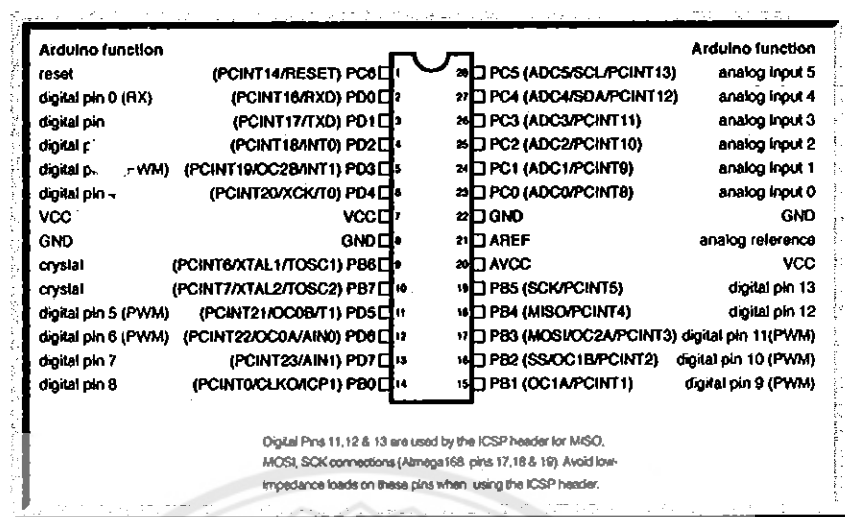


รูปที่ 2.1 ไมโครคอนโทรลเลอร์ตระกูล AVR เบอร์ ATmega328P-PU

ไมโครคอนโทรลเลอร์ตระกูล AVR เป็นไอซีในไมโครคอนโทรลเลอร์ของบริษัท Atmel ที่สถาปัตยกรรมภายในเป็นแบบ RISC โดยใช้สัญญาณนาฬิกาเพียง 1 ถูกในการปฏิบัติงานใน 1 คำสั่ง โดยจะประกอบด้วยหน่วยความจำโปรแกรมภายในที่เป็นแบบแฟลช โปรแกรมข้อมูลได้แบบ In-System programmable และในบางเบอร์ยังสามารถมีการกำหนดตำแหน่งของหน่วยความจำที่สร้างเป็นบุตโหลดเดอร์ (เขียนโปรแกรมเพื่อติดต่อกับ PC หรือไอซีตัวอื่นๆ และยังสามารถโปรแกรมให้กับตัวเองได้) มีขนาดของหน่วยความจำตามเบอร์ของไอซีแต่ละตัว ยกตัวอย่างคุณสมบัติเบื้องต้นของไอซีเบอร์ ATmega328P-PU ได้ดังต่อไปนี้

- 1) หน่วยความจำโปรแกรมแบบแฟลช ขนาด 32 กิโลบิต
- 2) หน่วยความจำข้อมูลแบบ เอสแ伦 ขนาด 2 กิโลบิต
- 3) หน่วยความจำข้อมูลแบบ อีเมอรอม ขนาด 1 กิโลบิต
- 4) สนับสนุนการเชื่อมต่อแบบ I2C บัส
- 5) พอร์ตอินพุตและเอาต์พุตจำนวน 23 บิต
- 6) วงจรแปลงอะนalogเป็นดิจิตอลขนาด 10 บิต ในตัวจำนวน 8 ช่อง
- 7) ทำงานได้ตั้งแต่บ้านแรงดัน 1.8 - 5.5 โวลต์
- 8) ความถี่ใช้งานสูงสุด 20 เมกะเฮิรตซ์
- 9) วงจรสื่อสารอนุกรม
- 10) ตัวจัมเวลาและตัวนับ ขนาด 8 บิต จำนวน 2 ตัว และ U3586 ขนาด 16 บิต 1 ตัว
- 11) สนับสนุนช่องสัญญาณสำหรับการสร้างสัญญาณพีคัมเบิลยูเอ็น (PWM) จำนวน 6 ช่อง

2.1.3 โครงสร้างภายนอกและตำแหน่งขาใช้งานของไมโครคอนโทรลเลอร์ระดับ AVR

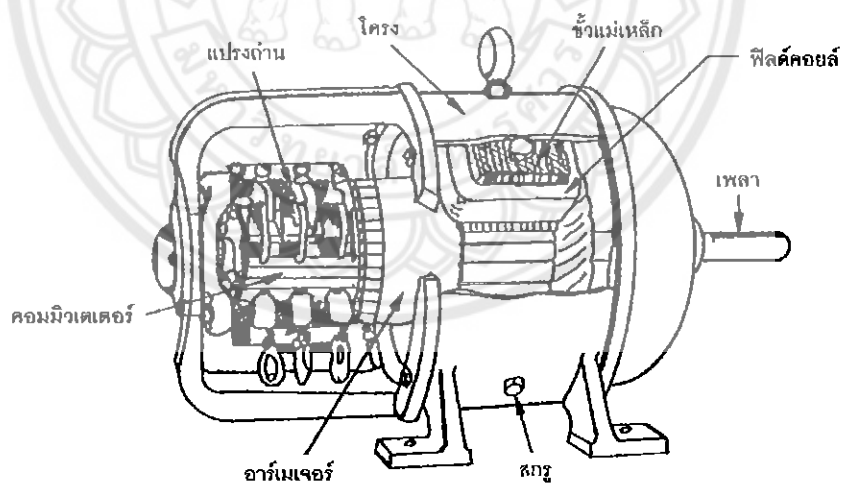


รูปที่ 2.2 ขาใช้งานของไมโครคอนโทรลเลอร์ ATmega328P-PU

2.2 มอเตอร์ไฟฟ้ากระแสตรง

2.2.1 โครงสร้างของมอเตอร์ไฟฟ้ากระแสตรง

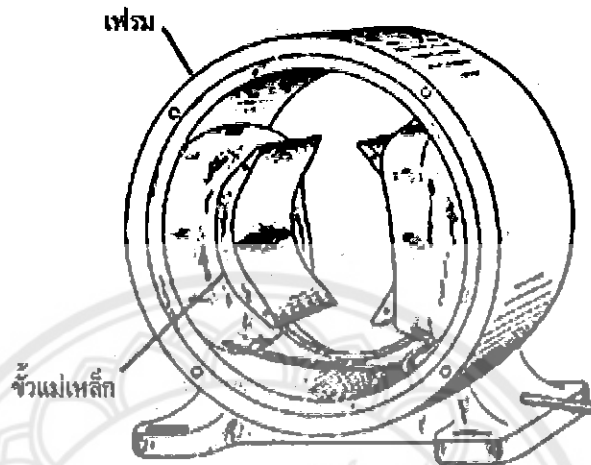
โครงสร้างของมอเตอร์ไฟฟ้ากระแสตรงแสดงให้ดังรูปที่ 2.3 โดยมีส่วนประกอบดังนี้



รูปที่ 2.3 ส่วนประกอบของมอเตอร์ไฟฟ้ากระแสตรง

1) สเตเตอร์ เป็นส่วนของมอเตอร์ไฟฟ้าที่อยู่กับที่ ประกอบด้วย

1.1) เปลือกหรือ โครง เป็นทางเดินให้กับเส้นแรงแม่เหล็กจากขั้วเหนือไปยังขั้วใต้ให้ครบวงจรและยึดส่วนประกอบอื่น ให้มีความแข็งแรง ทำด้วยเหล็กหล่อหรือเหล็กแผ่นหนา มีลักษณะเป็นรูปทรงกระบอกกลมแสดงได้ดังรูปที่ 2.4



รูปที่ 2.4 เปลือกหรือโครงของมอเตอร์ไฟฟ้ากระแสตรง

1.2) ขั้ว指南แม่เหล็ก เป็นส่วนที่ใช้ในการสร้างฟลักซ์แม่เหล็กแสดงได้ดัง รูปที่ 2.5 เมื่อตัวนำในขดลวดอาร์เมเนียมเจือร์หมุนตัดผ่านฟลักซ์แม่เหล็กนี้จะเกิดการเหนี่ยวนำขึ้น



รูปที่ 2.5 ขั้วแม่เหล็กที่สร้างจากการพันขดลวด

2) โรเตอร์ เป็นส่วนที่ทำให้เกิดกำลังมีลักษณะดังรูปที่ 2.6 ซึ่งมีแกนวางอยู่ในร่องลิ้นประกอบอยู่ในแผ่นปีตหัวท้ายของมอเตอร์



รูปที่ 2.6 โรเตอร์

โรเตอร์ของมอเตอร์ไฟฟ้ากระแสตรงประกอบด้วย 4 ส่วน คือ

2.1) แกนเพลา เป็นตัวสำหรับยึดคอมมิวเตเตอร์ และยึดแกนเหล็กอาร์เมจเจอร์ ประกอบเป็นตัวโรเตอร์ แกนเพลานี้วางอยู่บนร่องลิ้นเพื่อบังคับให้หมุนโดยไม่มีการสั่นสะเทือน

2.2) แกนเหล็กอาร์เมจเจอร์ ทำด้วยแผ่นเหล็กบางๆ จำนวนมาก เป็นที่สำหรับพันขดลวด อาร์เมจเจอร์ซึ่งสร้างแรงบิด คอมมิวเตเตอร์ ทำด้วยทองแดงออกแนวเป็นชี แต่ละชีมีจำนวนไม่เท่ากัน ค่านะห่วงซึ่งของคอมมิวเตเตอร์ ส่วนหัวซึ่งของคอมมิวเตเตอร์มีร่องสำหรับใส่ปลายสาย

2.3) ขดลวดอาร์เมจเจอร์ ตัวคอมมิวเตเตอร์นี้อัดแน่นติดกับแกนเพลาเป็น ทรงกระบอก มีหน้าที่สัมผัสด้วยประแจ

2.4) ขดลวดอาร์เมจเจอร์ เป็นขดลวดพันอยู่ในร่องสล็อต ของแกนอาร์เมจเจอร์ ขนาดของตัวจะเดียวกับหัวไนท์ แต่จำนวนรอบจะมากหรือน้อย นั้นขึ้นอยู่กับการออกแบบของตัวโรเตอร์ชนิดนั้น เพื่อให้เหมาะสมกับงานต่าง

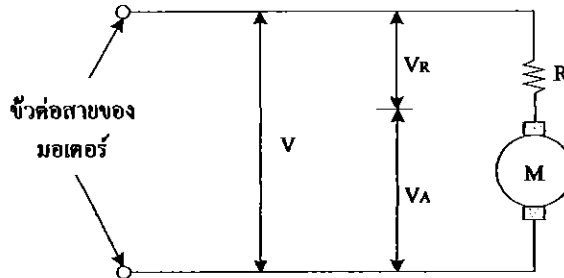
3) แบ่งด้าน อาจทำจากส่วนผสมของคราบอนกับกราไฟต์หรือคราบอนกับทองแดงทำหน้าที่รับกระแสไฟฟ้าจากวงจรภายนอกส่งไปยังคอมมิวเตเตอร์

2.2.2 หลักการเบื้องต้นของมอเตอร์ไฟฟ้ากระแสตรง

1) แรงดันมอเตอร์

พิจารณาแรงดันที่ป้อนและความต้านทานของโรเตอร์ด้วย วงจรภายในของมอเตอร์เขียนได้ดัง

รูปที่ 2.7



รูปที่ 2.7 วงจรภายในของมอเตอร์ไฟฟ้ากระแสตรง

โดยสมมติให้ทุ่นโรเตอร์ไม่มีความต้านทานอยู่แลบ อนุกรมกับความต้านทานซึ่งในที่นี้ก็คือ ความต้านทานของขดลวดนั้นเอง แรงดันที่ข้าวต่อสายของมอเตอร์ก็คือผลรวมระหว่างแรงดันที่ทุ่นโรเตอร์ (V_A) และ แรงดันตกคร่อมความต้านทานขดลวด (V_R)

แรงดัน V_A ถูกเรียกว่า แรงเคลื่อนหนีบวนนำบ้อนกลับ (BACK EMF) ซึ่งเกิดขึ้นในโรเตอร์ขณะที่หมุนแรงดันที่เกิดขึ้นนี้เป็นไปตามกฎของการเหนี่ยวแน่นแม่เหล็กไฟฟ้าจากการเคลื่อนที่ของตัวนำในสนามแม่เหล็ก สำหรับกับแรงเคลื่อนหนีบวนนำแม่เหล็ก และ ความเร็วในการเคลื่อนที่ของตัวนำ แรงดันที่เกิดขึ้นจะมีขั้นตอนกันข้างกับแรงดันที่บ้อนให้กับมอเตอร์ และแปรผันตรงกับความเร็วในการหมุน ผลรวมของแรงดันที่ทุ่นโรเตอร์ (V_A) และแรงดันตกคร่อมขดลวด (V_R) ต้องเท่ากับแรงดันที่บ้อนให้กับมอเตอร์ (V)

$$V = V_A + V_R \quad [\text{โวลต์}] \quad (2.1)$$

2) กระแสลมอเตอร์

เมื่อพิจารณาตั้งแต่มอเตอร์หยุดนิ่ง ความเร็วมีค่าเป็นศูนย์ ดังนั้น $V_A = 0$, $V_R = V$ กระแสที่ไหลในมอเตอร์หาได้จาก

$$I = V_R / R \quad [\text{แอมป์ร์}] \quad (2.2)$$

เมื่อมอเตอร์เริ่มหมุนจะมีความเร็ว และ V_A เพิ่มขึ้นเป็นส่วนตรงตามความเร็ว V_R ซึ่งมีค่าเท่ากับ ความแตกต่างระหว่าง V_A และ V จะเริ่มลดลงกระแส I ก็จะเริ่มลดลงเช่นกันขณะที่มอเตอร์ยังมีความเร็ว อยู่ ความเร็วจะเพิ่มขึ้น แรงบิดจะลดลงจนกว่าจะถึงจุดซึ่งแรงบิดของมอเตอร์รับกระแสไฟฟ้า ได้สมดุล พอดี ขณะที่มอเตอร์ไม่มีโหลด และ หมุนอย่างอิสระจะมีเพียงค่าความผิดของเบริ่ง และ แรงต้านอากาศทำให้ V_A เกือบเท่ากับค่า V

3) แรงผลักตัวนำในสนามแม่เหล็ก

แรงผลักตัวนำให้เกิดขึ้นที่ในสนามแม่เหล็ก ซึ่งจะมากหรือน้อยเพียงใดนั้นขึ้นอยู่กับความสัมพันธ์ระหว่างกระแสไฟฟ้าที่ให้ไฟลผ่านตัวนำในสนามแม่เหล็ก กับเส้นแรงแม่เหล็กในช่องว่างอากาศระหว่างขี้วเหนือ ข้างใต้ดังนี้

$$F = B \cdot \ell \cdot I \quad [\text{นิวตัน}] \quad (2.3)$$

เมื่อ F = แรงผลักตัวนำ [นิวตัน/ตัวนำ]

B = ความหนาแน่นของเส้นแรงแม่เหล็กในสนามแม่เหล็ก [เทสลา]

ℓ = ความยาวของตัวนำในสนามแม่เหล็ก [เมตร]

I = กระแสไฟฟ้าที่ให้ไฟลผ่านตัวนำในสนามแม่เหล็ก [แอมป์]

เมื่อมีหลายตัวนำจะเกิดแรงผลักตัวนำในสนามแม่เหล็ก ดังนี้

$$F = B \cdot \ell \cdot I \cdot Z \quad [\text{นิวตัน}] \quad (2.4)$$

เมื่อ Z = จำนวนตัวนำทั้งหมดในสนามแม่เหล็ก [ตัวนำ]

4) ทอร์กของตัวนำ

ทอร์ก คือ โมเมนต์ที่มุนหรือแรงบิด เป็นผลคูณระหว่างแรงกับแขนแรง ดังนี้

$$T = F \cdot R = F_A \cdot r = B \cdot \ell \cdot I \cdot Z \cdot R \quad [\text{นิวตันเมตร}] \quad (2.5)$$

เมื่อ T = ทอร์ก : แรงบิด : โมเมนต์หมุน [นิวตันเมตร]

F = แรงดูดหรือแรงผลักตัวนำ [นิวตัน]

R = รัศมีของอาร์เมเจอร์ : แขนแรง [เมตร]

F_A = แรงดึงสายพานสำหรับหมุนขึ้นงาน [นิวตัน]

r = รัศมีของล้อขึ้นสายพาน : แขนแรง [เมตร]

5) ทอร์กของมอเตอร์

$$T = F \cdot R = B \cdot \ell \cdot I \cdot Z \cdot R$$

$$B = \emptyset / A \quad (2.6)$$

เมื่อ B = ความหนาแน่นของเส้นแรงแม่เหล็ก [เทสลา]

\emptyset = เส้นแรงแม่เหล็ก/ขี้ว [เวเบอร์]

A = พื้นที่หน้าตัดของแกนขี้วแม่เหล็ก [ตารางเมตร]

$$I = I_A / a \quad (2.7)$$

เมื่อ I = กระแสไฟฟ้าที่ให้ไฟหล่อผ่านตัวนำ [แอมเปอร์/ตัวนำ]

I_A = กระแสอาร์เมเจอร์ (วัดที่ขั้วอาร์เมเจอร์) [แอมเปอร์]

a = จำนวนวงจรไฟฟ้าคู่ที่นานบนคลัวด์อาร์เมเจอร์ [วงจร]

เมื่อพันขดลวดแบบ “Lap Winding” $a = n_c \cdot P$ และเมื่อพันขดลวดแบบ “Wave Winding” $a = 2 \cdot n_c$

$$F = (\emptyset/A) \cdot \ell \cdot (I_A/a) \cdot Z = \emptyset \cdot \ell \cdot I_A \cdot Z/A \cdot a \quad (2.8)$$

$$T = \emptyset \cdot \ell \cdot I_A \cdot Z \cdot r/A \cdot a \quad (2.9)$$

ให้ K = ค่าคงที่ของมอเตอร์

$$K = \ell \cdot Z \cdot r/A \cdot a \quad (2.10)$$

$$T = K \cdot \emptyset \cdot I_A \quad (2.11)$$

จะเห็นได้อย่างชัดเจนว่า ทอร์กของมอเตอร์เป็นปฏิภาคโดยตรงกับเส้นแรงแม่เหล็ก และกระแสของมอเตอร์

$$T \propto \emptyset \text{ และ } T \propto I_A \quad (2.12)$$

6) สมการไฟฟ้าของมอเตอร์

$$E_c = \frac{\emptyset \cdot P \cdot n \cdot z}{60 \cdot a} \quad (2.13)$$

$$E_c = K' \cdot \emptyset \cdot n \quad (2.14)$$

$$K' = P \cdot z / 60 \cdot a \quad (2.15)$$

เมื่อ E_c = แรงดันไฟฟ้าเหนี่ยวนำกลับ [โวลต์]

\emptyset = เส้นแรงแม่เหล็ก/ขั้ว[โวบ]

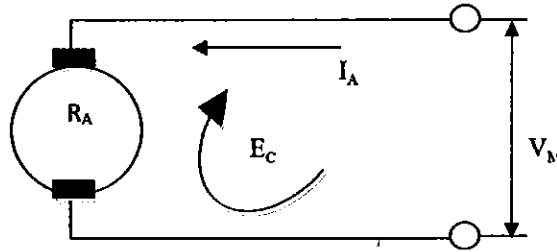
P = จำนวนขั้วแม่เหล็ก [ขั้ว]

n = จำนวนรอบที่มอเตอร์หมุน [รอบ/นาที]

z = จำนวนตัวนำบนอาร์เมเจอร์ [ตัวนำ]

a = จำนวนวงจรไฟฟ้าคู่ที่นานบนอาร์เมเจอร์ [ตัวนำ]

K' = ค่าคงที่ของมอเตอร์(โดยลักษณะสร้าง)



รูปที่ 2.8 วงจรสมมูลไฟฟ้าของมอเตอร์

จากรูปที่ 2.8 จะได้สมการ ดังนี้

$$V_M = E_C + I_A R_A = E_C + V_A \quad (2.16)$$

$$E_C = V_M - I_A R_A = V_M + V_A \quad (2.17)$$

$$V_A = I_A R_A = V_M - E_C \quad (2.18)$$

$$I_A = (V_M - E_C) / R_A \quad (2.19)$$

$$E_C = K \cdot \emptyset \cdot n$$

จะได้

$$n = \frac{E_C}{K} \cdot \emptyset = \frac{V_M - V_A}{K \cdot \emptyset} \quad (2.20)$$

2.2.3 การจำแนกประเภทมอเตอร์ไฟฟ้ากระแสตรง

มอเตอร์กระแสตรงสามารถจำแนกชนิดออกได้ ทั้งตามลักษณะของการต่อขดลวด สนามแม่เหล็ก (หรือการพันขดลวดสนามแม่เหล็ก) และการให้力矩 ของกระแสผ่านขดลวดสนามแม่เหล็ก ดังนี้

1) มอเตอร์แบบอนุกรม

คุณสมบัติที่สำคัญไป ประกอบด้วยขดลวดสนามแม่เหล็กที่มีความด้านทานต่ำ พันด้วยขดลวดทองแดงสัน ให้ญี่บันแกนขึ้นๆ แม่เหล็กจำนวนน้อยรอบ เช่นเดียวกับขดลวดกระแสของแม่เหล็กต่อเป็นอนุกรมกับอาร์เมเจอร์และแรงดันmen ลักษณะงานใช้หมุนขับงานที่ต้องการทอร์คเริ่มหมุนสูง และความเร็วตอบเปลี่ยนแปลงตลอดเวลา เช่น รถไฟฟ้า รถราง เครื่องตีฟท์ คอมแพคเตอร์ ฯลฯ

คุณสมบัติทางเทคนิค สมรรถนะในการหมุนขับ โหลด เมื่อโหลดเปลี่ยนแปลง กระแสอาร์เมเจอร์ และเส้นแรงแม่เหล็กในสนามแม่เหล็กจะเปลี่ยนแปลงไปด้วย มีผลทำให้ความเร็วของมอเตอร์เปลี่ยนแปลงไปในที่สุด ดังนั้นจึงกล่าวได้ว่า ความเร็วของมอเตอร์อนุกรมจะเปลี่ยนแปลงไป

ตามการเปลี่ยนแปลงของโหลด คือ เมื่อโหลดเพิ่มขึ้น ความเร็วตอบจังหวะลดลง และเมื่อโหลดลดลง ความเร็วตอบจังหวะเพิ่มขึ้น

2) มอเตอร์แบบขนาน

คุณสมบัติทั่วไป ประกอบด้วยข้อดีคือสามารถแบ่งโหลดที่มีความต้านทานค่อนข้างสูง ซึ่งใช้ลวดทองแดงเด็นเล็กๆ พันบนแกนข้าวแม่เหล็ก habitats รอบ เห็นเดียวกับข้อดีของแรงดันของโวลต์มิเตอร์ ต่อขนาดกับอาร์มิเนเจอร์ และต่ออนุกรมกับตัวต้านทานที่ปรับต่ำได้ (เรียกว่า) และต่อขนาดกับสายเมน ลักษณะงานเป็นมอเตอร์ที่ใช้หมุนขับเครื่องจักรกลที่ต้องการความเร็วตอบคงที่

คุณสมบัติทางเทคนิค สมรรถนะในการหมุนขับ โหลดความเร็วตอบจังหวะลดลงเพียงเล็กน้อยเมื่อโหลดเพิ่มขึ้น มอเตอร์จะหมุนด้วยความเร็วตอบค่อนข้างจะคงที่ตราบเท่าที่มอเตอร์ยังคงต่ออยู่กับแรงดันเมินที่คงที่ ดังนั้นจึงกล่าวได้ว่า “มอเตอร์ขนาดเป็นมอเตอร์ที่หมุนด้วยความเร็วตอบคงที่”

3) มอเตอร์กระแสตรงแบบผสม มอเตอร์ไฟฟ้ากระแสตรงแบบผสมนี้ จะนำคุณลักษณะที่ดีของมอเตอร์ไฟฟ้ากระแสตรงทั้งแบบขนาน และแบบอนุกรมมารวมกัน มอเตอร์ไฟฟ้ากระแสตรงแบบผสม มีคุณลักษณะพิเศษคือมีแรงบิดสูง แต่ความเร็วตอบคงที่ตั้งแต่บังไน่มีโหลดจนกระแสทั้งนี้มีโหลดเต็มที่ มอเตอร์แบบผสมมีวิธีการต่อขดลวดขนาดหรือขดลวดชั้นที่อยู่ 2 วิธี

3.1) ใช้ต่อขดลวดแบบชั้นที่บานานกับอาเมเจอร์เรียกว่า ชอทชันท์ (Short Shunt Compound Motor)

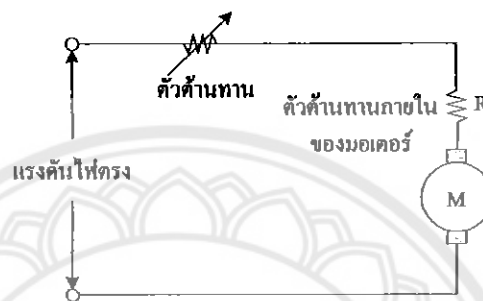
3.2) ต่อขดลวด ขนาดกับขดลวดอนุกรมและขดลวดอาเมเจอร์เรียกว่า ล็อกชันท์คอมเพลค์มอเตอร์ (Long shunt motor)

2.2.4 การทำงานของมอเตอร์ไฟฟ้ากระแสตรง

มอเตอร์ไฟฟ้ากระแสตรงประกอบด้วยแม่เหล็กขั้ว 2 ขั้ว วงจรปั๊รระหว่างขดลวดตัวนำเมื่อมีการผ่านกระแสไฟฟ้าเข้าไปยังขดลวดในสถานะแม่เหล็กจะทำให้เกิดแรงแม่เหล็กซึ่งมีสัดส่วนแรงกับกระแสแรง โดยแรงจะเกิดขึ้นเป็นมุมจากกับกระแสและสถานะแม่เหล็ก ขณะที่ทิศทางของแรงกลับตรงกันข้ามกับถ้าหากกระแสของสถานะแม่เหล็กไฟลั่นกลับจะทำให้เกิดการเปลี่ยนแปลงของกระแสและสถานะแม่เหล็กเป็นผลทำให้เกิดทิศทางของแรงเปลี่ยนไป ด้วยคุณสมบัตินี้ทำให้มอเตอร์กระแสตรงกลับทิศการหมุนได้ ซึ่งสถานะแม่เหล็กของมอเตอร์ส่วนหนึ่งเกิดจากแม่เหล็กตัวซึ่งจะยึดติดกับแผ่นแม่เหล็กหรือแม่เหล็กกล้า โดยปกติส่วนนี้จะเป็นส่วนที่ยึดติดกับที่และขดลวดเหน็บขวน้ำจะพันอยู่กับส่วนที่เป็นแกนของมอเตอร์

2.2.5 การควบคุมความเร็วของมอเตอร์ไฟฟ้ากระแสตรง

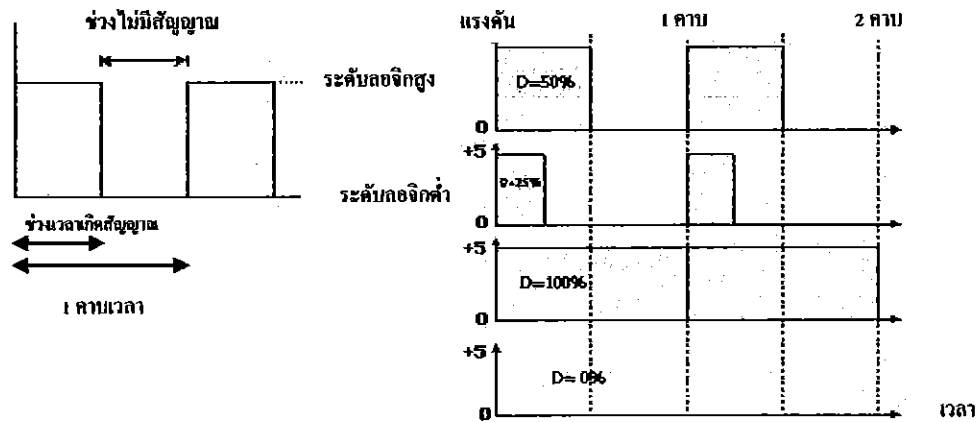
1) การควบคุมแบบปรับค่าได้เป็นรูปแบบพื้นฐานที่สุดของการควบคุมมอเตอร์คือใช้ตัวด้านหน้าปรับค่าได้อัตโนมัติกับมอเตอร์ โดยกำหนดให้ตัวด้านหน้าที่ปรับค่าได้จะเป็นตัวกำหนดความเร็วในการหมุนของมอเตอร์ การบังคับแบบนี้ไม่มีประสิทธิภาพ เพราะกำลังไฟสูงเสียไปในตัวความดันหน้าที่บังคับนักนิยมใช้กับมอเตอร์ขนาดตัวเด็กๆ การบังคับแบบนี้ให้คุณสมบัติการ starters ที่ดี (ให้แรงบิดสูงที่ความเร็วต่ำ) แต่จะให้ความเร็วที่สูงมากเมื่อมอเตอร์อยู่ในภาวะที่มีโหลดน้อยๆ ดังนั้นการบังคับแบบนี้มีประโยชน์เฉพาะภาวะที่แรงดันคงที่ เช่น การบังคับความเร็วของเครื่องจักรเข็นผ้า เป็นต้น



รูปที่ 2.9 วงจรควบคุมความเร็วของมอเตอร์กระแสตรงแบบใช้ตัวด้านหน้าอัตโนมัติ

2) การควบคุมด้วยวิธีเปลี่ยนค่าแรงดันวิธีการนี้คือวิธีการแรกแต่จะซับซ้อนกว่าต้องที่ใช้อุปกรณ์อิเล็กทรอนิกส์ที่อัตราข่ายแบบกำลังสูง และ มอเตอร์จะถูกป้อนด้วยแรงดันที่เปลี่ยนแปลงค่าได้ จากแหล่งจ่ายที่มีอินพุตแคบๆ ข้อดีของการควบคุมวิธีนี้คือถ้าความเร็วลดลงจากผลของแรงบิดแรงดันที่ป้อนให้กับมอเตอร์จะเพิ่มขึ้นเพื่อรักษาความต้นความเร็ว ล้วนขึ้นเดียวจากการควบคุมวิธีนี้ก็อ่อนแรงดันที่ป้อนให้กับมอเตอร์จะมีค่าต่ำเข่นกัน

3) การควบคุมแบบพีดับบิวเอ็ม คือ การมอคุเลชันทางความกว้างของพัลส์ จะเป็นการปรับเปลี่ยนที่สัดส่วน และความกว้างของสัญญาณพัลส์ โดยความถี่ของสัญญาณพัลส์จะไม่มีการเปลี่ยนแปลง หรือเป็นการเปลี่ยนแปลงที่ค่าของคิวตี้ไซเคิล (Duty cycle) นั้นเอง ซึ่งค่าของคิวตี้ไซเคิลคือช่วงความกว้างของพัลส์ที่มีสถานะล็อกอิกสูง โดยคิดสัดส่วนเป็นเปอร์เซ็นต์จากความกว้างของพัลส์ทั้งหมด ยกตัวอย่างเช่น ถ้าหากค่าคิวตี้ไซเคิลนี้ค่าเท่ากับ 50 เปอร์เซ็นต์ก็หมายถึงใน 1 รูปสัญญาณพัลส์จะมีช่วงของสัญญาณที่เป็นสถานะล็อกอิกสูงอยู่ครึ่งหนึ่ง และสถานะล็อกอิกค่าอยู่อีกครึ่งหนึ่งและในทำนองเดียวกันถ้าหากค่าคิวตี้ไซเคิลนี้ค่ามาก หมายความว่าความกว้างของพัลส์ที่เป็นสถานะล็อกอิกสูงจะมีความกว้างมากขึ้น หากค่าคิวตี้ไซเคิลนี้ค่าเท่ากับ 100 เปอร์เซ็นต์ก็หมายความว่าจะไม่มีสถานะล็อกอิกเลย



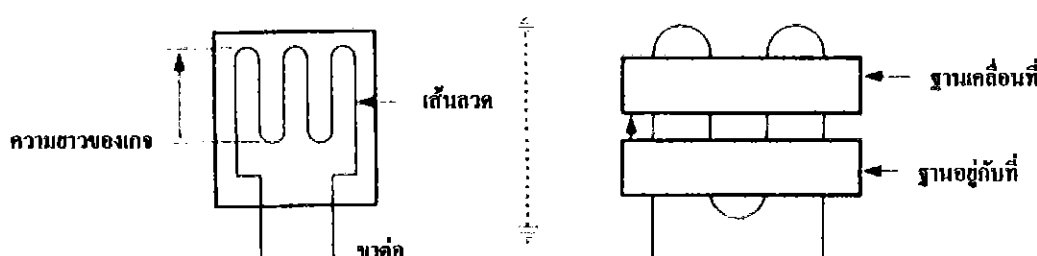
รูปที่ 2.10 การแสดงความกว้างของพัลท์นาดต่างๆ และค่าดิวตี้ไซเคิล ของช่วงพัลท์ที่มีความถี่คงที่

2.3 โหลดเชลล์

โหลดเชลล์ คือ เซนเซอร์ที่สามารถแปลงค่าแรงดึง หรือแรงดึง เป็นสัญญาณทางไฟฟ้าได้ หมายความว่า การรับการทดสอบคุณสมบัติทางกลของชิ้นงาน โหลดเชลล์ถูกนำมาใช้ในอุตสาหกรรมหลากหลายประเภท ได้แก่ การซั่งน้ำหนัก การทดสอบแรงดึงของชิ้นงาน การทดสอบความแข็งแรงของชิ้นงาน การทดสอบการเข้ารูปชิ้นงาน ใช้สำหรับงานทางค้านวัสดุ โลหะ ทดสอบโลหะ ชิ้นส่วนรถยนต์ วิศวกรรมโยธา ทดสอบคอนกรีต ทดสอบไม้ ฯลฯ

2.3.1 สเตرنเกจ (Strain Gauge)

สเตرنเกจสามารถแบ่งออกเป็น 2 แบบคือแบบมีดัดติด (Bonded Strain Gauge) และแบบไม่มีดัดติด (Unbonded Strain Gauge) โดยสเตرنเกจทั้งสองชนิดจะมีลักษณะโครงสร้างและการทำงานที่คล้ายกันคือหากด้วยเส้นลวดเล็กๆขดไปขตามากและนำไปติดกับวัสดุที่ต้องการตรวจวัดความเครียด



รูปที่ 2.11 สเตرنเกจ (ก) แบบมีดัดติด (ข) แบบไม่มีดัดติด

เมื่อสเตรนเกจถูกใช้ออกความยาวของเส้นลวดจะเพิ่มขึ้นในขณะที่พื้นที่หน้าตัดจะลดลงทำให้ความต้านทานของเส้นลวดเพิ่มขึ้นเนื่องจากความต้านทานโลหะตัวนำจะแปรค่าโดยตรงตามความยาวและแปรผกผันกับพื้นที่หน้าตัดโดยเขียนความสัมพันธ์ทางคณิตศาสตร์ได้ดังนี้

$$R = \rho L / A \quad (2.21)$$

เมื่อ R คือ ค่าความต้านทานของคลอดตัวนำมีหน่วยเป็นโอห์ม

ρ คือ ค่าสัมประสิทธิ์ความต้านทานของคลอดตัวนำที่ใช้สเตรนเกจมีหน่วยเป็น โอห์ม-เมตร

L คือ ความยาวของคลอดตัวนำมีหน่วยเป็นตารางเมตร

A คือ พื้นที่หน้าตัดของคลอดตัวนำมีหน่วยเป็นตารางเมตร

เมื่อพิจารณาถึงการเปลี่ยนแปลงคุณลักษณะของคลอดตัวนำเมื่อได้รับแรงกระทำแล้วจะพบว่า การเปลี่ยนแปลงเกิดขึ้นสองประการคือความยาวของคลอดตัวนำเปลี่ยนไปจากเดิมและความต้านทานของคลอดตัวนำที่เปลี่ยนไปจากเดิม เพราะฉะนั้นถ้านำค่าทั้งสองชนิดนี้ไปทำการเทียบสัดส่วนกันก็จะได้ค่าตัวประกอบชนิดหนึ่งซึ่งมีชื่อเรียกว่าค่าตัวประกอบเกจ (Gauge factor) ซึ่งเขียนเป็นสมการได้ดังนี้

$$K = (\Delta R / R) / (\Delta L / L) \quad (2.22)$$

เมื่อ K คือ ค่าตัวประกอบเกจ

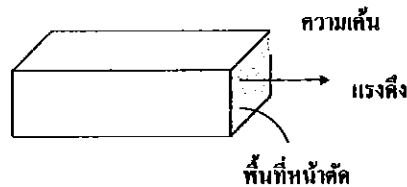
ΔR ค่าความต้านทานที่เปลี่ยนแปลงไปของคลอดตัวนำหลังจากถูกแรงกระทำ

R ค่าความต้านทานของคลอดตัวนำเริ่มแรกก่อนถูกแรงกระทำ

ΔL ค่าความยาวที่เปลี่ยนแปลงไปของคลอดตัวนำหลังจากถูกแรงกระทำ

L ค่าความยาวของคลอดตัวนำก่อนถูกแรงกระทำ

และนี่เองจากค่า $(\Delta L / L)$ ได้รับการกำหนดชื่อทางคณิตศาสตร์ว่าค่าคงตัวความเครียดแทนค่าวัสดุ ตัวแปรยังสามารถเขียนสมการได้เป็น $K = (\Delta R / R) / \epsilon$ สมมุติว่าแรงทางคณิตศาสตร์ที่กระทำต่อวัสดุ โครงสร้างดังกล่าวมีค่าเท่ากับ F ซึ่งมีหน่วยเป็นกิโลกรัมต่อตารางเมตรและพื้นที่หน้าตัดของวัสดุ ดังกล่าวมีค่าเท่ากับ A ตารางเมตร



รูปที่ 2.12 แสดงการคำนวณหาความเค้น

จะสามารถคำนวณหาค่าความเค้นที่กระทำต่อวัสดุนี้ได้จากสมการ

$$\sigma = F / A \quad (2.23)$$

เมื่อ σ คือ ค่าความเค้นของวัสดุ

F คือ แรงที่กระทำต่อวัสดุ

A คือ พื้นที่หน้าตัดของวัสดุ

โดยเราจะพบว่าความเค้นจะมีการเปลี่ยนแปลงโดยตรงกับความเครียดในช่วงระยะหนึ่งแต่เมื่อผ่านช่วงนี้ไปแล้วความสัมพันธ์เป็นเชิงเส้นความชันของกราฟในช่วงดังกล่าวจะมีค่าเท่ากับค่าความเค้น (Stress) หารด้วยค่าความเครียด (Strain) มีชื่อเรียกว่าค่าอคูลัสความยืดหยุ่น (Modulus Of Elasticity) ซึ่งมีค่าเท่ากับ

$$E = \sigma / \epsilon \quad (2.24)$$

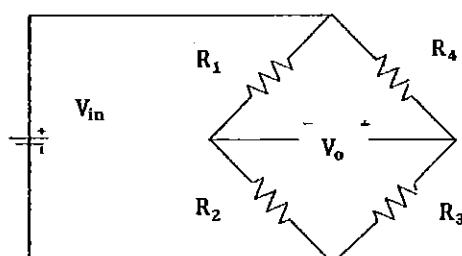
เมื่อ E คือ ค่าอคูลัสความยืดหยุ่น

σ คือ ความเค้นของวัสดุ

ϵ คือ ค่าความเครียดของวัสดุ

2.3.2 วงจร抵抗บริค์

เนื่องจากค่าความต้านทานที่เปลี่ยนไปมีค่าคงที่ดังนั้นในทางปฏิบัติจึงนิยมน้ำสเตตรนเกจมาใช้งานโดยต่อวงจรแบบวีตสโตตนบริค์ดังในรูป



รูปที่ 2.13 วงจรบริค์เมื่อเชื่อมต่อ กับแหล่งจ่ายไฟ

เมื่อเราป้อนแรงดันให้แก่วงจรบริคจ์ระหว่างข้ออินพุตบวกและอินพุตลบในสถานะที่ยังไม่มีแรงมากกระทำหรือยังไม่มีน้ำหนักมากกระทำต่อโหลดเซลล์ค่าความต้านทานของสเตรนเกจภายในจะทีค่าเท่ากันทำให้วงจรบริคจ์อยู่ในสถานะสมดุลแรงดันเอาท์พุทที่ออกมาระหว่างข้อเอ้าท์พุตบวกและเอาท์พุตลบจะมีค่าเป็นศูนย์และเมื่อมีแรงมากกระทำหรือมีน้ำหนักมากกระทำต่อโหลดเซลล์จะทำให้สเตรนเกจยึดออกหรืองอเข้าจะทำให้ค่าความต้านทานภายในสเตรนเกจของแต่ละตัวนั้นเปลี่ยนค่าไปทำให้วงจรบริคจ์อยู่ในสถานะที่ไม่สมดุลทำให้สามารถวัดแรงดันที่เอาท์พุทออกมานี้ได้ยิ่งมีน้ำหนักหรือวัตถุที่มากระทำต่อโหลดเซลล์มากเพียงใดก็จะทำให้ค่าความต้านทานของสเตรนเกจนั้นเปลี่ยนค่าไปมากขึ้นและยังทำให้แรงดันเอาท์พุตมีค่ามากขึ้นคืออย่างไรก็ตามแรงดันเอาท์พุทที่ได้จากการบริคจ์มีค่าน้อยมากจึงต้องอาศัยวงจรขยายสัญญาณเพื่อให้แรงดันเอาท์พุตนั้นมีค่าเพิ่มมากขึ้นเพื่อที่จะนำไปแรงดันที่ได้ไปประมวลผลในกระบวนการต่อไปโดยแรงดันเอาท์พุตภายในวงจรวีตสโตรนบริคจ์จะเป็นไปตามสมการ

$$V = \left[\frac{R_3}{R_3 + R_4} - \frac{R_2}{R_1 + R_2} \right] V_{in} \quad (2.25)$$



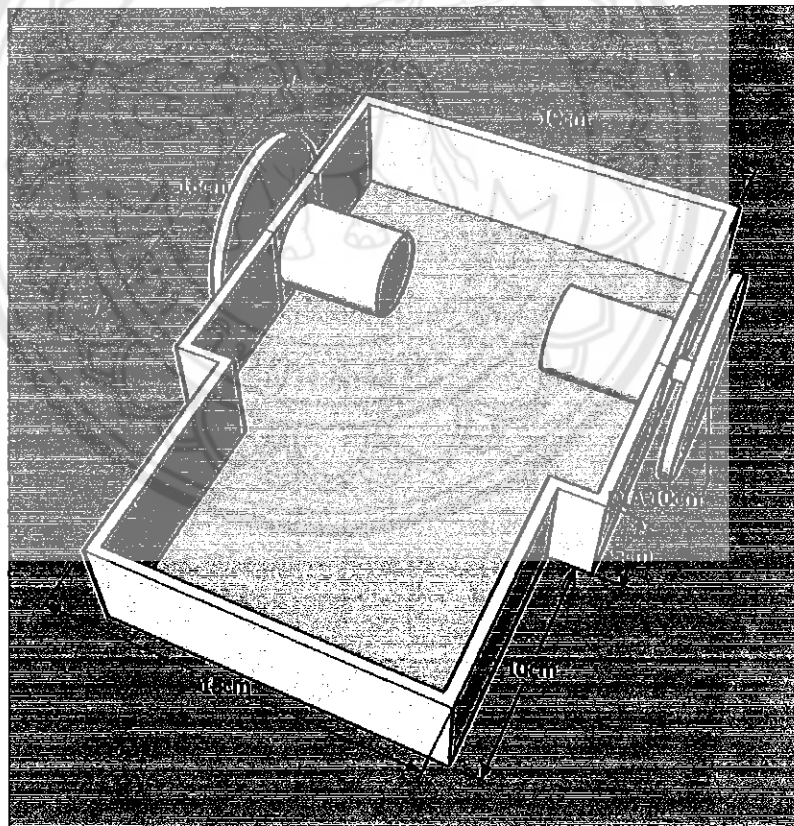
บทที่ 3

วิธีการดำเนินโครงการ

ในบทนี้จะเป็นการบอกถึงการออกแบบขั้นตอนต่างๆในการสร้างหุ่นยนต์รถ รวมไปถึงบอกอุปกรณ์ต่างๆที่ใช้ในการสร้างหุ่นยนต์รถ

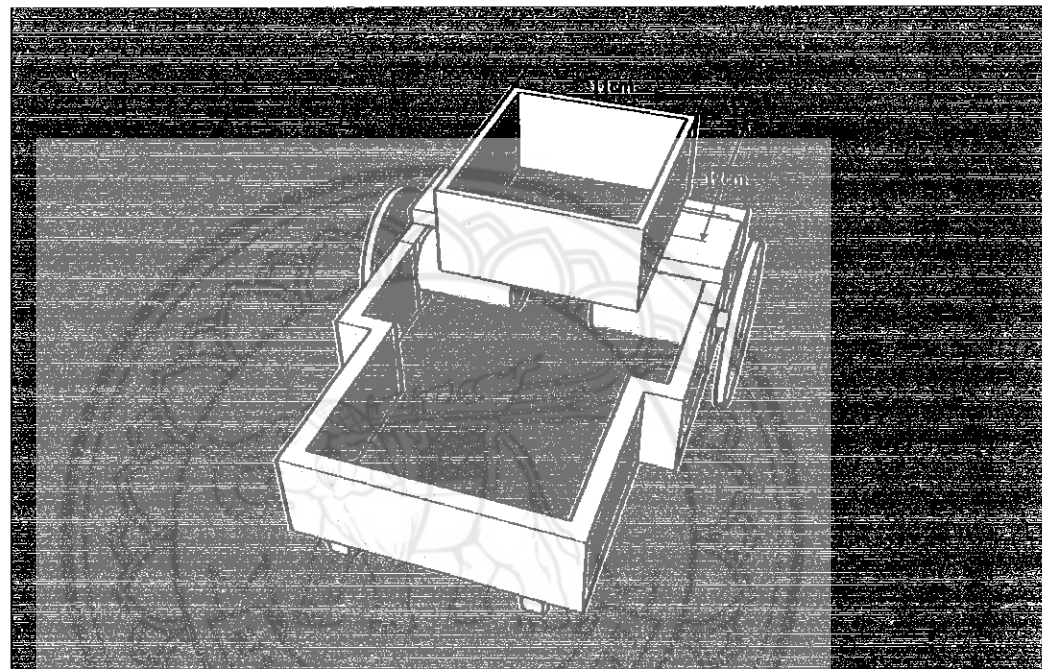
3.1 การออกแบบโครงสร้างหุ่นยนต์รถ

การออกแบบโครงสร้างหุ่นยนต์รถ ที่ออกแบบนั้นจะเน้นวัสดุที่มีความแข็งแรงและจ่ายต่อการขึ้นรูป โดยตัวหุ่นยนต์รถจะมีรูปทรงเป็นทรงสี่เหลี่ยมผืนผ้า โดยใช้แผ่นจากอะลูมิเนียม และไม้อัด เป็นโครงสร้างตัวหุ่นยนต์รถ และวัสดุที่ทำจากไม้ในการขึ้นรูป ส่วนระบบขับเคลื่อนจะใช้มอเตอร์ไฟฟ้ากระแสตรงขนาด 12 โวลต์ จำนวน 2 ตัว ในการขับเคลื่อนหุ่นยนต์รถ ซึ่งขนาดและรูปแบบที่ออกแบบไว้ในแต่ละส่วนมีดังนี้



รูปที่ 3.1 รูปแบบและขนาดส่วนฐานของหุ่นยนต์รถ

รูปที่ 3.1 รูปแบบและขนาดส่วนฐานของหุ้นยนต์รถ การออกแบบฐานชั้นล่างของหุ้นยนต์รถ จะออกแบบเป็นรูปทรงสี่เหลี่ยมผืนผ้าและมีลักษณะคล้ายกล่อง ที่มีขนาดความกว้าง 19 เซนติเมตร ความยาว 28 เซนติเมตร และความสูง 5 เซนติเมตร โดยใช้แผ่นจากอะลูминิเนียม จำนวน 4 แผ่น และใช้ไม้อัดขนาด ความกว้าง 19 เซนติเมตร ความยาว 28 เซนติเมตร และความหนา 3 มิลลิเมตร เป็นพื้นที่สำหรับวางอุปกรณ์ต่างๆคือ นอเตอร์กระแตกตงแบตเตอรี่ บอร์ดบันมอเตอร์ บอร์ดไมโครคอนโทรลเลอร์ และบอร์ดแอลซีดี



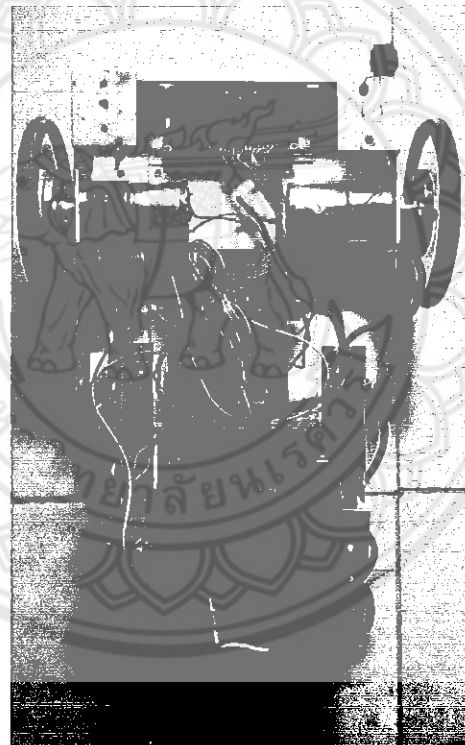
รูปที่ 3.2 รูปแบบชั้นที่ 2 ของหุ้นยนต์รถ

รูปที่ 3.2 รูปแบบชั้นที่ 2 ของหุ้นยนต์รถ จะออกแบบเป็นรูปสี่เหลี่ยมผืนผ้าขนาด ความกว้าง 6 เซนติเมตร ความยาว 19 เซนติเมตร และความหนา 5 มิลลิเมตร โดยใช้อะคริลิก จำนวน 1 แผ่น เป็นพื้นที่สำหรับวางโหลดเซลล์ และกล่องใส่ก้อนน้ำหนักขนาด 1 กิโลกรัม จำนวน 5 ก้อน ส่วนของล้อจะใช้อะคริลิก ความหนา 5 มิลลิเมตร เส้นผ่านศูนย์กลาง 10 เซนติเมตร จำนวน 2 อัน และใช้ล้อพลาสติก สำเร็จรูป เส้นผ่านศูนย์กลาง 1 เซนติเมตร ความหนา 1 เซนติเมตร จำนวน 2 สัก

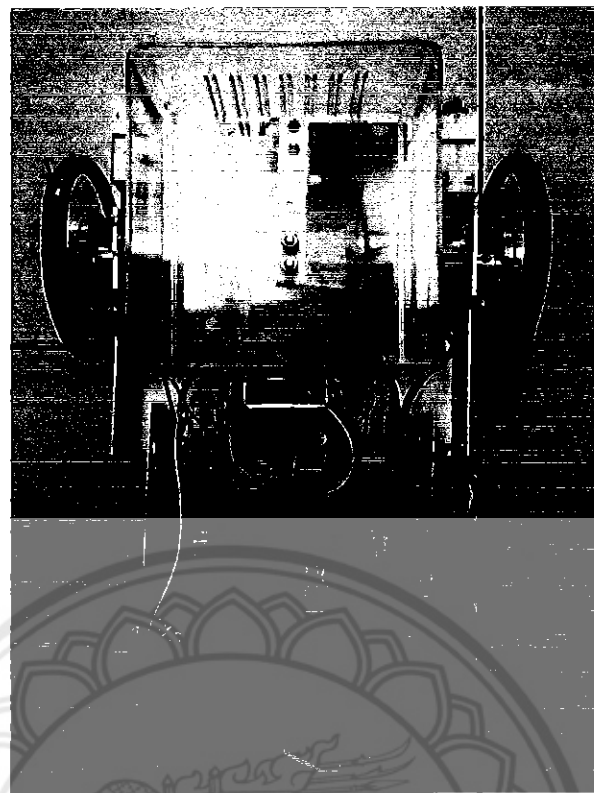
3.2 การสร้างหุ่นยนต์รถ

การสร้างหุ่นยนต์รถจะสร้างให้มีขนาดตามที่ออกแบบไว้ โดยอุปกรณ์ที่ใช้ในการสร้างคือ แผ่นฉากรอะลูมิเนียม ไม้อัด และอะคริลิก ตัวและประกอบให้ได้ตามที่ออกแบบไว้

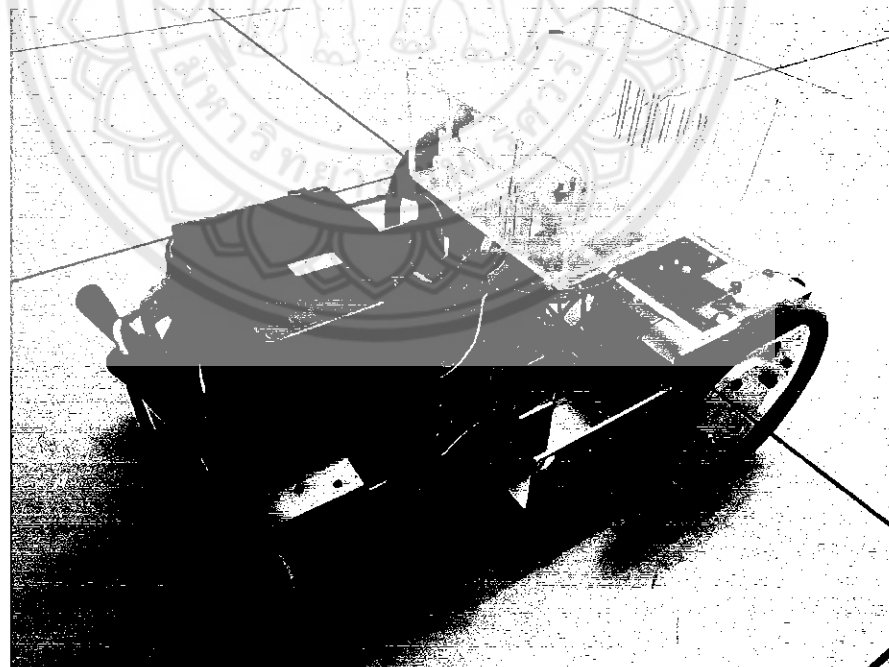
โดยทำการติดตั้งบอร์ดวงจรที่ประกอบด้วยบอร์ดอซูอิโน่ บอร์ดขั้บมอเตอร์ วงมอเตอร์ กระแสตรง จอยแอลซีดีและไมโครชิปโดยสัญญาณโหมดเซลล์ ตามลำดับ รวมทั้งติดตั้งแบตเตอรี่ขนาด 12 โวลต์ ดังรูปที่ 3.3 แล้วติดตั้งแผ่นอะคริลิกเพื่อเป็นที่วาง โหลดเซลล์และแท่นใส่ตุ้มน้ำหนักขนาด 1 กิโลกรัม จำนวน 5 ก้อน ติดตั้งล้อที่ทำจากอะคริลิก เส้นผ่าศูนย์กลาง 10 เซนติเมตร ความหนา 5 มิลลิเมตร จำนวน 2 ล้อ พร้อมทั้งติดตั้งล้อพลาสติกสำเร็จรูป จำนวน 2 ล้อ ดังรูปที่ 3.4 และภาพโครงสร้างของหุ่นยนต์รถเมื่อทำการประกอบเสร็จสมบูรณ์ ดังรูป 3.5



รูปที่ 3.3 การติดตั้งบอร์ดวงจร



รูปที่ 3.4 การติดตั้งแผ่นอะคริลิก โหลดเซลล์และกล่องใส่น้ำหนัก



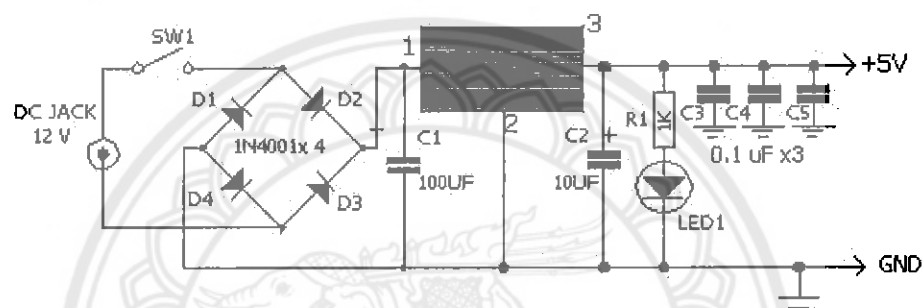
รูปที่ 3.5 โครงสร้างหุ่นยนต์รถที่ประกอบเสร็จสมบูรณ์

3.3 วงจรที่ใช้ในหุ่นยนต์รถ

วงจรที่ใช้ในการทำงานของหุ่นยนต์รถนี้จะแบ่งออกเป็น วงจรส่วนจ่ายไฟ วงจรส่วนควบคุม การเคลื่อนที่และวงจรส่วนควบคุมสัญญาณป้อนกลับ โดยมีหลักการทำงานดังนี้

3.3.1 วงจรส่วนจ่ายไฟ

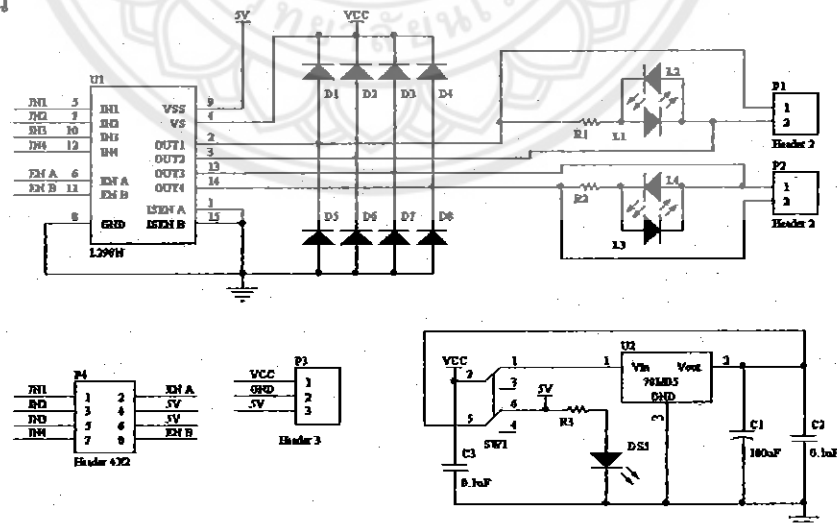
ในส่วนของวงจรภาคจ่ายไฟใช้ IC regulator นามะแลฯ LM7805 ซึ่งทำหน้าที่ปรับแรงดันไฟฟ้าจาก 12 โวลต์ ให้เป็นแรงดันไฟฟ้าคงที่ 5 โวลต์ จากแบตเตอรี่เป็นภาคจ่ายไฟเดี่ยวให้กับวงจรไมโครคอนโทรลเลอร์ เพื่อจ่ายไฟให้กับส่วนต่างๆ ของหุ่นยนต์รถ



รูปที่ 3.6 วงจรภาคจ่ายไฟ

3.3.2 วงจรส่วนส่วนควบคุมการเคลื่อนที่

ในส่วนของวงจรขับเคลื่อนจะใช้วงจร L298N ซึ่งในวงจรรวม 1 ตัว สามารถขับเคลื่อนมอเตอร์ได้ 2 ตัว ดังนี้



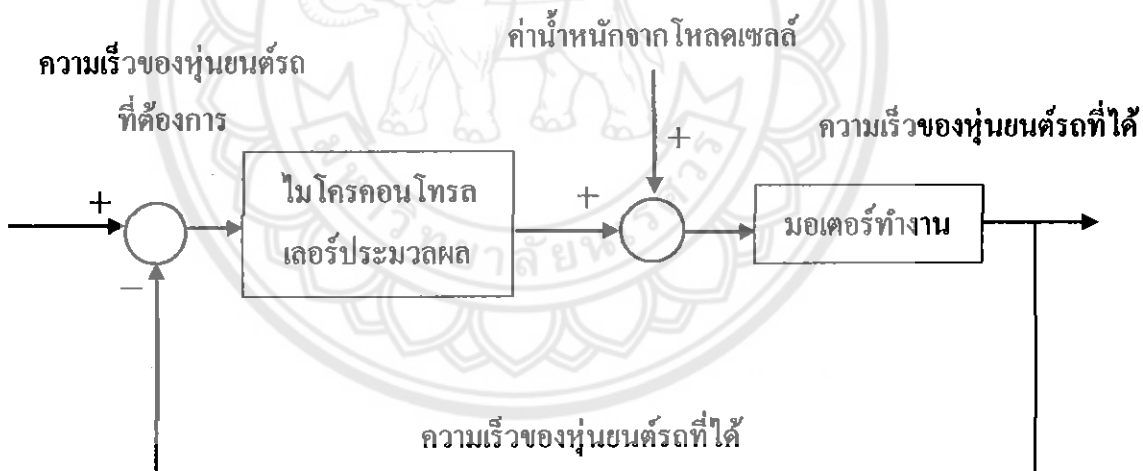
รูปที่ 3.7 วงจรขับมอเตอร์โดยวงจรรวมเบอร์ L298N



จากรูปที่ 3.7 เป็นรูปแสดงการขั้นตอนเตอร์โดยใช้วงจรรวมเบอร์ L298N ซึ่งมีแหล่งจ่ายไฟกระแสตรงแรงดัน 12 โวลต์ จ่ายไฟให้กับมอเตอร์ทั้ง 2 ตัว และใช้วงจรรวมเบอร์ LM78M05 เพื่อรักษาระดับแรงดัน 5 โวลต์ จ่ายเป็นไฟเลี้ยงให้กับวงจรรวมขั้นตอนเตอร์เบอร์ L298N โดยป้อนอินพุตที่ IN1,IN2,IN3,IN4 เพื่อกำหนดทิศทางการหมุนของมอเตอร์ทั้ง 2 ตัวและให้ขา En A และ En B เป็นล็อกิก “1” เพื่อให้มอเตอร์ทำงาน
๑.๗๑๖๑๔๓

3.3.3 วงจรส่วนควบคุมสัญญาณป้อนกลับ

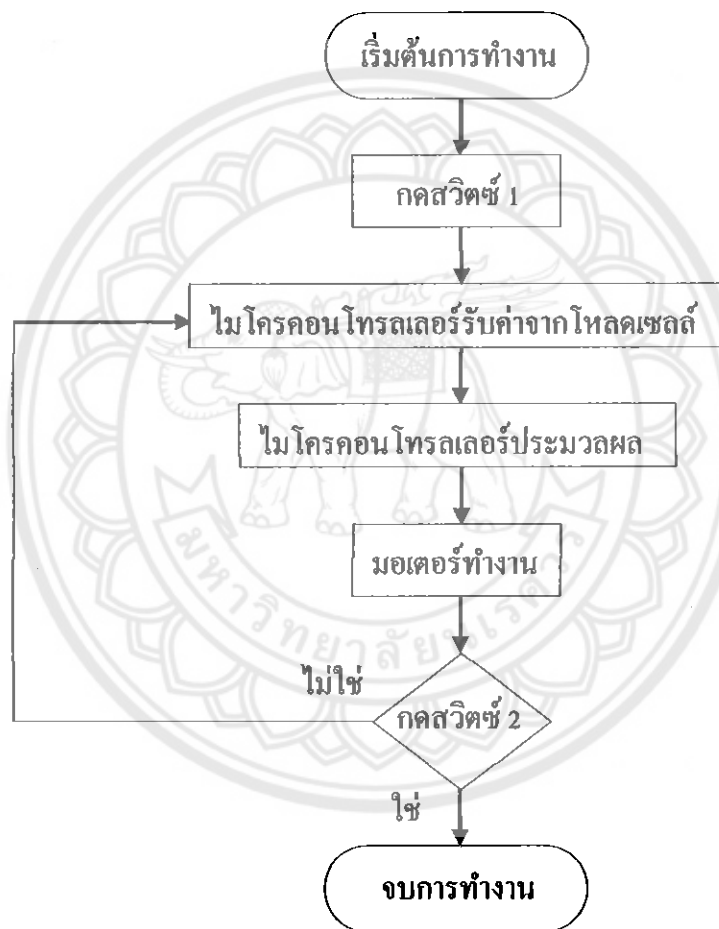
เป็นระบบควบคุมแบบป้อนกลับ โดยเริ่มจากการป้อนค่าอินพุต คือ ความเร็วของหุ่นยนต์รถที่ต้องการ จากนั้นในโครงคอนโทรลเลอร์จะทำการประมวลผลค่าความเร็วและส่งสัญญาณพัสดุไปยังชุดขั้นตอนเตอร์ เพื่อให้หุ่นยนต์รถเคลื่อนที่ ได้ เอาท์พุตของระบบเป็นความเร็วของหุ่นยนต์รถที่ได้ แต่ถ้าไส้น้ำหนักระหว่างที่หุ่นยนต์รถกำลังเคลื่อนที่ หุ่นยนต์รถจะมีความเร็วลดลง โดยความเร็วที่ลดลงนี้จะถูกป้อนกลับไปยังในโครงคอนโทรลเลอร์เพื่อประมวลผลความคลาดเคลื่อนของความเร็ว จนกระทั่งความคลาดเคลื่อนเป็นศูนย์ นั่นหมายความว่ากระบวนการทำงานสมบูรณ์ ดังรูป 3.8



รูปที่ 3.8 ภาพแสดงระบบควบคุมแบบป้อนกลับของตัวควบคุม

3.4 ขั้นตอนการทำงานของหุ่นยนต์รถ

ขั้นตอนการทำงานของหุ่นยนต์รถจะมีการทำงานตามแผนภาพที่แสดงดัง รูปที่ 3.9 จากภาพแสดงให้เห็นว่า เมื่อหุ่นยนต์รถเริ่มต้นการทำงาน โดยทำการกดสวิตช์ 1 ในโครคันโทรศัพท์จะรับค่าจากโอลด์เซลล์ งานนี้จะประเมินผลและความคุณความเร็วของหุ่นยนต์รถให้มีขนาดคงที่ กดสวิตช์ 2 งบการทำงาน แต่ถ้ามีหนานกนากำรหากับโอลด์เซลล์ ความเร็วของหุ่นยนต์รถจะช้าลง ในโครคันโทรศัพท์จะประเมินผลและความคุณความเร็วของหุ่นยนต์รถอีกครั้งเพื่อให้หุ่นยนต์รถมีความเร็วคงที่ท่านเดิน



รูปที่ 3.9 แผนภาพแสดงการทำงานของหุ่นยนต์รถ

บทที่ 4

ผลการทดสอบ

จากการศึกษาทฤษฎี หลักการทำงาน และสร้างหุ่นยนต์รถ ในบทนี้จะเป็นการทดสอบการทำงานของหุ่นยนต์รถที่สร้างขึ้น โดยแบ่งการทดสอบออกเป็น 3 หัวข้อ ดังนี้

1. ทดสอบความเร็วในการเคลื่อนที่เมื่อมีการบรรทุกน้ำหนักขนาด 1 - 5 กิโลกรัม
2. ทดสอบความเร็วในการเคลื่อนที่เมื่อความเร็วมีการเปลี่ยนแปลง
3. ทดสอบประสิทธิภาพการรับน้ำหนักของหุ่นยนต์รถ

4.1 ทดสอบความเร็วในการเคลื่อนที่เมื่อมีการบรรทุกน้ำหนักขนาด 1 – 5 กิโลกรัม

ทดสอบความเร็วในการเคลื่อนที่ โดยให้หุ่นยนต์รถเคลื่อนที่ไปข้างหน้าเป็นทางตรงระยะทาง 5 เมตร จากนั้นใส่ก้อนน้ำหนักขนาด 1 กิโลกรัม ถึง 5 กิโลกรัม ดังรูปที่ 4.1 ทำการจับเวลาการเคลื่อนที่ของหุ่นยนต์รถหลังจากใส่ก้อนน้ำหนัก เพื่อการวัดความเร็วที่แม่นยำจึงใช้เซนเซอร์จับความเร็วรอบของมอเตอร์ โดยให้แสดงผลผ่านหลอดไฟแอลอีดี คือ ถ้าไฟดับแสดงว่าความเร็วรอบของมอเตอร์ช้าลง (ไม่คงที่) และถ้าไฟติดแสดงว่าความเร็วรอบของมอเตอร์คงที่ ดังตารางที่ 4.1 4.2 4.3 4.4 และ 4.5 เป็นระยะทาง 15 เมตร ทำการทดสอบความเร็วทั้งหมด 20 ครั้ง เพื่อหาเวลาเฉลี่ยและความเร็วเฉลี่ย ซึ่งในแต่ครั้งที่ทดสอบจะต้องชาร์ตแบตเตอรี่ใหม่แรงดันคงที่ 12 โวลต์



รูปที่ 4.1 ก้อนน้ำหนักขนาด 1 กิโลกรัม จำนวน 5 ก้อน

ตารางที่ 4.1 การทดสอบช่วงเวลาที่ความเร็วกลับนาฬิกที่ 0.91 เมตรต่อวินาที เมื่อบรรทุกน้ำหนักเพิ่ม

1 กิโลกรัม

น้ำหนัก เริ่มต้น (กิโลกรัม)	น้ำหนัก รวม (กิโลกรัม)	ช่วงเวลาที่ความเร็วกลับนาฬิกที่ (วินาที)					ช่วงเวลาที่ ความเร็วกลับนา ฬิกที่เฉลี่ย (วินาที)
		ครั้งที่ 1	ครั้งที่ 2	ครั้งที่ 3	ครั้งที่ 4	ครั้งที่ 5	
0	1	1.86	1.85	1.84	1.86	1.85	1.85
1	2	1.85	1.87	1.85	1.85	1.84	1.85
2	3	1.85	1.88	1.83	1.84	1.86	1.85
3	4	1.87	1.84	1.86	1.85	1.88	1.86
4	5	1.85	1.86	1.85	1.86	1.89	1.86

ตารางที่ 4.2 การทดสอบช่วงเวลาที่ความเร็วกลับนาฬิกที่ 0.91 เมตรต่อวินาที เมื่อบรรทุกน้ำหนักเพิ่ม

2 กิโลกรัม

น้ำหนัก เริ่มต้น (กิโลกรัม)	น้ำหนัก รวม (กิโลกรัม)	ช่วงเวลาที่ความเร็วกลับนาฬิกที่ (วินาที)					ช่วงเวลาที่ ความเร็วกลับนา ฬิกที่เฉลี่ย (วินาที)
		ครั้งที่ 1	ครั้งที่ 2	ครั้งที่ 3	ครั้งที่ 4	ครั้งที่ 5	
0	2	2.19	2.17	2.18	2.20	2.19	2.19
1	3	2.18	2.18	2.16	2.22	2.20	2.19
2	4	2.22	2.20	2.19	2.20	2.17	2.20
3	5	2.18	2.21	2.20	2.22	2.19	2.20

ตารางที่ 4.3 การทดสอบช่วงเวลาที่ความเร็วกลับมากคงที่ 0.91 เมตรต่อวินาที เมื่อบรรทุกน้ำหนักเพิ่ม 3 กิโลกรัม

น้ำหนัก เริ่มต้น (กิโลกรัม)	น้ำหนัก รวม (กิโลกรัม)	ช่วงเวลาที่ความเร็วกลับมากคงที่ (วินาที)					ช่วงเวลาที่ ความเร็วกลับมา คงที่เฉลี่ย (วินาที)
		ครั้งที่ 1	ครั้งที่ 2	ครั้งที่ 3	ครั้งที่ 4	ครั้งที่ 5	
		2.90	2.91	2.94	2.95	2.94	
0	3	2.90	2.91	2.94	2.95	2.94	2.93
1	4	2.93	2.90	2.92	2.91	2.90	2.91
2	5	2.92	2.93	2.90	2.91	2.92	2.92

ตารางที่ 4.4 การทดสอบช่วงเวลาที่ความเร็วกลับมากคงที่ 0.91 เมตรต่อวินาที เมื่อบรรทุกน้ำหนักเพิ่ม 4 กิโลกรัม

น้ำหนัก เริ่มต้น (กิโลกรัม)	น้ำหนัก รวม (กิโลกรัม)	ช่วงเวลาที่ความเร็วกลับมากคงที่ (วินาที)					ช่วงเวลาที่ ความเร็วกลับมา คงที่เฉลี่ย (วินาที)
		ครั้งที่ 1	ครั้งที่ 2	ครั้งที่ 3	ครั้งที่ 4	ครั้งที่ 5	
		3.48	3.51	3.50	3.46	3.49	
0	4	3.48	3.51	3.50	3.46	3.49	3.49
1	5	3.49	3.48	3.52	3.49	3.48	3.49

ตารางที่ 4.5 การทดสอบช่วงเวลาที่ความเร็วลดลงมากที่ 0.91 เมตรต่อวินาที เมื่อบรรทุกน้ำหนักเพิ่ม 5 กิโลกรัม

น้ำหนัก เริ่มต้น (กิโลกรัม)	น้ำหนัก รวม (กิโลกรัม)	ช่วงเวลาที่ความเร็วลดลงมากที่ (วินาที)					ช่วงเวลาที่ ความเร็วลดลงมา กงที่เฉลี่ย (วินาที)
		ครั้งที่ 1	ครั้งที่ 2	ครั้งที่ 3	ครั้งที่ 4	ครั้งที่ 5	
0	5	4.01	3.99	4.03	4.02	4.04	4.02

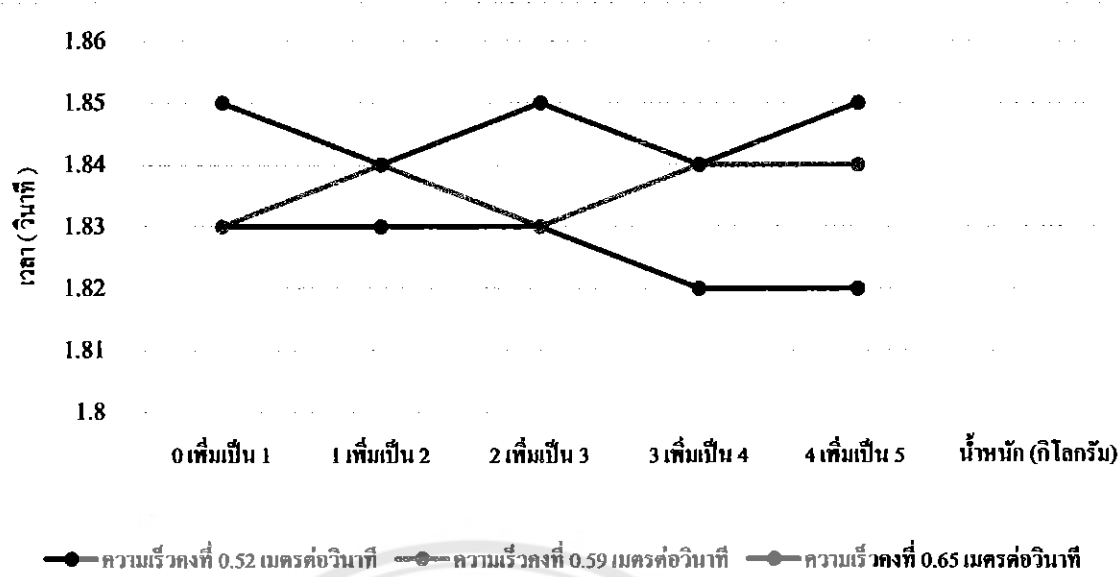
จากตารางที่ 4.1 ถึง 4.5 พบว่า หุ่นยนต์รถมีการเคลื่อนที่ด้วยความเร็วสูงสุดคงที่ 0.91 เมตรต่อวินาที แม้จะเพิ่มน้ำหนัก 1 2 3 4 และ 5 กิโลกรัม ความเร็วของหุ่นยนต์รถขึ้นคงที่ 0.91 เมตรต่อวินาที โดยช่วงเวลาที่ความเร็วลดลงมากที่ของแต่ละการเพิ่มน้ำหนักจะอยู่ในช่วง 1.8 ถึง 4 วินาที

4.2 ทดสอบความเร็วในการเคลื่อนที่เมื่อความเร็วมีการเปลี่ยนแปลง

ทดสอบความเร็วในการเคลื่อนที่ โดยเดือดความเร็วของหุ่นยนต์รถมาใช้งาน 3 ระดับ คือ 0.52 0.59 และ 0.65 เมตรต่อวินาที ตามลำดับ ทำการทดสอบช้าเหมือนในหัวข้อ 4.1 เริ่มจับเวลาของการเคลื่อนที่ของหุ่นยนต์รถ (บรรทุกน้ำหนัก) หลังจากช่วงเวลาที่มอเตอร์ลดลงมาทำงานคงที่ ดังตารางที่ 4.6 4.7 4.8 4.9 และ 4.10 เป็นระยะทาง 15 เมตร ทำการทดสอบความเร็วทั้งหมด 20 ครั้ง เพื่อหาเวลาเฉลี่ยและความเร็วเฉลี่ย ซึ่งในแต่ครั้งที่ทดสอบจะต้องหารด้วยตัวอิสระให้มีแรงดันคงที่ 12 โวลต์

**ตารางที่ 4.6 การทดสอบช่วงเวลาที่ความเร็วลดลงมากที่เมื่อบรรทุกน้ำหนักเพิ่ม 1 กิโลกรัมของ
ความเร็วทั้ง 3 ระดับ**

น้ำหนัก เริ่มต้น (กิโลกรัม)	น้ำหนัก รวม (กิโลกรัม)	ช่วงเวลาที่ความเร็วลดลงมากที่ (วินาที)					ช่วงเวลาที่ ความเร็วลดลงมา งที่เฉลี่ย (วินาที)
		ครั้งที่ 1	ครั้งที่ 2	ครั้งที่ 3	ครั้งที่ 4	ครั้งที่ 5	
ความเร็วคงที่ 0.52 เมตรต่อวินาที							
0	1	1.82	1.81	1.83	1.83	1.84	1.83
1	2	1.84	1.82	1.80	1.84	1.83	1.83
2	3	1.81	1.83	1.84	1.84	1.82	1.83
3	4	1.82	1.83	1.80	1.82	1.81	1.82
4	5	1.83	1.82	1.82	1.80	1.81	1.82
ความเร็วคงที่ 0.59 เมตรต่อวินาที							
0	1	1.82	1.85	1.86	1.80	1.81	1.83
1	2	1.85	1.84	1.83	1.86	1.82	1.84
2	3	1.79	1.78	1.83	1.85	1.83	1.83
3	4	1.85	1.82	1.86	1.83	1.86	1.84
4	5	1.83	1.86	1.84	1.85	1.84	1.84
ความเร็วคงที่ 0.65 เมตรต่อวินาที							
0	1	1.83	1.85	1.84	1.86	1.85	1.85
1	2	1.85	1.84	1.85	1.83	1.84	1.84
2	3	1.85	1.86	1.83	1.84	1.86	1.85
3	4	1.84	1.83	1.86	1.85	1.84	1.84
4	5	1.83	1.84	1.85	1.86	1.86	1.85

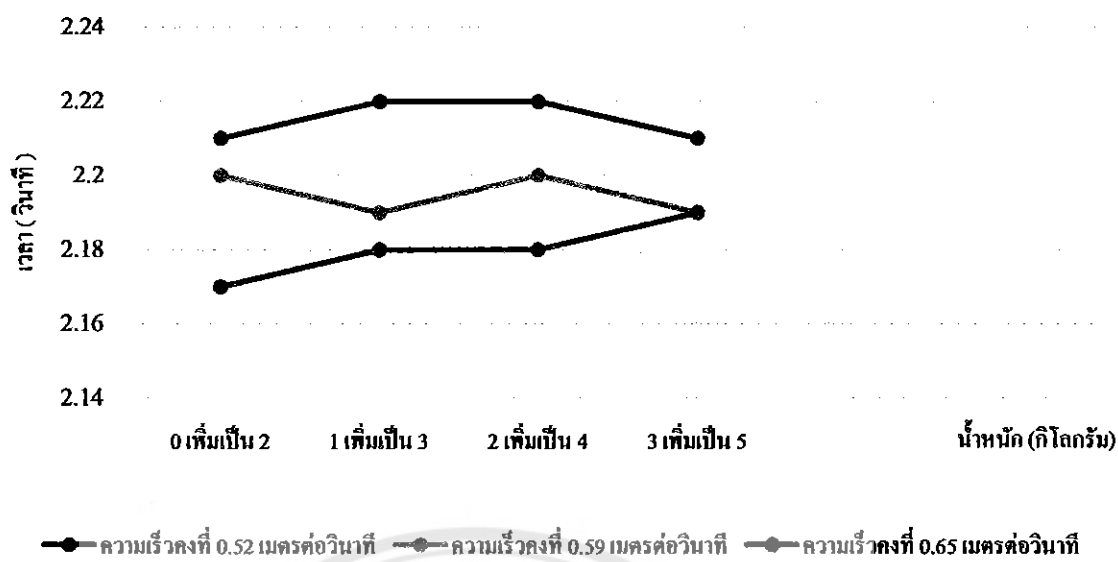


**รูปที่ 4.2 กราฟแสดงช่วงเวลาที่ความเร็วกลับมาคงที่เมื่อบรรทุกน้ำหนักเพิ่ม 1 กิโลกรัม
ของความเร็วทั้ง 3 ระดับ**

จากราฟแสดงช่วงเวลาที่ความเร็วกลับมาคงที่เมื่อบรรทุกน้ำหนักที่ละ 1 กิโลกรัมของความเร็วทั้ง 3 ระดับ สามารถสรุปได้ว่า หุ่นยนต์รถสามารถเคลื่อนที่ด้วยความเร็วคงที่ 0.52 0.59 และ 0.65 เมตรต่อวินาที แม้จะเพิ่มน้ำหนัก 1 กิโลกรัม ความเร็วของหุ่นยนต์รถยังคงที่ 0.52 0.59 และ 0.65 เมตรต่อวินาทีโดยช่วงเวลาที่ความเร็วกลับมาคงที่ของการเพิ่มปริมาณน้ำหนักจะอยู่ในช่วง 1.82 ถึง 1.85 วินาที

**ตารางที่ 4.7 การทดสอบช่วงเวลาที่ความเร็วกลับนาฬิกาที่เมื่อบรรทุกน้ำหนักเพิ่ม 2 กิโลกรัมของ
ความเร็วทั้ง 3 ระดับ**

น้ำหนัก เริ่มต้น (กิโลกรัม)	น้ำหนัก รวม (กิโลกรัม)	ช่วงเวลาที่ความเร็วกลับนาฬิกาที่ (วินาที)					ช่วงเวลาที่ ความเร็วกลับนา ฬิกาที่เปลี่ยน (วินาที)
		ครั้งที่ 1	ครั้งที่ 2	ครั้งที่ 3	ครั้งที่ 4	ครั้งที่ 5	
ความเร็วคงที่ 0.52 เมตรต่อวินาที							
0	2	2.22	2.19	2.21	2.22	2.23	2.21
1	3	2.23	2.21	2.23	2.29	2.22	2.22
2	4	2.22	2.21	2.22	2.23	2.22	2.22
3	5	2.23	2.22	2.20	2.19	2.21	2.21
ความเร็วคงที่ 0.59 เมตรต่อวินาที							
0	2	2.18	2.21	2.22	2.18	2.23	2.20
1	3	2.21	2.20	2.19	2.19	2.18	2.19
2	4	2.20	2.19	2.19	2.21	2.22	2.20
3	5	2.21	2.17	2.22	2.19	2.18	2.19
ความเร็วคงที่ 0.65 เมตรต่อวินาที							
0	2	2.15	2.17	2.16	2.18	2.19	2.17
1	3	2.19	2.17	2.16	2.19	2.2	2.18
2	4	2.18	2.19	2.17	2.20	2.18	2.18
3	5	2.17	2.21	2.20	2.18	2.19	2.19

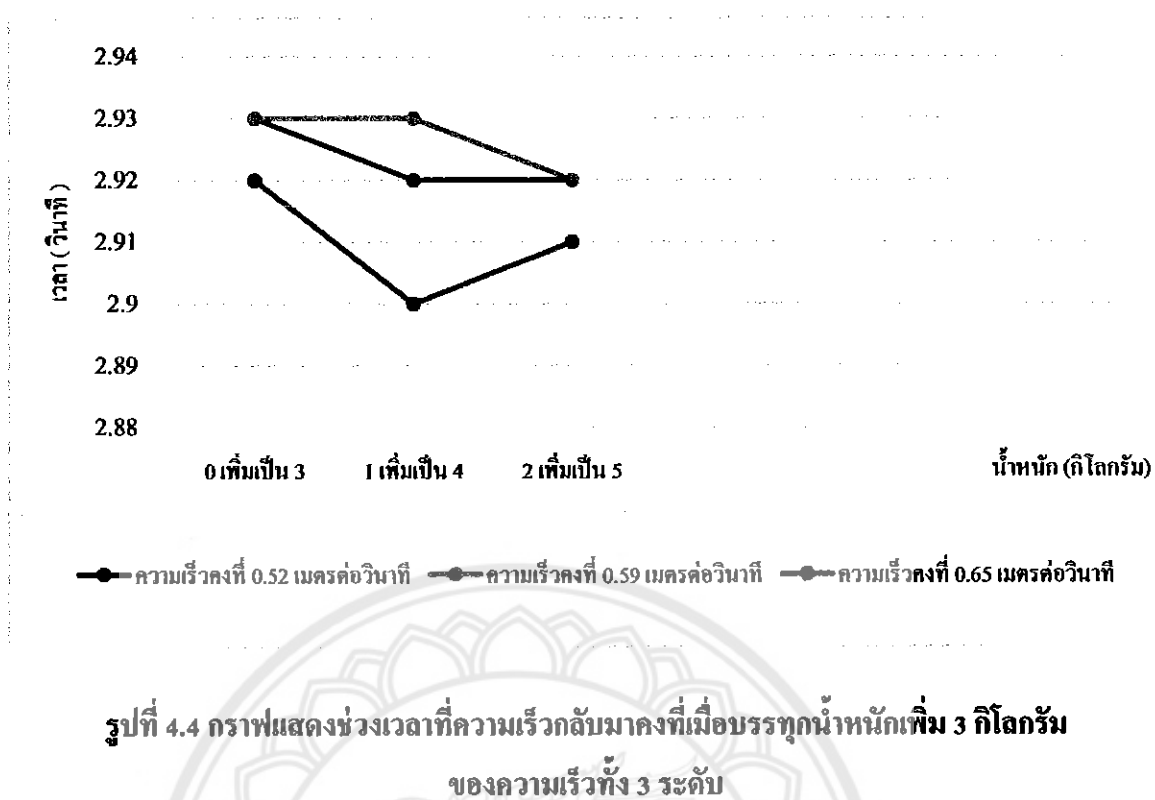


**รูปที่ 4.3 กราฟแสดงช่วงเวลาที่ความเร็วลับนาคงที่เมื่อบรรทุกน้ำหนักเพิ่ม 2 กิโลกรัม
ของความเร็วทั้ง 3 ระดับ**

จากกราฟแสดงช่วงเวลาที่ความเร็วลับนาคงที่เมื่อบรรทุกน้ำหนักที่ละ 2 กิโลกรัมของความเร็วทั้ง 3 ระดับ สามารถสรุปได้ว่า หุ่นยนต์รถสามารถเดินที่ค่าวบความเร็วคงที่ 0.52, 0.59 และ 0.65 เมตรต่อวินาทีแม้จะเพิ่มน้ำหนัก 2 กิโลกรัม ความเร็วของหุ่นยนต์รถยังคงที่ 0.52, 0.59 และ 0.65 เมตรต่อวินาทีโดยช่วงเวลาที่ความเร็วลับนาคงที่ของการเพิ่มปริมาณน้ำหนักจะอยู่ในช่วง 2.17 ถึง 2.20 วินาที

**ตารางที่ 4.8 การทดสอบช่วงเวลาที่ความเร็วคลับมากที่เมื่อบรรทุกน้ำหนักเพิ่ม 3 กิโลกรัมของ
ความเร็วทั้ง 3 ระดับ**

น้ำหนัก เริ่มต้น (กิโลกรัม)	น้ำหนัก รวม (กิโลกรัม)	ช่วงเวลาที่ความเร็วคลับมากที่ (วินาที)					ช่วงเวลาที่ ความเร็วคลับมาก คงที่เฉลี่ย (วินาที)
		ครั้งที่ 1	ครั้งที่ 2	ครั้งที่ 3	ครั้งที่ 4	ครั้งที่ 5	
ความเร็วคงที่ 0.52 เมตรต่อวินาที							
0	3	2.95	2.93	2.92	2.93	2.94	2.93
1	4	2.91	2.93	2.94	2.92	2.90	2.92
2	5	2.89	2.91	2.95	2.93	2.94	2.92
ความเร็วคงที่ 0.59 เมตรต่อวินาที							
0	3	2.91	2.93	2.95	2.92	2.93	2.93
1	4	2.95	2.94	2.91	2.92	2.92	2.93
2	5	2.92	2.93	2.89	2.92	2.93	2.92
ความเร็วคงที่ 0.65 เมตรต่อวินาที							
0	3	2.89	2.93	2.94	2.92	2.94	2.92
1	4	2.89	2.90	2.92	2.91	2.90	2.90
2	5	2.90	2.93	2.92	2.89	2.92	2.91

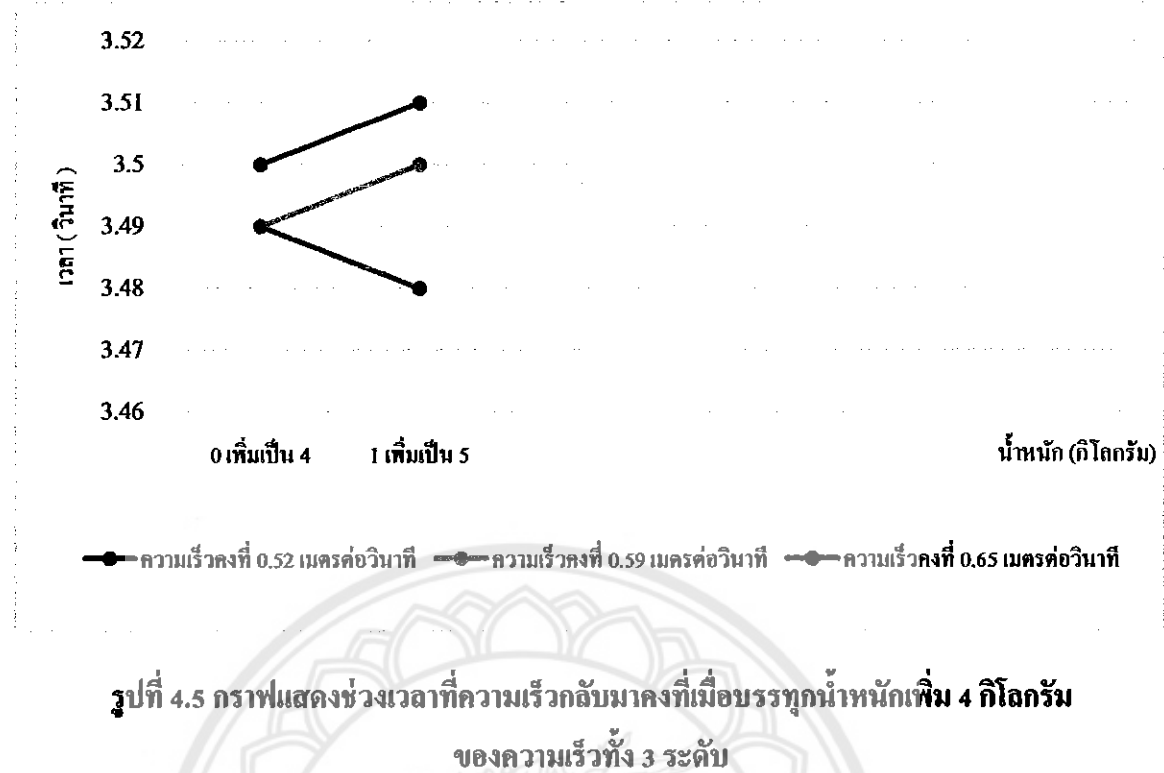


**รูปที่ 4.4 กราฟแสดงช่วงเวลาที่ความเร็วกลับนาคังที่เมื่อบรรทุกน้ำหนักเพิ่ม 3 กิโลกรัม
ของความเร็วทั้ง 3 ระดับ**

จากกราฟแสดงช่วงเวลาที่ความเร็วกลับนาคังที่เมื่อบรรทุกน้ำหนักที่ละ 3 กิโลกรัมของความเร็วทั้ง 3 ระดับ สามารถสรุปได้ว่า หุ่นยนต์รถสามารถเคลื่อนที่ด้วยความเร็วคงที่ 0.52 0.59 และ 0.65 เมตรต่อวินาทีเมื่อเพิ่มน้ำหนัก 3 กิโลกรัม ความเร็วของหุ่นยนต์รถบังคับที่ 0.52 0.59 และ 0.65 เมตรต่อวินาทีโดยช่วงเวลาที่ความเร็วกลับนาคังที่ของ การเพิ่มปริมาณน้ำหนักจะอยู่ในช่วง 2.90 ถึง 2.93 วินาที

**ตารางที่ 4.9 การทดสอบช่วงเวลาที่ความเร็วคลัมมาคงที่เมื่อบรรทุกน้ำหนักเพิ่ม 4 กิโลกรัมของ
ความเร็วทั้ง 3 ระดับ**

น้ำหนัก เริ่มต้น (กิโลกรัม)	น้ำหนัก รวม (กิโลกรัม)	ช่วงเวลาที่ความเร็วคลัมมาคงที่ (วินาที)					ช่วงเวลาที่ ความเร็วคลัมมา คงที่เฉลี่ย (วินาที)
		ครั้งที่ 1	ครั้งที่ 2	ครั้งที่ 3	ครั้งที่ 4	ครั้งที่ 5	
ความเร็วคงที่ 0.52 เมตรต่อวินาที							
0	4	3.49	3.48	3.53	3.52	3.50	3.50
1	5	3.53	3.51	3.49	3.50	3.52	3.51
ความเร็วคงที่ 0.59 เมตรต่อวินาที							
0	4	3.48	3.47	3.49	3.52	3.51	3.49
1	5	3.52	3.50	3.47	3.47	3.48	3.50
ความเร็วคงที่ 0.65 เมตรต่อวินาที							
0	4	3.50	3.50	3.48	3.46	3.49	3.49
1	5	3.49	3.47	3.46	3.49	3.48	3.48



รูปที่ 4.5 กราฟแสดงช่วงเวลาที่ความเชื่อมั่นมากที่เมื่อบรรทุกหน้าที่เพิ่ม 4 กิโลกรัม
ของความเร็วทั้ง 3 ระดับ

จากการแสดงช่วงเวลาที่ความเชื่อมั่นมากที่เมื่อบรรทุกหน้าที่เพิ่ม 4 กิโลกรัมของความเร็วทั้ง 3 ระดับ พบว่า สามารถสรุปได้ว่า ทุนยนต์รถสามารถเคลื่อนที่ด้วยความเร็วคงที่ 0.52 0.59 และ 0.65 เมตรต่อวินาที แม้จะเพิ่มน้ำหนัก 4 กิโลกรัม ความเร็วของทุนยนต์รถยังคงที่ 0.52 0.59 และ 0.65 เมตรต่อวินาที โดยช่วงเวลาที่ความเชื่อมั่นมากที่ของเพิ่มปริมาณน้ำหนักจะอยู่ในช่วง 3.48 ถึง 3.51 วินาที

**ตารางที่ 4.10 การทดสอบช่วงเวลาที่ความเร็วกลับมาคงที่เมื่อบรรทุกน้ำหนักเพิ่ม 5 กิโลกรัม
ของความเร็วทั้ง 3 ระดับ**

น้ำหนัก เริ่มต้น (กิโลกรัม)	น้ำหนัก รวม (กิโลกรัม)	ช่วงเวลาที่ความเร็วกลับมาคงที่ (วินาที)					ช่วงเวลาที่ ความเร็วกลับมา ^{คงที่เฉลี่ย} (วินาที)	
		ครั้งที่ 1	ครั้งที่ 2	ครั้งที่ 3	ครั้งที่ 4	ครั้งที่ 5		
ความเร็วคงที่ 0.52 เมตรต่อวินาที								
0	5	4.02	4.03	3.99	4.03	4.01	4.02	
ความเร็วคงที่ 0.59 เมตรต่อวินาที								
0	5	4.04	4.03	4.02	4.05	4.04	4.03	
ความเร็วคงที่ 0.65 เมตรต่อวินาที								
0	5	4.04	4.04	4.03	4.06	4.05	4.04	



—●— ความเร็วคงที่ 0.52 เมตรต่อวินาที —○— ความเร็วคงที่ 0.59 เมตรต่อวินาที —■— ความเร็วคงที่ 0.65 เมตรต่อวินาที

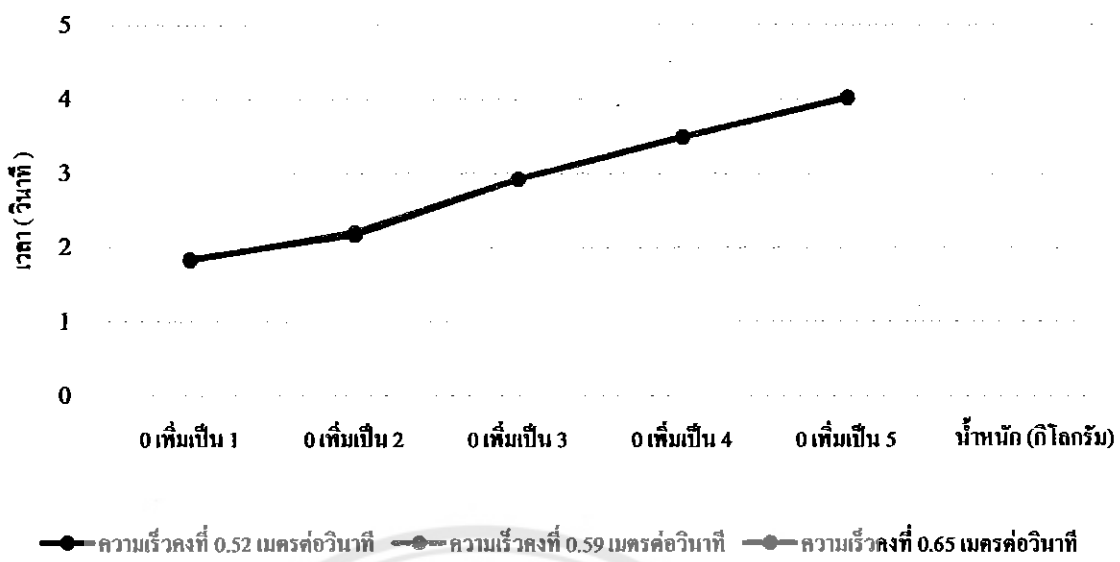
**รูปที่ 4.6 กราฟแสดงช่วงเวลาที่ความเร็วกลับมาคงที่เมื่อบรรทุกน้ำหนักเพิ่ม 5 กิโลกรัม
ของความเร็วทั้ง 3 ระดับ**

จากกราฟแสดงช่วงเวลาที่ความเร็วกลับมาคงที่เมื่อบรรทุกน้ำหนักที่ละ 5 กิโลกรัมของความเร็วทั้ง 3 ระดับ สามารถสรุปได้ว่า หุ่นยนต์รถสามารถเคลื่อนที่ด้วยความเร็วคงที่ 0.52, 0.59 และ

0.65 เมตรต่อวินาทีแม้จะเพิ่มน้ำหนัก 5 กิโลกรัม ความเร็วของหุนยนต์รถยังคงที่ 0.52 0.59 และ 0.65 เมตรต่อวินาที โดยช่วงเวลาที่ความเร็วกลับมากองที่ของ การเพิ่มปริมาณน้ำหนักจะอยู่ในช่วง 4.02 ถึง 4.04 วินาที

**ตารางที่ 4.11 การทดสอบช่วงเวลาที่ความเร็วกลับมากองที่เมื่อบรรทุกน้ำหนักของความเร็ว
ทั้ง 3 ระดับ**

น้ำหนัก เริ่มต้น (กิโลกรัม)	น้ำหนัก รวม (กิโลกรัม)	ช่วงเวลาที่ความเร็วกลับมากองที่ (วินาที)					ช่วงเวลาที่ ความเร็วกลับมา กองที่เฉลี่ย (วินาที)
		ครั้งที่ 1	ครั้งที่ 2	ครั้งที่ 3	ครั้งที่ 4	ครั้งที่ 5	
ความเร็วคงที่ 0.52 เมตรต่อวินาที							
0	1	1.82	1.81	1.83	1.83	1.84	1.83
0	2	2.22	2.19	2.21	2.22	2.23	2.21
0	3	2.95	2.93	2.92	2.93	2.94	2.93
0	4	3.49	3.48	3.53	3.52	3.50	3.50
0	5	4.02	4.03	3.99	4.03	4.01	4.02
ความเร็วคงที่ 0.59 เมตรต่อวินาที							
0	1	1.82	1.85	1.86	1.80	1.81	1.83
0	2	2.18	2.21	2.22	2.18	2.23	2.20
0	3	2.91	2.93	2.95	2.92	2.93	2.93
0	4	3.48	3.47	3.49	3.52	3.51	3.49
0	5	4.04	4.03	4.02	4.05	4.04	4.03
ความเร็วคงที่ 0.65 เมตรต่อวินาที							
0	1	1.83	1.85	1.84	1.86	1.85	1.85
0	2	2.15	2.17	2.16	2.18	2.19	2.17
0	3	2.89	2.93	2.94	2.92	2.94	2.92
0	4	3.50	3.50	3.48	3.46	3.49	3.49
0	5	4.01	3.99	4.03	4.02	4.04	4.02



รูปที่ 4.7 กราฟแสดงช่วงเวลาที่ความเร็วกลับมาคงที่เมื่อบรรทุกน้ำหนักของความเร็วทั้ง 3 ระดับ

ของความเร็วทั้ง 3 ระดับ

จากราฟแสดงช่วงเวลาที่ความเร็วกลับมาคงที่เมื่อบรรทุกน้ำหนักของความเร็วทั้ง 3 ระดับ พบว่า สามารถสรุปได้ว่า หุ่นยนต์รถสามารถเดลิ่อนที่ด้วยความเร็วคงที่ 0.52 0.59 และ 0.65 เมตรต่อวินาที แม้จะเพิ่มน้ำหนักความเร็วของหุ่นยนต์รถยังคงที่ 0.52 0.59 และ 0.65 เมตรต่อวินาที โดยช่วงเวลาที่ความเร็วกลับมาคงที่ของการเพิ่มปริมาณน้ำหนักจะอยู่ในช่วง 1.9 ถึง 4 วินาที

4.3 ทดสอบประสิทธิภาพการรับน้ำหนักของหุ่นยนต์รถ

ทดสอบประสิทธิภาพของหุ่นยนต์รถ โดยให้หุ่นยนต์รถบรรทุกน้ำหนัก 1 กิโลกรัม ถึง 7 กิโลกรัม เดลิ่อนที่ไปข้างหน้าเป็นทางตรง ซึ่งในแต่ครั้งที่ทดสอบจะต้องชาร์ตแบตเตอรี่ให้มีแรงดัน 12 โวลต์ เพื่อที่จะทดสอบว่าหุ่นยนต์รถสามารถรับน้ำหนักและเคลื่อนที่ได้

ตารางที่ 4.12 การทดสอบประสิทธิภาพของหุ่นยนต์รับเมื่อบรรทุกน้ำหนัก

ขนาดน้ำหนักที่ บรรทุก (กิโลกรัม)	การทดสอบประสิทธิภาพ				
	ครั้งที่ 1	ครั้งที่ 2	ครั้งที่ 3	ครั้งที่ 4	ครั้งที่ 5
1	✓	✓	✓	✓	✓
2	✓	✓	✓	✓	✓
3	✓	✓	✓	✓	✓
4	✓	✓	✓	✓	✓
5	✓	✓	✓	✓	✓
6	✓	✓	✓	✓	✓
7	✗	✗	✗	✗	✗

หมายเหตุ: เครื่องหมาย ✓ หมายถึง รับน้ำหนักได้และเคลื่อนที่ได้ ✗ หมายถึง รับน้ำหนักไม่ได้และเคลื่อนที่ไม่ได้

จากตารางการทดสอบประสิทธิภาพของหุ่นยนต์รับเมื่อบรรทุกน้ำหนัก จะพบว่า เมื่อใส่น้ำหนักตั้งแต่ 1 กิโลกรัม ถึง 6 กิโลกรัม หุ่นยนต์สามารถรับน้ำหนักและเคลื่อนที่ได้ แต่เมื่อใส่น้ำหนัก 7 กิโลกรัม หุ่นยนต์รับไม่สามารถรับน้ำหนักและเคลื่อนที่ได้

ดังนั้น สรุปได้ว่าประสิทธิภาพในการรับน้ำหนักของหุ่นยนต์รถ จะรับน้ำหนักได้สูงสุด 6 กิโลกรัม

บทที่ 5

สรุปผลและข้อเสนอแนะ

จากการศึกษาทฤษฎี ออกแบบ สร้างหุ่นยนต์รถ และทำการทดสอบหุ่นยนต์รถ โดยใช้ระยะเวลาดำเนินโครงการ 2 ภาคการศึกษา ทำให้ทราบถึงปัญหาที่เกิดขึ้น ในบทนี้จะเป็นการสรุปผล การทดลองในโครงการ ปัญหา และแนวทางการแก้ไขปัญหา พร้อมทั้งเสนอแนะแนวทางในการทำโครงการนี้เพื่อพัฒนาให้มีประสิทธิภาพยิ่งขึ้นต่อไป

5.1 สรุปผลการดำเนินโครงการ

โครงการนี้จัดทำขึ้นเพื่อสร้างหุ่นยนต์รถที่สามารถควบคุมความเร็วให้มีขนาดคงที่เมื่อมีการเปลี่ยนแปลงของโหลด เพื่อให้สามารถนำไปประยุกต์ใช้กับการเคลื่อนย้ายสินค้าในโรงงานหรือคลังสินค้า เพื่อประหยัดเวลา ค่าใช้จ่ายและแรงงานคนในการทำงาน

เมื่อทำการทดสอบความสามารถของหุ่นยนต์รถเบ่งเบี่ยง ความเร็วของหุ่นยนต์รถเมื่อบรรทุกน้ำหนัก 1 – 5 กิโลกรัม ความเร็วของหุ่นยนต์รถเมื่อความเร็วเปลี่ยนแปลง และประสิทธิภาพของหุ่นยนต์รถเมื่อบรรทุกน้ำหนัก ทำให้สรุปได้ว่า หุ่นยนต์รถที่สร้างขึ้นสามารถควบคุมความเร็วให้มีขนาดคงที่ 0.91 เมตรต่อวินาที ซึ่งถ้าบรรทุกน้ำหนักตั้งแต่ 1 กิโลกรัม ไปจนถึง 5 กิโลกรัม หุ่นยนต์รถก็ยังสามารถเคลื่อนที่ได้ด้วยความเร็วคงที่ประมาณ 0.91 เมตรต่อวินาที ซึ่งการทดสอบบังพนช้อพิเศษในการทำงาน ดังนั้นจึงมีการศึกษาแนวทางการพัฒนาเพื่อให้ได้หุ่นยนต์รถที่สามารถควบคุมความเร็วให้มีขนาดคงที่เมื่อมีการเปลี่ยนแปลงของโหลด ให้มีประสิทธิภาพในการใช้งานจริงต่อไป

5.2 ปัญหาและข้อเสนอแนะ

จากการออกแบบ สร้าง และทำการทดสอบความสามารถของหุ่นยนต์รถ ทำให้พบปัญหาดังต่อไปนี้

1. วัสดุที่ใช้ทำโครงสร้างของหุ่นยนต์ไม่สามารถหัววัสดุที่มีน้ำหนักเบาและแข็งแรงได้ จึงจำเป็นต้องใช้อะคริลิกและแผ่นอะลูมิเนียมมาประยุกต์ใช้งานทำให้โครงสร้างของหุ่นยนต์มีน้ำหนักพอสมควร

2. เนื่องจากลักษณะของหุ่นยนต์รถมีข้อจำกัดในการวิ่ง คือ ต้องวิ่งบนพื้นเรียบเพื่อประสิทธิภาพในการวิ่ง จึงต้องทำการเปลี่ยนล้อให้เหมาะสมกับทุกสภาพพื้นผิว

3. เนื่องจากหุ่นยนต์รถสามารถรับน้ำหนักได้ไม่มาก จึงต้องทำการเปลี่ยนกล่องที่บรรทุกน้ำหนัก รวมทั้งโครงสร้างของหุ่นยนต์รถและมอเตอร์กระแสตรง เพื่อให้เหมาะสมกับน้ำหนักที่บรรทุก

4. เมื่องจากหุ่นยนต์รถใช้สวิตช์เปิด-ปิด ทำให้หุ่นยนต์รถหยุดเคลื่อนที่ได้ลำบาก จึงต้องทำการปรับเปลี่ยนสวิตช์ให้เป็นแบบหยุดอัตโนมัติหรือใช้รีโมทแทนการกดหยุดที่สวิตช์โดยตรง

5.3 แนวทางในการพัฒนา

จากปัญหาที่พบในการสร้างหุ่นยนต์รถ ส่งผลให้ประสิทธิภาพในการทำงานของหุ่นยนต์รถลดน้อยลง จึงต้องศึกษาแนวทางในการแก้ปัญหาที่เกิดขึ้น เพื่อนำไปสู่แนวทางในการพัฒนาหุ่นยนต์รถให้มีประสิทธิภาพสูงขึ้น

หุ่นยนต์รถที่สร้างขึ้นมีน้ำหนักค่อนข้างมาก รวมถึงแบตเตอรี่ขนาด 12 โวลต์ ที่นำมาใช้ก็มีน้ำหนักมาก ดังนั้นจึงควรปรับปรุงขนาดให้เล็กลง โดยเลือกใช้วัสดุที่แข็งแรง น้ำหนักเบา และเลือกใช้แบตเตอรี่ที่มีน้ำหนักเบา ทนทาน อาบุกการใช้งานสูง เพื่อประสิทธิภาพที่ดีของหุ่นยนต์รถ ทั้งนี้อาจจะพัฒนาให้หุ่นยนต์รถเคลื่อนที่ได้มากขึ้น นั่นคือ การเพิ่มน้ำหนักของหุ่นยนต์รถ ทั้งน้ำหนักของหุ่นยนต์รถและแบตเตอรี่ ให้เท่ากัน ซึ่งจะช่วยให้หุ่นยนต์รถเคลื่อนที่ได้เร็วขึ้น แต่ต้องคำนึงถึงความเสี่ยงของการชนและการตกหัวใจ ดังนั้น ต้องหาวิธีการลดความเสี่ยงเหล่านี้ อย่างเช่น การออกแบบโครงสร้างที่มีความคงทน แข็งแรง และสามารถรองรับน้ำหนักได้ดี รวมถึงการฝึกหัดการขับขี่อย่างระมัดระวัง ตลอดจนการตรวจสอบและบำรุงรักษาอย่างสม่ำเสมอ

เอกสารอ้างอิง

- [1] Arduino UnoBoard “Overview arduinouno R3”, สืบค้นเมื่อ ตุลาคม 2558 จาก <http://arduino.cc/en/Main/arduinoBoardUno>.
- [2] บริษัท วีนัสซัพเพลย์ จำกัด, “การใช้งาน Character LCD Display กับ Arduino”, สืบค้นเมื่อ ตุลาคม 2558 จาก [http://thaieeasyelec.com/article-wiki/review-product-article](http://thaieasyelec.com/article-wiki/review-product-article)
- [3] <http://www.thaieeasyelec.com/>, สืบค้นเมื่อ ตุลาคม 2558
- [4] ไซชราุ หินเกิด “เครื่องกลไฟฟ้า 1”, บริษัทประชาชน, กรุงเทพฯ, 2558
- [5] <http://www.ps-thai.org>, สืบค้นเมื่อ กันยายน 2558.
- [6] <http://www.patscale.com>, สืบค้นเมื่อ ตุลาคม 2558.
- [7] ช่องมอเตอร์.com/การทำงานของมอเตอร์, สืบค้นเมื่อ กันยายน 2558.
- [8] Muhammad H. Rashid “Power Electronics Circuits, Devices and Applications”, Pearson Education, Inc., Third Edition, 2004.
- [9] <http://www.lpc.rmutl.ac.th/elcen/elearning/motorcontrol/module2/symbole.html>, สืบค้นเมื่อ กันยายน 2558
- [10] <http://fonengineering.com/our-products/19-limit-switch.html>, สืบค้นเมื่อ กันยายน 2558
- [11] <http://epautomation.blogspot.com/2011/11/blog-post.html>, สืบค้นเมื่อ กันยายน 2558

ภาคนวัก ก

รายละเอียดข้อมูลของ ATmega328P

มหาวิทยาลัยนเรศวร

Features

- High Performance, Low Power AVR® 8-BIT Microcontroller
- Advanced RISC Architecture
 - 131 Powerful Instructions – Most Single Clock Cycle Execution
 - 32 x 8 General Purpose Working Registers
 - Fully Static Operation
 - Up to 20 MIPS Throughput at 20 MHz
 - On-chip 2-cycle Multiplier
- High Endurance Non-volatile Memory Segments
 - 4/8/16/32K Bytes of In-System Self-Programmable Flash program memory (ATmega48PA/88PA/168PA/328P)
 - 256/512/1K Bytes EEPROM (ATmega48PA/88PA/168PA/328P)
 - 512/1K/1K/2K Bytes Internal SRAM (ATmega48PA/88PA/168PA/328P)
 - Write/Erase Cycles: 10,000 Flash/100,000 EEPROM
 - Data retention: 20 years at 85°C/100 years at 25°C⁽¹⁾
 - Optional Boot Code Section with Independent Lock Bits
 - In-System Programming by On-chip Boot Program
 - True Read-While-Write Operation
 - Programming Lock for Software Security
- Peripheral Features
 - Two 8-bit Timer/Counters with Separate Prescaler and Compare Mode
 - One 16-bit Timer/Counter with Separate Prescaler, Compare Mode, and Capture Mode
 - Real Time Counter with Separate Oscillator
 - Six PWM Channels
 - 8-channel 10-bit ADC in TQFP and QFN/MLF package
 - Temperature Measurement
 - 6-channel 10-bit ADC in PDIP Package
 - Temperature Measurement
 - Programmable Serial USART
 - Master/Slave SPI Serial Interface
 - Byte-oriented 2-wire Serial Interface (Philips I²C compatible)
 - Programmable Watchdog Timer with Separate On-chip Oscillator
 - On-chip Analog Comparator
 - Interrupt and Wake-up on Pin Change
- Special Microcontroller Features
 - Power-on Reset and Programmable Brown-out Detection
 - Internal Calibrated Oscillator
 - External and Internal Interrupt Sources
 - Six Sleep Modes: Idle, ADC Noise Reduction, Power-save, Power-down, Standby, and Extended Standby
- I/O and Packages
 - 23 Programmable I/O Lines
 - 28-pin PDP, 32-lead TQFP, 28-pad QFN/MLF and 32-pad QFN/MLF
- Operating Voltage:
 - 1.8 - 5.5V for ATmega48PA/88PA/168PA/328P
- Temperature Range:
 - -40°C to 85°C
- Speed Grade:
 - 0 - 20 MHz @ 1.8 - 5.5V
- Low Power Consumption at 1 MHz, 1.8V, 25°C for ATmega48PA/88PA/168PA/328P:
 - Active Mode: 0.2 mA
 - Power-down Mode: 0.1 µA
 - Power-save Mode: 0.75 µA (including 32 kHz RTC)



8-bit AVR® Microcontroller with 4/8/16/32K Bytes In-System Programmable Flash

ATmega48PA
ATmega88PA
ATmega168PA
ATmega328P

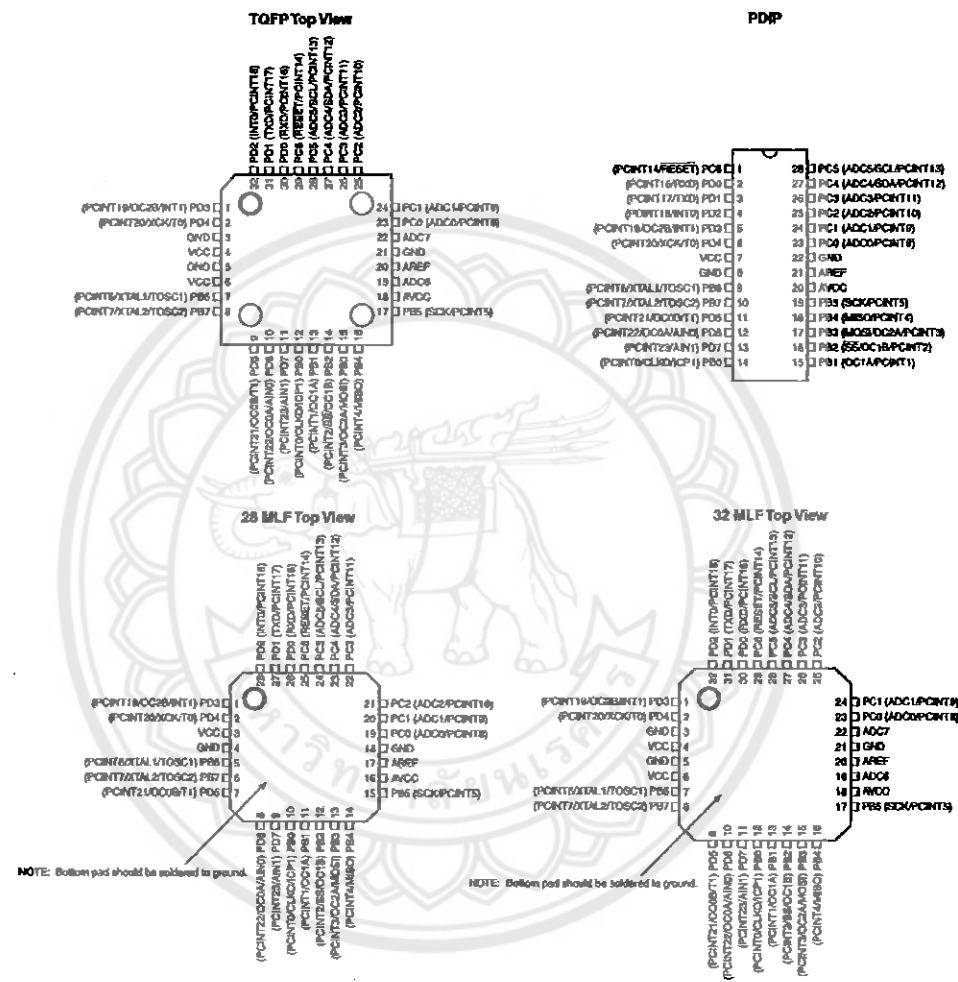
Summary



ATmega48PA/88PA/168PA/328P

1. Pin Configurations

Figure 1-1. Pinout ATmega48PA/88PA/168PA/328P



ATmega48PA/88PA/168PA/328P

1.1 Pin Descriptions

1.1.1 VCC

Digital supply voltage.

1.1.2 GND

Ground.

1.1.3 Port B (PB7:0) XTAL1/XTAL2/TOSC1/TOSC2

Port B is an 8-bit bi-directional I/O port with internal pull-up resistors (selected for each bit). The Port B output buffers have symmetrical drive characteristics with both high sink and source capability. As inputs, Port B pins that are externally pulled low will source current if the pull-up resistors are activated. The Port B pins are tri-stated when a reset condition becomes active, even if the clock is not running.

Depending on the clock selection fuse settings, PB6 can be used as input to the Inverting Oscillator amplifier and input to the internal clock operating circuit.

Depending on the clock selection fuse settings, PB7 can be used as output from the Inverting Oscillator amplifier.

If the Internal Calibrated RC Oscillator is used as chip clock source, PB7..6 is used as TOSC2..1 input for the Asynchronous Timer/Counter2 if the AS2 bit in ASSR is set.

The various special features of Port B are elaborated in "Alternate Functions of Port B" on page 76 and "System Clock and Clock Options" on page 26.

1.1.4 Port C (PC5:0)

Port C is a 7-bit bi-directional I/O port with internal pull-up resistors (selected for each bit). The PC5..0 output buffers have symmetrical drive characteristics with both high sink and source capability. As inputs, Port C pins that are externally pulled low will source current if the pull-up resistors are activated. The Port C pins are tri-stated when a reset condition becomes active, even if the clock is not running.

1.1.5 PC6/RESET

If the RSTDISBL Fuse is programmed, PC6 is used as an I/O pin. Note that the electrical characteristics of PC6 differ from those of the other pins of Port C.

If the RSTDISBL Fuse is unprogrammed, PC6 is used as a Reset input. A low level on this pin for longer than the minimum pulse length will generate a Reset, even if the clock is not running. The minimum pulse length is given in Table 28-3 on page 308. Shorter pulses are not guaranteed to generate a Reset.

The various special features of Port C are elaborated in "Alternate Functions of Port C" on page 79.

1.1.6 Port D (PD7:0)

Port D is an 8-bit bi-directional I/O port with internal pull-up resistors (selected for each bit). The Port D output buffers have symmetrical drive characteristics with both high sink and source capability. As inputs, Port D pins that are externally pulled low will source current if the pull-up resistors are activated. The Port D pins are tri-stated when a reset condition becomes active, even if the clock is not running.

ATmega48PA/88PA/168PA/328P

The various special features of Port D are elaborated in "Alternate Functions of Port D" on page 82.

1.1.7 AV_{cc}

AV_{cc} is the supply voltage pin for the A/D Converter, PC3:0, and ADC7:6. It should be externally connected to V_{cc}, even if the ADC is not used. If the ADC is used, it should be connected to V_{cc} through a low-pass filter. Note that PC6..4 use digital supply voltage, V_{cc}.

1.1.8 AREF

AREF is the analog reference pin for the A/D Converter.

1.1.9 ADC7:6 (TQFP and QFN/MLF Package Only)

In the TQFP and QFN/MLF package, ADC7:6 serve as analog inputs to the A/D converter. These pins are powered from the analog supply and serve as 10-bit ADC channels.



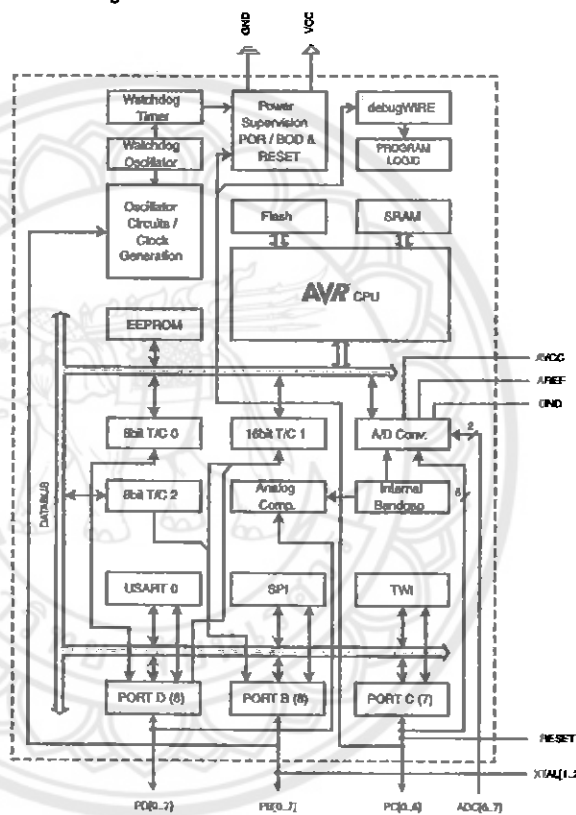
ATmega48PA/88PA/168PA/328P

2. Overview

The ATmega48PA/88PA/168PA/328P is a low-power CMOS 8-bit microcontroller based on the AVR enhanced RISC architecture. By executing powerful instructions in a single clock cycle, the ATmega48PA/88PA/168PA/328P achieves throughputs approaching 1 MIPS per MHz allowing the system designer to optimize power consumption versus processing speed.

2.1 Block Diagram

Figure 2-1. Block Diagram



The AVR core combines a rich instruction set with 32 general purpose working registers. All the 32 registers are directly connected to the Arithmetic Logic Unit (ALU), allowing two independent registers to be accessed in one single instruction executed in one clock cycle. The resulting

ATmega48PA/88PA/168PA/328P

architecture is more code efficient while achieving throughputs up to ten times faster than conventional CISC microcontrollers.

The ATmega48PA/88PA/168PA/328P provides the following features: 4/8/16/32K bytes of In-System Programmable Flash with Read-While-Write capabilities, 256/512/512/1K bytes EEPROM, 512/1K/1K/2K bytes SRAM, 23 general purpose I/O lines, 32 general purpose working registers, three flexible Timer/Counters with compare modes, Internal and external interrupts, a serial programmable USART, a byte-oriented 2-wire Serial Interface, an SPI serial port, a 6-channel 10-bit ADC (8 channels in TQFP and QFN/MLF packages), a programmable Watchdog Timer with internal Oscillator, and five software selectable power saving modes. The Idle mode stops the CPU while allowing the SRAM, Timer/Counters, USART, 2-wire Serial Interface, SPI port, and interrupt system to continue functioning. The Power-down mode saves the register contents but freezes the Oscillator, disabling all other chip functions until the next interrupt or hardware reset. In Power-save mode, the asynchronous timer continues to run, allowing the user to maintain a timer base while the rest of the device is sleeping. The ADC Noise Reduction mode stops the CPU and all I/O modules except asynchronous timer and ADC, to minimize switching noise during ADC conversions. In Standby mode, the crystal/resonator Oscillator is running while the rest of the device is sleeping. This allows very fast start-up combined with low power consumption.

The device is manufactured using Atmel's high density non-volatile memory technology. The On-chip ISP Flash allows the program memory to be reprogrammed In-System through an SPI serial interface, by a conventional non-volatile memory programmer, or by an On-chip Boot program running on the AVR core. The Boot program can use any interface to download the application program in the Application Flash memory. Software in the Boot Flash section will continue to run while the Application Flash section is updated, providing true Read-While-Write operation. By combining an 8-bit RISC CPU with In-System Self-Programmable Flash on a monolithic chip, the Atmel ATmega48PA/88PA/168PA/328P is a powerful microcontroller that provides a highly flexible and cost effective solution to many embedded control applications.

The ATmega48PA/88PA/168PA/328P AVR is supported with a full suite of program and system development tools including: C Compilers, Macro Assemblers, Program Debugger/Simulators, In-Circuit Emulators, and Evaluation kits.

2.2 Comparison Between ATmega48PA, ATmega88PA, ATmega168PA and ATmega328P

The ATmega48PA, ATmega88PA, ATmega168PA and ATmega328P differ only in memory sizes, boot loader support, and interrupt vector sizes. Table 2-1 summarizes the different memory and interrupt vector sizes for the three devices.

Table 2-1. Memory Size Summary

Device	Flash	EEPROM	RAM	Interrupt Vector Size
ATmega48PA	4K Bytes	256 Bytes	512 Bytes	1 Instruction word/vector
ATmega88PA	8K Bytes	512 Bytes	1K Bytes	1 Instruction word/vector
ATmega168PA	16K Bytes	512 Bytes	1K Bytes	2 Instruction words/vector
ATmega328P	32K Bytes	1K Bytes	2K Bytes	2 Instruction words/vector

ATmega88PA, ATmega168PA and ATmega328P support a real Read-While-Write Self-Programming mechanism. There is a separate Boot Loader Section, and the SPM instruction can only execute from there. In ATmega48PA, there is no Read-While-Write support and no separate Boot Loader Section. The SPM instruction can execute from the entire Flash.

ATmega48PA/88PA/168PA/328P**3. Resources**

A comprehensive set of development tools, application notes and datasheets are available for download on <http://www.atmel.com/avr>.

4. Data Retention

Reliability Qualification results show that the projected data retention failure rate is much less than 1 PPM over 20 years at 85°C or 100 years at 25°C.



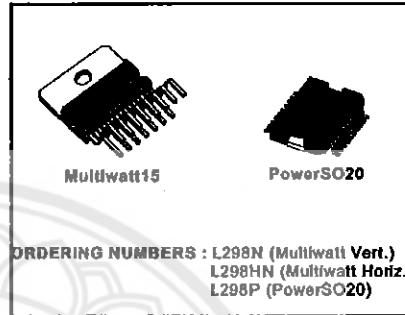



L298
DUAL FULL-BRIDGE DRIVER

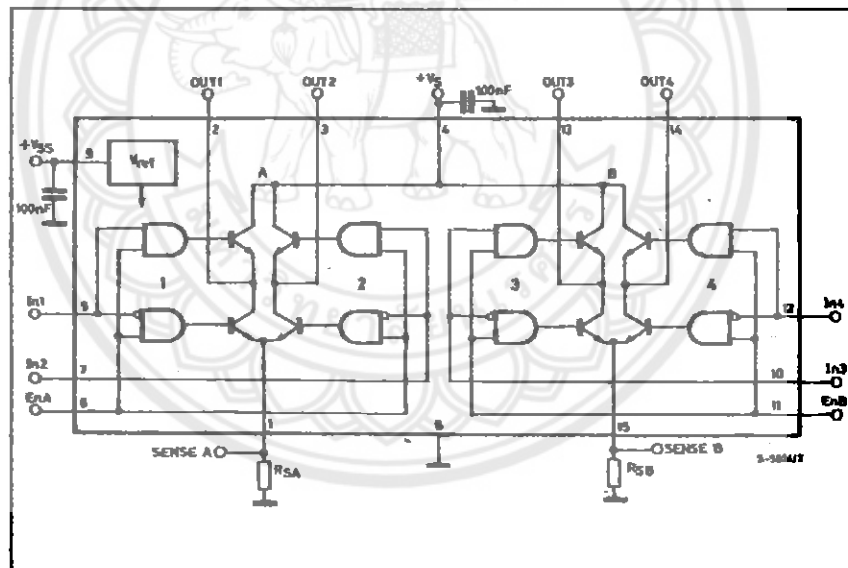
- OPERATING SUPPLY VOLTAGE UP TO 48 V
- TOTAL DC CURRENT UP TO 4 A
- LOW SATURATION VOLTAGE
- OVERTEMPERRATURE PROTECTION
- LOGICAL "0" INPUT VOLTAGE UP TO 1.5 V
(HIGH NOISE IMMUNITY)

DESCRIPTION

The L298 is an integrated monolithic circuit in a 15-lead Multiwatt and PowerSO20 packages. It is a high voltage, high current dual full-bridge driver designed to accept standard TTL logic levels and drive inductive loads such as relays, solenoids, DC and stepping motors. Two enable inputs are provided to enable or disable the device independently of the input signals. The emitters of the lower transistors of each bridge are connected together and the corresponding external terminal can be used for the connection of an external sensing resistor. An additional supply input is provided so that the logic works at a lower voltage.

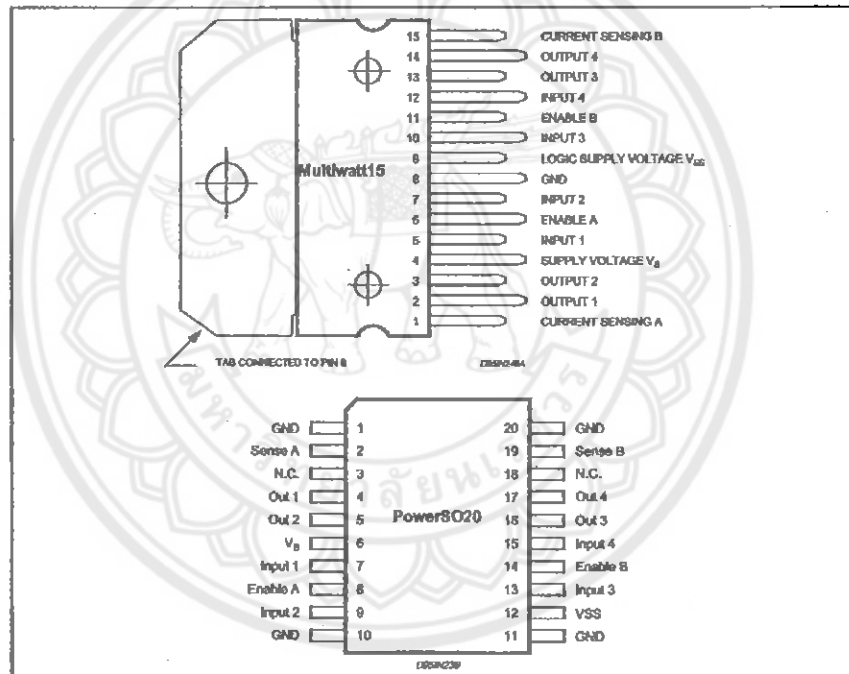


ORDERING NUMBERS : L298N (Multiwatt Vert.)
L298HN (Multiwatt Horiz.)
L298P (PowerSO20)

BLOCK DIAGRAM


L298**ABSOLUTE MAXIMUM RATINGS**

Symbol	Parameter	Value	Unit
V_S	Power Supply	50	V
V_{SS}	Logic Supply Voltage	7	V
V_i, V_{en}	Input and Enable Voltage	-0.3 to 7	V
I_o	Peak Output Current (each Channel)		
	- Non Repetitive ($t = 100\mu s$)	3	A
	-Repetitive (80% on -20% off; $t_{on} = 10ms$)	2.5	A
	-DC Operation	2	A
V_{sens}	Sensing Voltage	-1 to 2.3	V
P_{tot}	Total Power Dissipation ($T_{case} = 75^\circ C$)	25	W
T_{op}	Junction Operating Temperature	-25 to 130	°C
T_{stg}, T_J	Storage and Junction Temperature	-40 to 150	°C

PIN CONNECTIONS (top view)**THERMAL DATA**

Symbol	Parameter	PowerSO20	Multiwatt15	Unit
$R_{th,case}$	Thermal Resistance Junction-case	Max. –	3	°C/W
$R_{th,amb}$	Thermal Resistance Junction-ambient	Max. 13 (*)	35	°C/W

(*) Mounted on aluminum substrate

L298**PIN FUNCTIONS (refer to the block diagram)**

MW.16	PowerSO	Name	Function
1;16	2;19	Sense A; Sense B	Between this pin and ground is connected the sense resistor to control the current of the load.
2;3	4;5	Out 1; Out 2	Outputs of the Bridge A; the current that flows through the load connected between these two pins is monitored at pin 1.
4	6	V _S	Supply Voltage for the Power Output Stages. A non-inductive 100nF capacitor must be connected between this pin and ground.
5;7	7;9	Input 1; Input 2	TTL Compatible Inputs of the Bridge A.
6;11	8;14	Enable A; Enable B	TTL Compatible Enable Input: the L state disables the bridge A (enable A) and/or the bridge B (enable B).
8	1,10,11,20	GND	Ground.
9	12	V _{SS}	Supply Voltage for the Logic Blocks. A 100nF capacitor must be connected between this pin and ground.
10; 12	13;15	Input 3; Input 4	TTL Compatible Inputs of the Bridge B.
13; 14	16;17	Out 3; Out 4	Outputs of the Bridge B. The current that flows through the load connected between these two pins is monitored at pin 15.
-	3;18	N.C.	Not Connected

ELECTRICAL CHARACTERISTICS (V_S = 42V; V_{SS} = 5V, T_j = 25°C; unless otherwise specified)

Symbol	Parameter	Test Conditions	Min.	Typ.	Max.	Unit
V _S	Supply Voltage (pin 4)	Operative Condition	V _H ±2.5		46	V
V _{SS}	Logic Supply Voltage (pin 9)		4.5	5	7	V
I _S	Quiescent Supply Current (pin 4)	V _{en} = H; I _L = 0 V _{en} = L; V _I = H		13 50	22 70	mA mA
		V _I = X			4	mA
I _{SS}	Quiescent Current from V _{SS} (pin 9)	V _{en} = H; I _L = 0 V _{en} = L		24 7	36 12	mA mA
		V _I = X			6	mA
V _L	Input Low Voltage (pins 5, 7, 10, 12)		-0.3		1.5	V
V _H	Input High Voltage (pins 5, 7, 10, 12)		2.3		V _{SS}	V
I _L	Low Voltage Input Current (pins 5, 7, 10, 12)	V _I = L			-10	µA
I _H	High Voltage Input Current (pins 5, 7, 10, 12)	V _I = H ≤ V _{SS} - 0.6V		30	100	µA
V _{en} = L	Enable Low Voltage (pins 6, 11)		-0.3		1.5	V
V _{en} = H	Enable High Voltage (pins 6, 11)		2.3		V _{SS}	V
I _{en} = L	Low Voltage Enable Current (pins 6, 11)	V _{en} = L			-10	µA
I _{en} = H	High Voltage Enable Current (pins 6, 11)	V _{en} = H ≤ V _{SS} - 0.6V		30	100	µA
V _{CEsat (P)}	Source Saturation Voltage	I _L = 1A I _L = 2A	0.95 2	1.35 2	1.7 2.7	V
V _{CEsat (S)}	Sink Saturation Voltage	I _L = 1A (5) I _L = 2A (5)	0.85 1.7	1.2 2.3	1.6 2.3	V
V _{CExst}	Total Drop	I _L = 1A (5) I _L = 2A (5)	1.80		3.2 4.9	V
V _{sens}	Sensing Voltage (pins 1, 15)		-1 (1)		2	V



L298**ELECTRICAL CHARACTERISTICS (continued)**

Symbol	Parameter	Test Conditions	Min.	Typ.	Max.	Unit
$T_1(V)$	Source Current Turn-off Delay	0.5 V_L to 0.9 I_L (2); (4)		1.5		μs
$T_2(V)$	Source Current Fall Time	0.9 I_L to 0.1 I_L (2); (4)		0.2		μs
$T_3(V)$	Source Current Turn-on Delay	0.5 V_L to 0.1 I_L (2); (4)		2		μs
$T_4(V)$	Source Current Rise Time	0.1 I_L to 0.9 I_L (2); (4)		0.7		μs
$T_5(V)$	Sink Current Turn-off Delay	0.5 V_L to 0.9 I_L (3); (4)		0.7		μs
$T_6(V)$	Sink Current Fall Time	0.9 I_L to 0.1 I_L (3); (4)		0.25		μs
$T_7(V)$	Sink Current Turn-on Delay	0.5 V_L to 0.9 I_L (3); (4)		1.6		μs
$T_8(V)$	Sink Current Rise Time	0.1 I_L to 0.9 I_L (3); (4)		0.2		μs
$f_C(V)$	Commutation Frequency	$I_L = 2A$	25	40		KHz
$T_1(V_{en})$	Source Current Turn-off Delay	0.5 V_{en} to 0.9 I_L (2); (4)		3		μs
$T_2(V_{en})$	Source Current Fall Time	0.9 I_L to 0.1 I_L (2); (4)		1		μs
$T_3(V_{en})$	Source Current Turn-on Delay	0.5 V_{en} to 0.1 I_L (2); (4)		0.3		μs
$T_4(V_{en})$	Source Current Rise Time	0.1 I_L to 0.9 I_L (2); (4)		0.4		μs
$T_5(V_{en})$	Sink Current Turn-off Delay	0.5 V_{en} to 0.9 I_L (3); (4)		2.2		μs
$T_6(V_{en})$	Sink Current Fall Time	0.9 I_L to 0.1 I_L (3); (4)		0.35		μs
$T_7(V_{en})$	Sink Current Turn-on Delay	0.5 V_{en} to 0.9 I_L (3); (4)		0.25		μs
$T_8(V_{en})$	Sink Current Rise Time	0.1 I_L to 0.9 I_L (3); (4)		0.1		μs

1) 1)Sensing voltage can be -1 V for $t \leq 50$ psec; In steady state $V_{sense min} \geq -0.5$ V.

2) See fig. 2.

3) See fig. 4.

4) The load must be a pure resistor.

Figure 1 : Typical Saturation Voltage vs. Output Current.

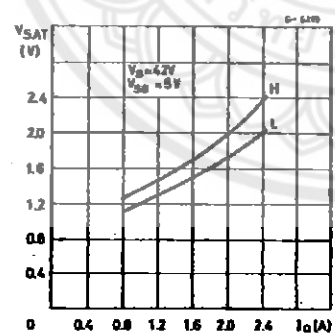
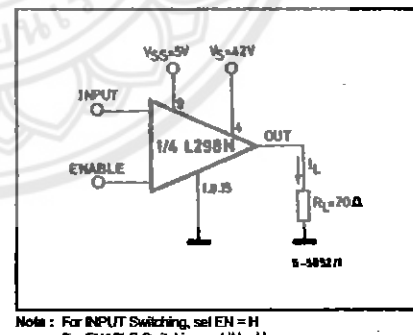
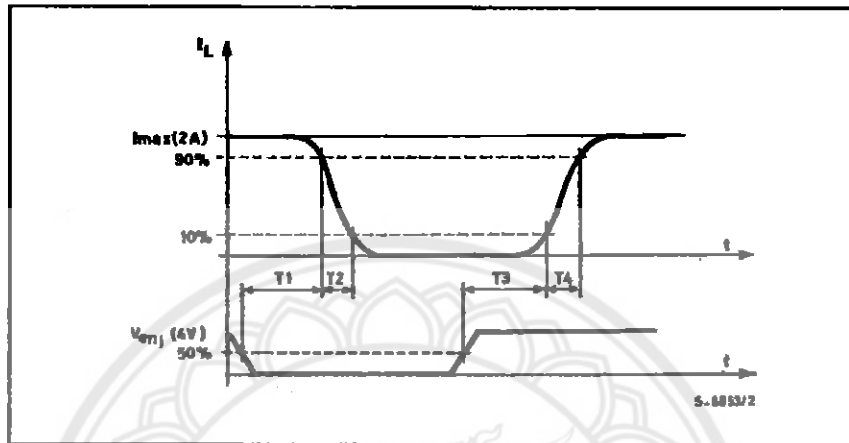
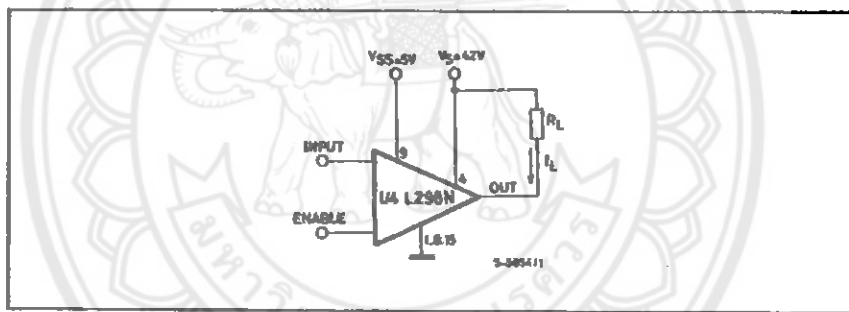
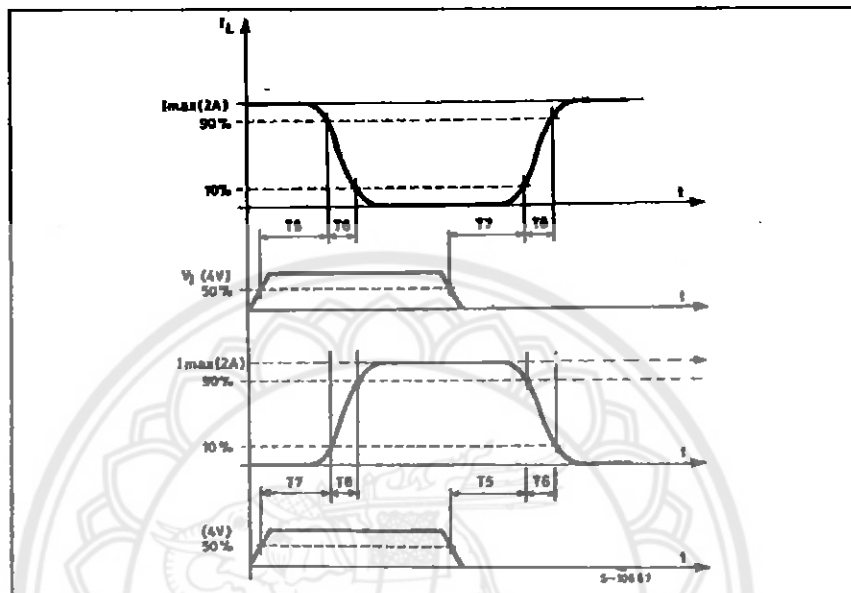
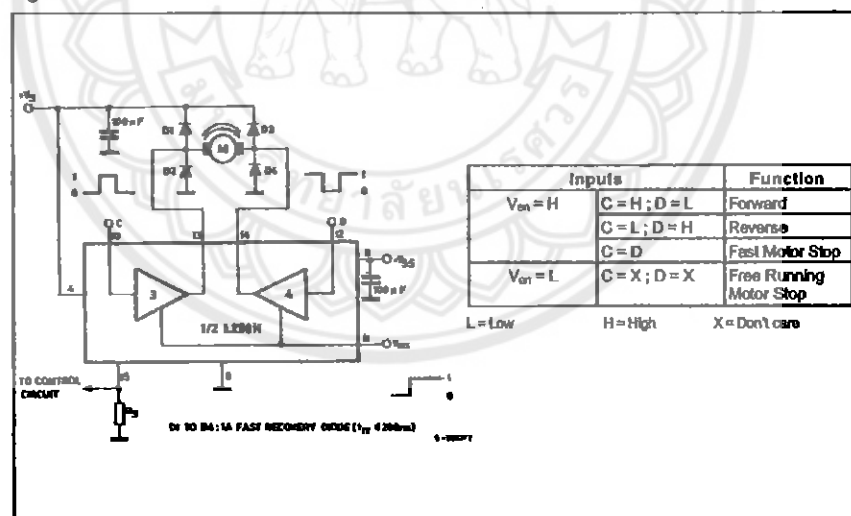


Figure 2 : Switching Times Test Circuits.



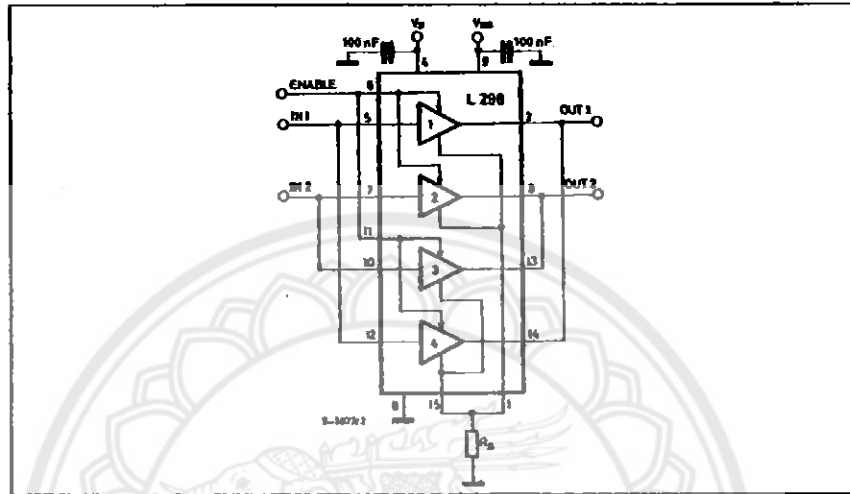
L298

Figure 3 : Source Current Delay Times vs. Input or Enable Switching.**Figure 4 : Switching Times Test Circuits.**

L298**Figure 5 : Sink Current Delay Times vs. Input 0 V Enable Switching.****Figure 6 : Bidirectional DC Motor Control.**

L298

Figure 7 : For higher currents, outputs can be paralleled. Take care to parallel channel 1 with channel 4 and channel 2 with channel 3.



APPLICATION INFORMATION (Refer to the block diagram)

1.1. POWER OUTPUT STAGE

The L298 integrates two power output stages (A; B). The power output stage is a bridge configuration and its outputs can drive an inductive load in common or differential mode, depending on the state of the inputs. The current that flows through the load comes out from the bridge at the sense output; an external resistor (R_{SA} ; R_{SB}) allows to detect the intensity of this current.

1.2. INPUT STAGE

Each bridge is driven by means of four gates the input of which are In_1 ; In_2 ; En_A and En_B . The In inputs set the bridge state when The En input is high; a low state of the En input inhibits the bridge. All the inputs are TTL compatible.

2. SUGGESTIONS

A non inductive capacitor, usually of 100 nF, must be foreseen between both V_S and V_{SS} , to ground, as near as possible to GND pin. When the large capacitor of the power supply is too far from the IC, a second smaller one must be foreseen near the L298.

The sense resistor, not of a wire wound type, must be grounded near the negative pole of V_S that must be near the GND pin of the I.C.

Each input must be connected to the source of the driving signals by means of a very short path.

Turn-On and Turn-Off : Before to Turn-ON the Supply Voltage and before to Turn it OFF, the Enable input must be driven to the Low state.

3. APPLICATIONS

Fig 6 shows a bidirectional DC motor control Schematic Diagram for which only one bridge is needed. The external bridge of diodes D1 to D4 is made by four fast recovery elements ($I_{R} \leq 200$ nsec) that must be chosen of a VF as low as possible at the worst case of the load current.

The sense output voltage can be used to control the current amplitude by chopping the inputs, or to provide overcurrent protection by switching low the enable input.

The brake function (Fast motor stop) requires that the Absolute Maximum Rating of 2 Amps must never be overcome.

When the repetitive peak current needed from the load is higher than 2 Amps, a paralleled configuration can be chosen (See Fig.7).

An external bridge of diodes are required when inductive loads are driven and when the inputs of the IC are chopped; Shottky diodes would be preferred.

L298

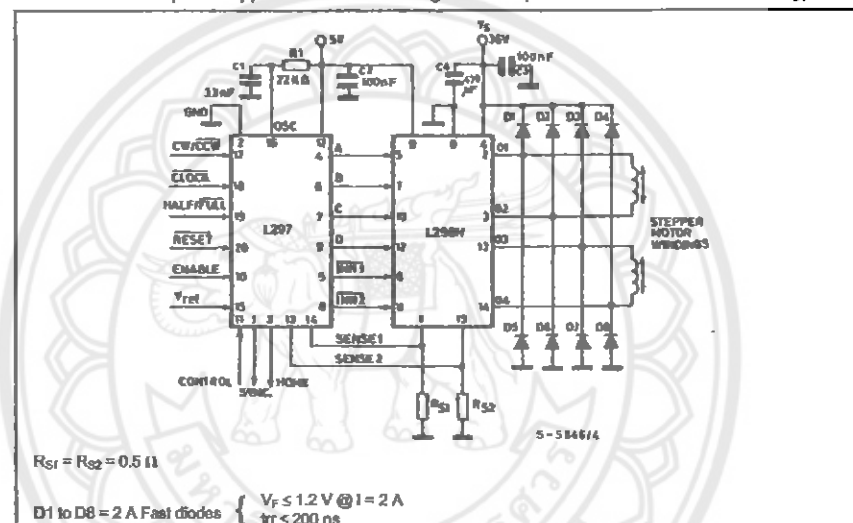
This solution can drive until 3 Amps in DC operation and until 3.5 Amps of a repetitive peak current.

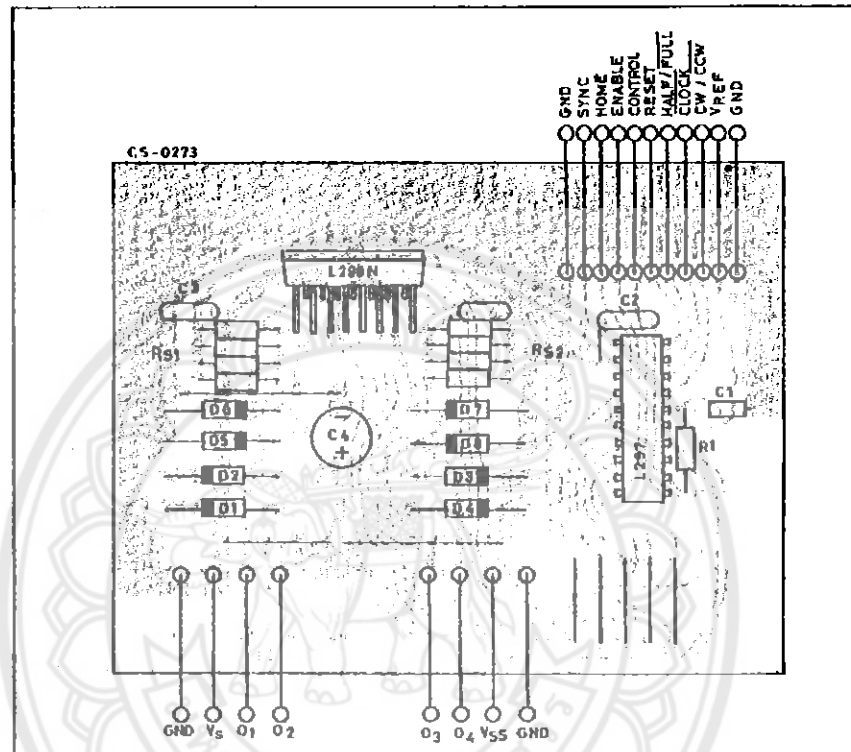
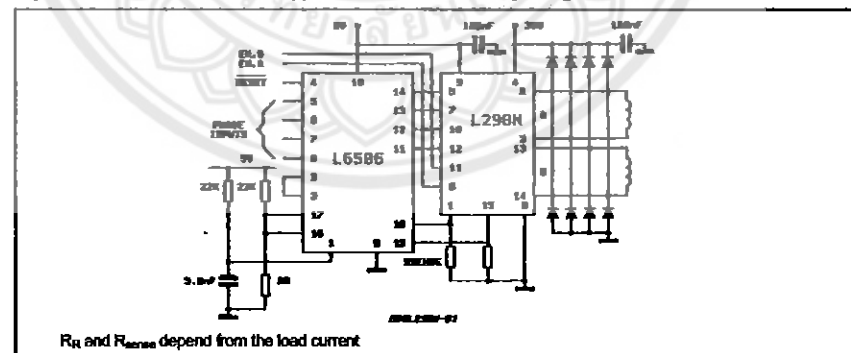
On Fig 8 it is shown the driving of a two phase bipolar stepper motor ; the needed signals to drive the inputs of the L298 are generated, in this example, from the IC L297.

Fig 9 shows an example of P.C.B. designed for the application of Fig 8.

Figure 8 : Two Phase Bipolar Stepper Motor Circuit.

This circuit drives bipolar stepper motors with winding currents up to 2 A. The diodes are fast 2 A types.

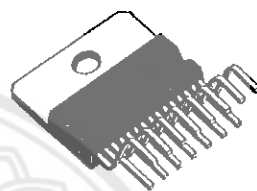
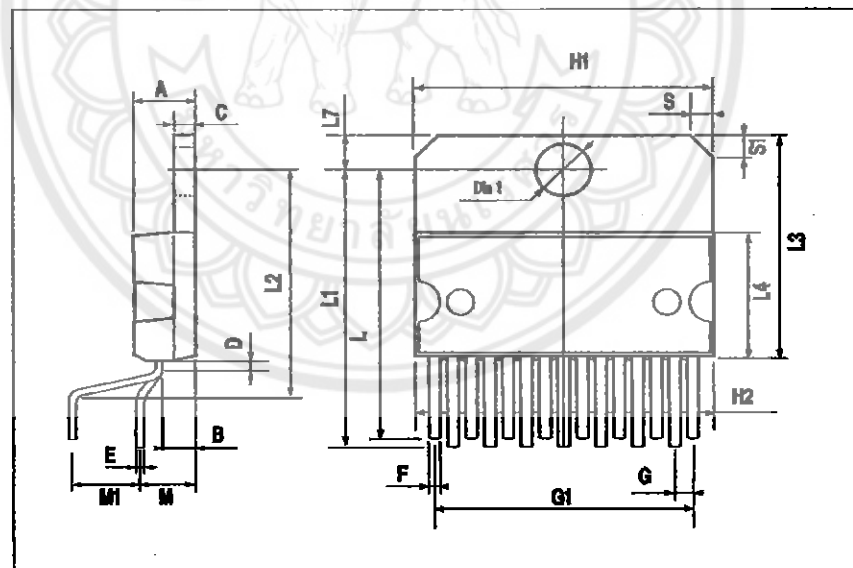


L298**Figure 9 : Suggested Printed Circuit Board Layout for the Circuit of fig. 8 (1:1 scale).****Figure 10 : Two Phase Bipolar Stepper Motor Control Circuit by Using the Current Controller L6506.****ST**

9/13

L298

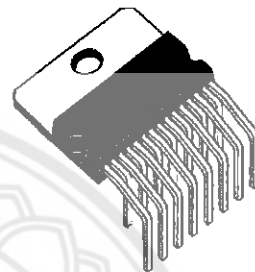
DIM.	mm			Inch		
	MIN.	TYP.	MAX.	MIN.	TYP.	MAX.
A			5			0.197
B			2.65			0.104
C			1.6			0.063
D	1				0.039	
E	0.49		0.55	0.019		0.022
F	0.66		0.76	0.026		0.030
G	1.02	1.27	1.52	0.040	0.050	0.060
G1	17.53	17.78	18.03	0.690	0.700	0.710
H1	19.6			0.772		
H2			20.2			0.785
L	21.9	22.2	22.5	0.862	0.874	0.886
L1	21.7	22.1	22.5	0.854	0.870	0.886
L2	17.65		18.1	0.695		0.713
L3	17.25	17.5	17.75	0.679	0.689	0.699
L4	10.3	10.7	10.9	0.406	0.421	0.429
L7	2.65		2.9	0.104		0.114
M	4.25	4.55	4.85	0.167	0.179	0.191
M1	4.63	5.08	5.53	0.182	0.200	0.218
S	1.9		2.6	0.076		0.102
S1	1.9		2.6	0.075		0.102
Dia1	3.65		3.85	0.144		0.152

OUTLINE AND MECHANICAL DATA**Multiwatt15 V**

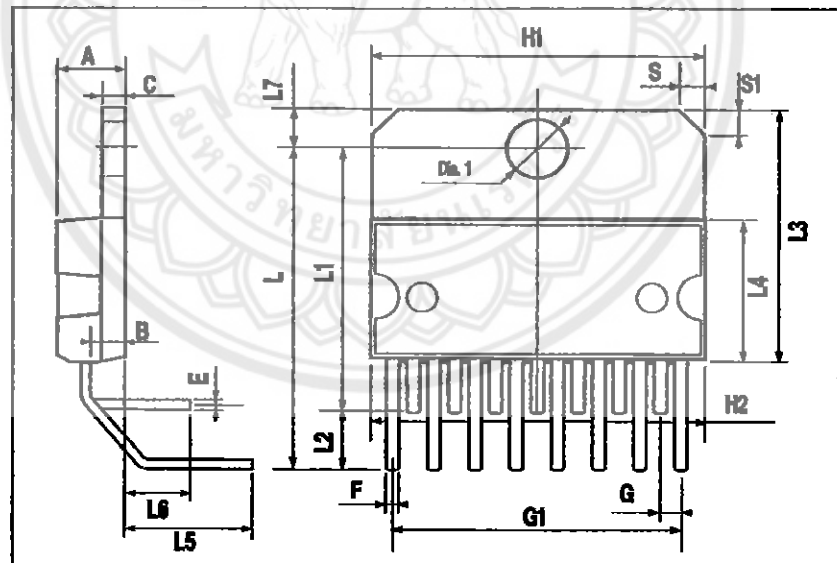
L298

DIM.	mm			Inch		
	MIN.	TYP.	MAX.	MIN.	TYP.	MAX.
A			5			0.197
B			2.65			0.104
C			1.6			0.063
E	0.49		0.55	0.019		0.022
F	0.66		0.75	0.026		0.030
G	1.14	1.27	1.4	0.045	0.050	0.055
G1	17.67	17.78	17.91	0.692	0.700	0.705
H1	19.6			0.772		
H2			20.2			0.785
L		20.57			0.810	
L1		18.03			0.710	
L2		2.64			0.100	
L3	17.25	17.5	17.75	0.679	0.689	0.699
L4	10.3	10.7	10.9	0.406	0.421	0.429
L5		5.28			0.208	
L6		2.38			0.094	
L7	2.65		2.8	0.104		0.114
S	1.9		2.6	0.075		0.102
S1	1.9		2.6	0.075		0.102
Diat	3.65		3.85	0.144		0.152

OUTLINE AND MECHANICAL DATA



Multiwatt15 H

**ST**

11/13

L298

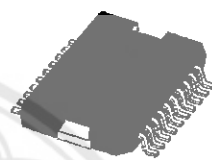
DIM.	mm			inch		
	MIN.	TYP.	MAX.	MIN.	TYP.	MAX.
A			3.6			0.142
a1	0.1		0.3	0.004		0.012
a2			3.3			0.130
a3	0		0.1	0.000		0.004
b	0.4		0.53	0.016		0.021
c	0.23		0.32	0.009		0.013
D (1)	15.8		16	0.622		0.630
D1	9.4		9.8	0.370		0.386
E	13.9		14.5	0.547		0.570
e		1.27			0.050	
e3		11.43			0.450	
E1 (1)	10.9		11.1	0.428		0.437
E2			2.9			0.114
E3	6.8		6.2	0.228		0.244
G	0		0.1	0.000		0.004
H	15.5		15.9	0.610		0.626
h			1.1			0.043
L	0.8		1.1	0.031		0.043
N		10° (max.)				
S		8° (max.)				
T		10			0.394	

(1) "D and "F" do not include mold flash or protrusions.

- Mold Flash or protrusions shall not exceed 0.15 mm (0.006").

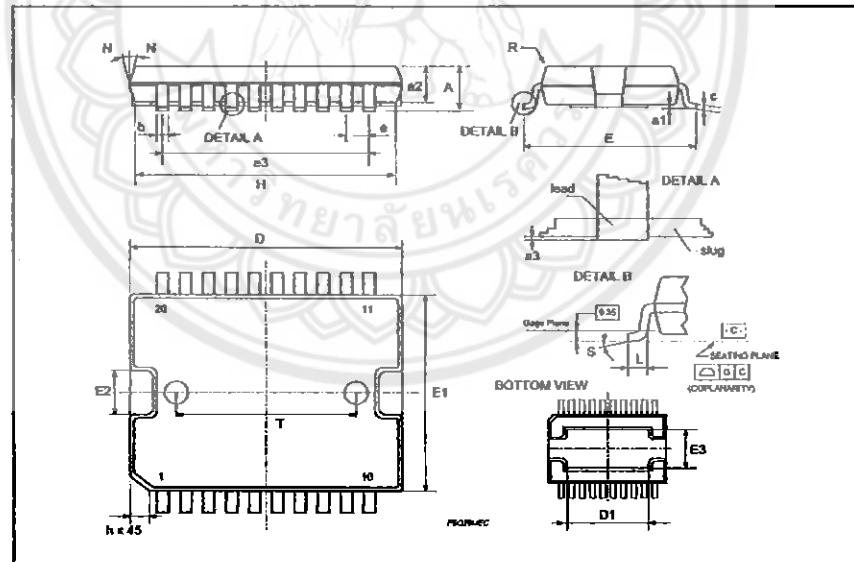
- Critical dimensions: "E", "G" and "a3".

OUTLINE AND MECHANICAL DATA



JEDEC MO-166

PowerSO20



L298

Information furnished is believed to be accurate and reliable. However, STMicroelectronics assumes no responsibility for the consequences of use of such information nor for any infringement of patents or other rights of third parties which may result from its use. No license is granted by implication or otherwise under any patent or patent rights of STMicroelectronics. Specification mentioned in this publication are subject to change without notice. This publication supersedes and replaces all information previously supplied. STMicroelectronics products are not authorized for use as critical components in life support devices or systems without express written approval of STMicroelectronics.

The ST logo is a registered trademark of STMicroelectronics

© 2000 STMicroelectronics - Printed in Italy - All Rights Reserved

STMicroelectronics GROUP OF COMPANIES

Australia - Brazil - China - Finland - France - Germany - Hong Kong - India - Italy - Japan - Malaysia - Malta - Morocco -
Singapore - Spain - Sweden - Switzerland - United Kingdom - U.S.A.
<http://www.st.com>







HX711

24-Bit Analog-to-Digital Converter (ADC) for Weigh Scales

DESCRIPTION

Based on Avia Semiconductor's patented technology, HX711 is a precision 24-bit analog-to-digital converter (ADC) designed for weigh scales and industrial control applications to interface directly with a bridge sensor.

The input multiplexer selects either Channel A or B differential input to the low-noise programmable gain amplifier (PGA). Channel A can be programmed with a gain of 128 or 64, corresponding to a full-scale differential input voltage of $\pm 20mV$ or $\pm 40mV$ respectively, when a 5V supply is connected to AVDD analog power supply pin. Channel B has a fixed gain of 32. On-chip power supply regulator eliminates the need for an external supply regulator to provide analog power for the ADC and the sensor. Clock input is flexible. It can be from an external clock source, a crystal, or the on-chip oscillator that does not require any external component. On-chip power-on-reset circuitry simplifies digital interface initialization.

There is no programming needed for the internal registers. All controls to the HX711 are through the pins.

FEATURES

- Two selectable differential input channels
- On-chip active low noise PGA with selectable gains of 32, 64 and 128
- On-chip power supply regulator for load-cell and ADC analog power supply
- On-chip oscillator requiring no external component with optional external crystal
- On-chip power-on-reset
- Simple digital control and serial interface: pin-driven controls, no programming needed
- Selectable 10SPS or 80SPS output data rate
- Simultaneous 50 and 60Hz supply rejection
- Current consumption including on-chip analog power supply regulator:
normal operation < 1.5mA, power down < 1uA
- Operation supply voltage range: 2.6 ~ 5.5V
- Operation temperature range: -40 ~ +85°C
- 16 pin SOP-16 package

APPLICATIONS

- Weigh Scales
- Industrial Process Control

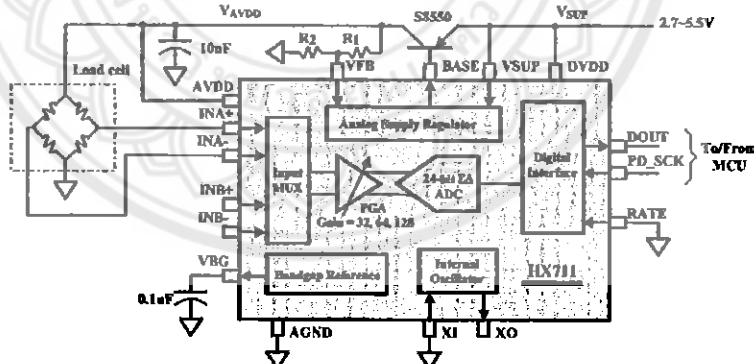


Fig. 1 Typical weigh scale application block diagram



HX711

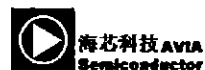
Pin Description

Regulator Power	VSUP	1	16	DVDD	Digital Power
Regulator Control Output	BASE	2	15	RATE	Output Data Rate Control Input
Analog Power	AVDD	3	14	XI	
Regulator Control Input	VFB	4	13	XO	Crystal I/O
Analog Ground	AGND	5	12	DOUT	Serial Data Output
Reference Bypass	VBG	6	11	PD_SCK	Power Down and Serial Clock Input
Ch. A Negative Input	INNA	7	10	INPB	Ch. B Positive Input
Ch. A Positive Input	INPA	8	9	INNB	Ch. B Negative Input

SOP-16L Package

Pin #	Name	Function	Description
1	VSUP	Power	Regulator supply: 2.7 ~ 5.5V
2	BASE	Analog Output	Regulator control output (NC when not used)
3	AVDD	Power	Analog supply: 2.6 ~ 5.5V
4	VFB	Analog Input	Regulator control input (connect to AGND when not used)
5	AGND	Ground	Analog Ground
6	VBG	Analog Output	Reference bypass output
7	INA-	Analog Input	Channel A negative input
8	INA+	Analog Input	Channel A positive input
9	INB-	Analog Input	Channel B negative input
10	INB+	Analog Input	Channel B positive input
11	PD_SCK	Digital Input	Power down control (high active) and serial clock input
12	DOUT	Digital Output	Serial data output
13	XO	Digital I/O	Crystal I/O (NC when not used)
14	XI	Digital Input	Crystal I/O or external clock input, 0: use on-chip oscillator
15	RATE	Digital Input	Output data rate control, 0: 10Hz, 1: 80Hz
16	DVDD	Power	Digital supply: 2.6 ~ 5.5V

Table 1 Pin Description



HX711

KEY ELECTRICAL CHARACTERISTICS

Parameter	Notes	MIN	TYP	MAX	UNIT
Full scale differential input range	V(inp)-V(inn)		$\pm 0.5(\text{AVDD/GAIN})$		V
Common mode input		AGND-1.2		AVDD-1.3	V
	Internal Oscillator, RATE = 0		10		Hz
Output data rate	Internal Oscillator, RATE = DVDD		80		
	Crystal or external clock, RATE = 0		$f_{\text{cr}}/1,105,920$		
	Crystal or external clock, RATE = DVDD		$f_{\text{cr}}/138,240$		
Output data coding	2's complement	80000	7FFFFF		HEX
Output settling time ⁽¹⁾	RATE = 0		400		ms
	RATE = DVDD		50		
Input offset drift	Gain = 128		0.2		mV
	Gain = 64		0.4		
Input noise	Gain = 128, RATE = 0		50		nV(rms)
	Gain = 128, RATE = DVDD		90		
Temperature drift	Input offset (Gain = 128)		± 6		nV/C
	Gain (Gain = 128)		± 5		ppm/C
Input common mode rejection	Gain = 128, RATE = 0		100		dB
Power supply rejection	Gain = 128, RATE = 0		100		dB
Reference bypass (V _{BQ})			1.25		V
Crystal or external clock frequency		1	11.0592	20	MHz
Power supply voltage	DVDD	2.6		5.5	V
	AVDD, VSUP	2.6		5.5	
Analog supply current (including regulator)	Normal		1400		µA
	Power down		0.3		
Digital supply current	Normal		100		µA
	Power down		0.2		

(1) Settling time refers to the time from power up, reset, input channel change and gain change to valid stable output data.

Table 2 Key Electrical Characteristics



HX711

Analog Inputs

Channel A differential input is designed to interface directly with a bridge sensor's differential output. It can be programmed with a gain of 128 or 64. The large gains are needed to accommodate the small output signal from the sensor. When 5V supply is used at the AVDD pin, these gains correspond to a full-scale differential input voltage of $\pm 20\text{mV}$ or $\pm 40\text{mV}$ respectively.

Channel B differential input has a fixed gain of 32. The full-scale input voltage range is $\pm 80\text{mV}$, when 5V supply is used at the AVDD pin.

Power Supply Options

Digital power supply (DVDD) should be the same power supply as the MCU power supply.

When using internal analog supply regulator, the dropout voltage of the regulator depends on the external transistor used. The output voltage is equal to $V_{AVDD} = V_{Aq} \cdot (R1 + R2) / R1$ (Fig. 1). This voltage should be designed with a minimum of 100mV below VSUP voltage.

If the on-chip analog supply regulator is not used, the VSUP pin should be connected to either AVDD or DVDD, depending on which voltage is higher. Pin VFB should be connected to Ground and pin BASE becomes NC. The external 0.1uF bypass capacitor shown on Fig. 1 at the VBG output pin is then not needed.

Clock Source Options

By connecting pin XI to Ground, the on-chip oscillator is activated. The nominal output data rate when using the internal oscillator is 10 (RATE=0) or 80SPS (RATE=1).

If accurate output data rate is needed, crystal or external reference clock can be used. A crystal can be directly connected across XI and XO pins. An external clock can be connected to XI pin, through a 20pF ac coupled capacitor. This external clock is not required to be a square wave. It can come directly from the crystal output pin of the MCU chip, with amplitude as low as 150 mV.

When using a crystal or an external clock, the internal oscillator is automatically powered down.

Output Data Rate and Format

When using the on-chip oscillator, output data rate is typically 10 (RATE=0) or 80SPS (RATE=1).

When using external clock or crystal, output data rate is directly proportional to the clock or crystal frequency. Using 11.0592MHz clock or crystal results in an accurate 10 (RTE=0) or 80SPS (RTE=1) output data rate.

The output 24 bits of data is in 2's complement format. When input differential signal goes out of the 24 bit range, the output data will be saturated at 800000h (MIN) or 7FFFFFFh (MAX), until the input signal comes back to the input range.

Serial Interface

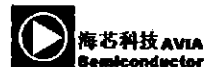
Pin PD_SCK and DOUT are used for data retrieval, input selection, gain selection and power down controls.

When output data is not ready for retrieval, digital output pin DOUT is high. Serial clock input PD_SCK should be low. When DOUT goes to low, it indicates data is ready for retrieval. By applying 25~27 positive clock pulses at the PD_SCK pin, data is shifted out from the DOUT output pin. Each PD_SCK pulse shifts out one bit, starting with the MSB bit first, until all 24 bits are shifted out. The 25th pulse at PD_SCK input will pull DOUT pin back to high (Fig.2).

Input and gain selection is controlled by the number of the input PD_SCK pulses (Table 3). PD_SCK clock pulses should not be less than 25 or more than 27 within one conversion period, to avoid causing serial communication error.

PD_SCK Pulses	Input channel	Gain
25	A	128
26	B	32
27	A	64

Table 3 Input Channel and Gain Selection



HX711

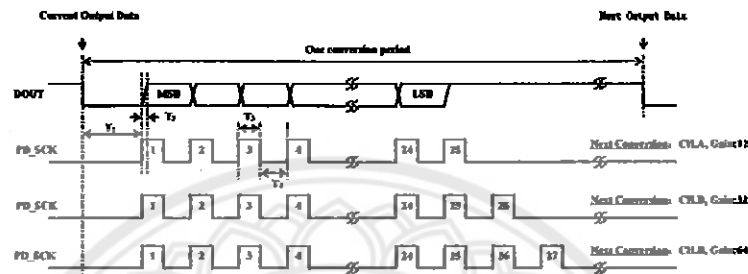


Fig.2 Data output, Input and gain selection timing and control

Symbol	Note	MIN	TYP	MAX	Unit
T ₁	DOUT falling edge to PD_SCK rising edge	0.1			μs
T ₂	PD_SCK rising edge to DOUT data ready			0.1	μs
T ₃	PD_SCK high time	0.2	1	50	μs
T ₄	PD_SCK low time	0.2	1		μs

Reset and Power-Down

When chip is powered up, on-chip power on rest circuitry will reset the chip.

Pin PD_SCK input is used to power down the HX711. When PD_SCK Input is low, chip is in normal working mode.

powered down. When PD_SCK returns to low, chip will reset and enter normal operation mode.

After a reset or power-down event, input selection is default to Channel A with a gain of 128.

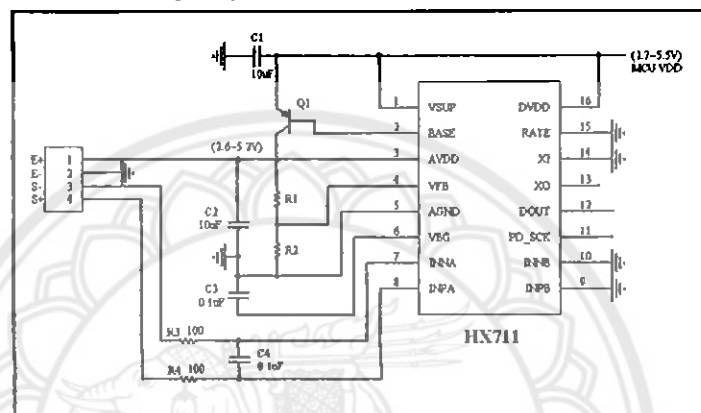
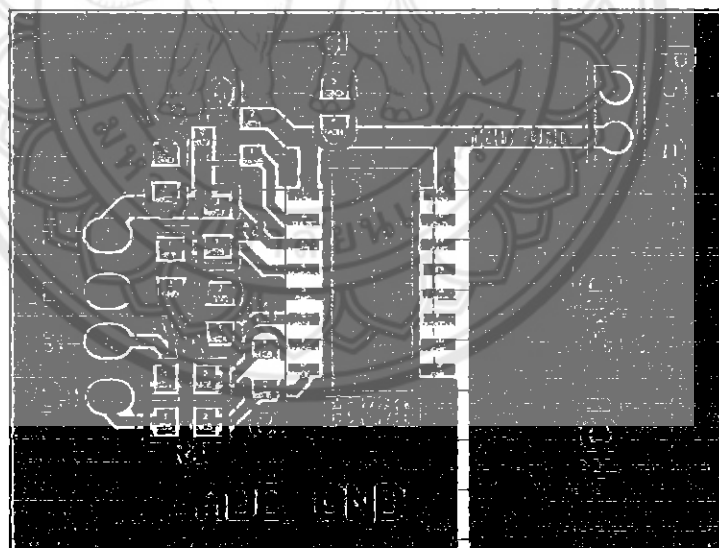
Application Example

Fig.1 is a typical weigh scale application using HX711. It uses on-chip oscillator (XI=0), 10Hz output data rate (RATE=0). A Single power supply (2.7~5.5V) comes directly from MCU power supply. Channel B can be used for battery level detection. The related circuitry is not shown on Fig. 1.



Fig.3 Power down control

When PD_SCK pin changes from low to high and stays at high for longer than 60μs, HX711 enters power down mode (Fig.3). When internal regulator is used for HX711 and the external transducer, both HX711 and the transducer will be

**HX711****Reference PCB Board (Single Layer)****Fig.4 Reference PCB board schematic****Fig.5 Reference PCB board layout**



HX711

Reference Driver (Assembly)

```

/*
Call from ASM:    LCALL ReaAD
Call from C:      extern unsigned long ReadAD(void);

        unsigned long data;
        data=ReadAD();

*/
PUBLIC     ReadAD
HX711ROM  segment code
rseg      HX711ROM

sbit      ADD0 = P1.5;
sbit      ADSK = P0.0;
/*-----*/
OUT:   R4, R5, R6, R7   R7=>LSB
/*-----*/
ReadAD:
    CLR  ADSK           //AD Enable (PD_SCK set low)
    SETB ADD0            //Enable SICPU I/O
    JB   ADD0,$           //AD conversion completed?
    MOV   R4, #24
ShiftOut:
    SETB  ADSK           //PD_SCK set high (positive pulse)
    NOP
    CLR   ADSK           //PD_SCK set low
    MOV   C, ADD0          //read on bit
    XCH   A, R7            //move data
    RLC   A
    XCH   A, R7
    XCH   A, R6
    RLC   A
    XCH   A, R6
    XCH   A, R5
    RLC   A
    XCH   A, R5
    DJNZ  R4, ShiftOut    //moved 24BIT?
    SETB  ADSK
    NOP
    CLR   ADSK
    RET
END

```

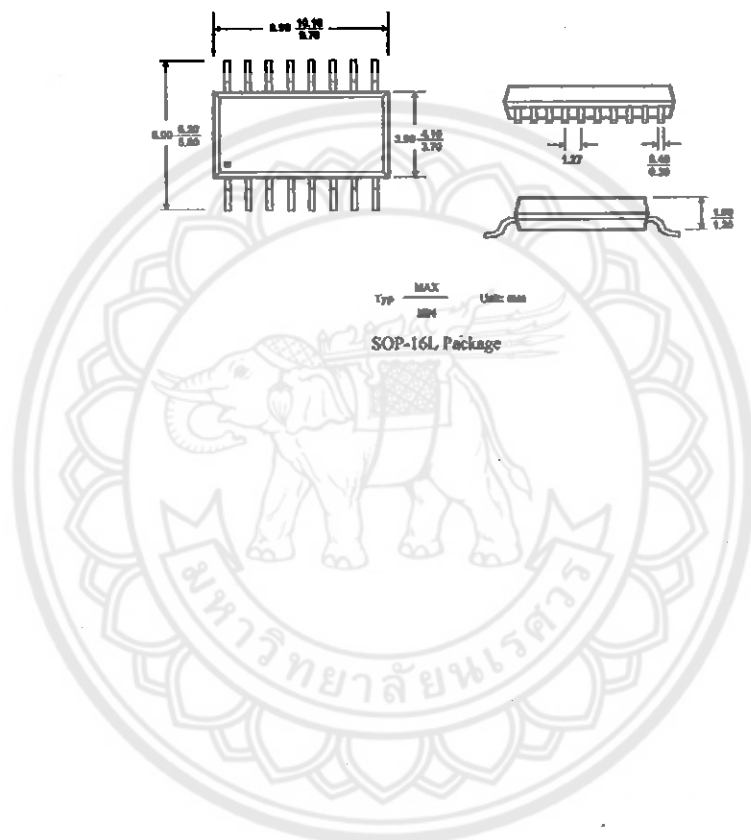


HX711

Reference Driver (C)

```
//  
sbit ADD0 = P1^5;  
sbit ADSK = P0^0;  
unsigned long ReadCount(void) {  
    unsigned long Count;  
    unsigned char i;  
    ADD0=1;  
    ADSK=0;  
    Count=0;  
    while(ADD0);  
    for (i=0;i<24;i++) {  
        ADSK=1;  
        Count=Count<<1;  
        ADSK=0;  
        if(ADD0) Count++;  
    }  
    ADSK=1;  
    Count=Count ^ 0x800000;  
    ADSK=0;  
    return(Count);  
}
```



**HX711****Package Dimensions**

ประวัติผู้ดำเนินโครงการ



ชื่อ นางสาวนุชนาฐ์ ชื่อสักย์
 ภูมิลำเนา 76/4 หมู่ 5 ต.โກสัมพี อ.โກสัมพีนคร จ.กำแพงเพชร
 ประวัติการศึกษา

- จบระดับมัธยมศึกษาจากโรงเรียนพดุงป้อมวิชา
- ปัจจุบันกำลังศึกษาในระดับปริญญาตรี ชั้นปีที่ 4
สาขาวิชาวิศวกรรมไฟฟ้า คณะวิศวกรรมศาสตร์
มหาวิทยาลัยราชภัฏ

E-mail: nutchanat223@gmail.com



ชื่อ นางสาวกัญญาพัชญ์ เปรีญกุล
 ภูมิลำเนา 41 หมู่ 6 ต.หนองคaway ใจ อ.หนองแขม จ.สระบุรี
 ประวัติการศึกษา

- จบระดับมัธยมศึกษาจากโรงเรียนจุฬาภรณราช
วิทยาลัย พิษณุโลก
- ปัจจุบันกำลังศึกษาในระดับปริญญาตรี ชั้นปีที่ 4
สาขาวิชาวิศวกรรมไฟฟ้า คณะวิศวกรรมศาสตร์
มหาวิทยาลัยราชภัฏ

E-mail: peeznophamaz@gmail.com